
COMPARAISON DE LA COHOMOLOGIE DES TOURS DE LUBIN-TATE ET DE DRINFELD ET CORRESPONDANCE DE JACQUET-LANGLANDS GÉOMÉTRIQUE

par

Laurent Fargues

Résumé. — Cet article est le dernier consacré à l’isomorphisme entre les tours de Lubin-Tate et de Drinfeld. Nous y démontrons l’existence d’un isomorphisme entre la cohomologie à support compact des tours de Lubin-Tate et de Drinfeld, et plus généralement de leurs complexes de cohomologie équivariants. Nous y démontrons également l’existence d’une correspondance de Jacquet-Langlands locale géométrique entre certains faisceaux étales rigides équivariants sur l’espace des périodes de Gross-Hopkins \mathbb{P}^{n-1} et sur l’espace de Drinfeld Ω .

Abstract. — This article is the last one about the isomorphism between Lubin-Tate and Drinfeld towers. We prove the existence of an isomorphism between the compactly supported cohomology of the Lubin-Tate and Drinfeld towers, and more generally their equivariant cohomology complex. We also prove the existence of a geometric local Jacquet-Langlands correspondence between some equivariant rigid étale sheaves on Gross-Hopkins period space \mathbb{P}^{n-1} and Drinfeld one Ω .

Introduction

Cet article est le dernier consacré à l’isomorphisme entre les tours de Lubin-Tate et de Drinfeld. Les principaux résultats sont :

- Soit $(X_i)_{i \in I}$ un système projectif filtrant d’espaces rigides quasicompacts. Soit $(\mathfrak{X}_i)_{i \in I}$ un modèle entier de ce système projectif formé de schémas formels admissibles au sens de Raynaud dont les morphismes de transition sont affines. Soit $\mathfrak{X}_\infty = \varprojlim_i \mathfrak{X}_i$, par exemple si $\mathfrak{X}_i = \mathrm{Spf}(R_i)$ alors $\mathfrak{X}_\infty = \mathrm{Spf}(\varinjlim_i R_i)^\wedge$. Alors le topos limite projective $\varprojlim_i (X_i)_{\text{ét}}$ ne dépend que de \mathfrak{X}_∞ et la cohomologie $\varinjlim_i H^\bullet((X_i)_{\text{ét}}, \Lambda)$ également.
- L’existence d’une correspondance “de Jacquet-Langlands locale géométrique” entre faisceaux étales D^\times -équivariants sur l’espace des périodes de Gross-Hopkins $(\mathbb{P}^{n-1})^{\text{rig}}$ pour lesquels l’action de D^\times est lisse (au sens de la théorie des représentations des groupes p -adiques : le stabilisateur d’une section est ouvert) et faisceaux $\mathrm{GL}_n(F)$ -équivariants sur l’espace de Drinfeld Ω pour lesquels l’action de $\mathrm{GL}_n(F)$ est lisse. Il s’agit du théorème 13.1.
- Le fait que les complexes de cohomologie à support compact de la tour de Lubin-Tate et de Drinfeld, vus comme éléments de la catégorie dérivée $\mathrm{GL}_n(F) \times D^\times \times W_F$ -équivariante lisse, sont isomorphes. Il s’agit du théorème 13.2

Les deux derniers résultats utilisent bien sûr le théorème principal de [11] ainsi que le premier résultat. Pour le premier résultat les points clef consistent en une utilisation du théorème d’approximation d’Elkik ([9]) et du théorème de platification de Raynaud-Gruson ([22]).

La correspondance de Jacquet-Langlands locale géométrique. — Rappelons que la tour de Lubin-Tate est une tour d’espaces analytiques rigides $(\mathcal{M}_K^{\mathcal{L}\mathcal{T}})_{K \subset \mathrm{GL}_n(\mathcal{O}_F)}$ munie d’une action “verticale” de $\mathrm{GL}_n(F)$ par correspondances de Hecke et “horizontale”, étage par étage, de D^\times . Elle forme un “pro- $\mathrm{GL}_n(\mathcal{O}_F)$ -torseur étale” au dessus de la tour sans niveau

$$\mathcal{M}_{\mathrm{GL}_n(\mathcal{O}_F)}^{\mathcal{L}\mathcal{T}} = \text{“Tour de L.T./}\mathrm{GL}_n(\mathcal{O}_F)\text{”} \simeq \coprod_{\mathbb{Z}} \mathbb{B}^{n-1}$$

une union disjointe de boules p -adiques ouvertes. De plus il y a une application des périodes de Gross-Hopkins ([15], [21], [10])

$$\mathcal{M}_{\mathrm{GL}_n(\mathcal{O}_F)}^{\mathcal{L}\mathcal{T}} \longrightarrow \mathbb{P}^{n-1}$$

surjective, D^\times -équivariante, invariante sous les correspondances de Hecke sphériques et dont les fibres sont exactement les orbites de Hecke. On a donc envie d’écrire

$$\text{Tour de L.T./}\mathrm{GL}_n(F) \simeq \mathbb{P}^{n-1}$$

ou plutôt au sens des champs [Tour de L.T./ $\mathrm{GL}_n(F)$] $\simeq \mathbb{P}^{n-1}$ i.e. les faisceaux rigides-étales Hecke-équivariants sur la tour de Lubin-Tate sont en bijection avec les faisceaux rigides-étales sur $(\mathbb{P}^{n-1})^{rig}$.

Quant à la tour de Drinfeld $(\mathcal{M}_K^{\mathcal{D}r})_{K \subset \mathcal{O}_D^\times}$ elle est munie d’une action “verticale” de D^\times et horizontale de $\mathrm{GL}_n(F)$. Elle forme un “pro- \mathcal{O}_D^\times -torseur étale” au dessus de la tour sans niveau

$$\mathcal{M}_{\mathcal{O}_D^\times}^{\mathcal{D}r} = \text{“Tour de Dr./}\mathcal{O}_D^\times\text{”} \simeq \coprod_{\mathbb{Z}} \Omega$$

où Ω désigne l’espace de Drinfeld, si $n = 2$ $\Omega(\mathbb{C}_p) = \mathbb{C}_p \setminus \mathbb{Q}_p$. Il y a de plus une application des périodes beaucoup plus simple que la précédente

$$\mathcal{M}_{\mathcal{O}_D^\times}^{\mathcal{D}r} = \coprod_{\mathbb{Z}} \Omega \longrightarrow \Omega$$

qui est $\mathrm{GL}_n(F)$ -équivariante, un isomorphisme sur chacune des composantes de l’union $\coprod_{\mathbb{Z}}$, D^\times -invariante et dont les fibres sont exactement les $D^\times/\mathcal{O}_D^\times$ -orbites. On a donc envie d’écrire

$$[\text{Tour de Dr./}D^\times] \simeq \Omega$$

c’est à dire que les faisceaux rigides-étales D^\times -équivariants sur la tour de Drinfeld sont en bijection avec les faisceaux rigides-étales sur Ω .

Rappelons maintenant ([11]) qu’on a démontré l’existence d’un “isomorphisme en niveau infini”

$$\mathcal{M}_\infty^{\mathcal{L}\mathcal{T}} \xrightarrow{\simeq} \mathcal{M}_\infty^{\mathcal{D}r}$$

$\mathrm{GL}_n(F) \times D^\times$ -équivariant. On a donc envie d’écrire qu’il y a un isomorphisme

$$[D^\times \setminus \mathbb{P}^{n-1}] \simeq [\mathrm{GL}_n(F) \times D^\times \setminus \mathcal{M}_\infty^{\mathcal{L}\mathcal{T}}] \simeq [\mathrm{GL}_n(F) \times D^\times \setminus \mathcal{M}_\infty^{\mathcal{D}r}] \simeq [\mathrm{GL}_n(F) \setminus \Omega]$$

c’est à dire une équivalence entre faisceaux D^\times -équivariants sur \mathbb{P}^{n-1} et faisceaux $\mathrm{GL}_n(F)$ -équivariants sur Ω .

Cet énoncé est en fait incorrect. Pour expliquer pourquoi prenons une analogie. Soit k un corps de clôture séparable \bar{k} et X un k -schéma de type fini. Soit $p : X_{\bar{k}} \longrightarrow X$ la projection. Le foncteur qui à un faisceau étale \mathcal{F} sur X associe le faisceau $p^* \mathcal{F}$ muni de son action de $\mathrm{Gal}(\bar{k}|k)$ compatible à celle sur $X_{\bar{k}}$ induit une équivalence entre faisceaux étale sur X et ceux sur $X_{\bar{k}}$ munis d’une action de $\mathrm{Gal}(\bar{k}|k)$ compatible à celle sur $X_{\bar{k}}$ et continue. La condition de continuité signifie que le stabilisateur d’une section du faisceau sur un ouvert quasicompact est un sous-groupe ouvert de $\mathrm{Gal}(\bar{k}|k)$. Dit en d’autres termes, il y a une condition de continuité sur la donnée de descente pour descendre des objets en niveau infini sur la tour $(X \otimes_k L)_{L|k \text{ finie}}$ à X .

Il en est de même pour les tours de Lubin-Tate et de Drinfeld. Il y a bien une équivalence entre faisceaux équivariants sur \mathbb{P}^{n-1} et Ω mais il faut ajouter une condition de continuité sur l’action :

le stabilisateur d'une section est un sous-groupe compact-ouvert.

Pour expliquer cette condition de continuité revenons à notre analogie. Si $U \rightarrow X_{\bar{k}}$ est un morphisme étale avec U quasicompact il existe une extension de degré fini $L|k$ et un ouvert étale $U' \rightarrow X_L$ tel que $U' = U \otimes_L \bar{k}$. Ainsi en restriction au sous-groupe ouvert $\text{Gal}(\bar{k}|L)$ sur $X_{\bar{k}}$ s'étend en une action sur U

$$\forall \sigma \in \text{Gal}(\bar{k}|L) \quad \begin{array}{ccc} U & \longrightarrow & U \\ \downarrow & & \downarrow \\ X_{\bar{k}} & \xrightarrow{\sigma^*} & X_{\bar{k}} \end{array}$$

et si \mathcal{F} est un faisceau étale sur $X_{\bar{k}}$ muni d'une action de $\text{Gal}(\bar{k}|k)$, $\forall \sigma \in \text{Gal}(\bar{k}|L)$ $(\sigma^* \mathcal{F})(U) \xrightarrow{\sim} \mathcal{F}(U)$ et il y a une action de $\text{Gal}(\bar{k}|L)$ sur $\mathcal{F}(U)$. La condition de lissité de l'action de $\text{Gal}(\bar{k}|L)$ est donc bien définie.

L'analogie en géométrie analytique a été étudié par Berkovich dans [5]. Expliquons le plutôt dans le contexte des espaces rigides. Soit $Y = \text{Sp}(\mathcal{B}) \rightarrow \text{Sp}(\mathcal{A})$ un morphisme étale entre espaces affinoïdes. Soit G un groupe profini agissant continûment sur X au sens où si $f \in \mathcal{A}$

$$\lim_{g \rightarrow e} \|g^* f - f\|_{\infty} = 0$$

Il existe alors un moyen de relever "canoniquement" l'action de G sur X à Y , quitte à se restreindre à un sous-groupe ouvert suffisamment petit U de G

$$\begin{array}{ccc} Y & \xrightarrow{\quad} & Y \\ \downarrow & \circlearrowleft & \downarrow \\ X & \xrightarrow{\quad} & X \end{array}$$

Ainsi si \mathcal{F} est un G -faisceau étale sur X il y a une action de U sur $\mathcal{F}(Y)$ et on peut parler de lissité de l'action de U sur $\mathcal{F}(Y)$.

Ce fait est une généralisation du lemme de Krasner. Si $\mathfrak{Y} = \text{Spf}(A) \rightarrow \text{Spf}(B) = \mathfrak{X}$ est un modèle entier du morphisme $Y \rightarrow X$, i.e. A et B sont deux algèbre topologiquement de type fini sur \mathbb{Z}_p sans p -torsion, $A[\frac{1}{p}] = \mathcal{A}$ et $B[\frac{1}{p}] = \mathcal{B}$ il existe alors un entier N tel que pour tout \mathfrak{X} -schéma formel topologiquement de type fini \mathfrak{Z} l'application de réduction

$$\text{Hom}_{\mathfrak{X}}(\mathfrak{Z}, \mathfrak{Y}) \rightarrow \text{Hom}_{\mathfrak{X} \otimes \mathbb{Z}/p^N}(\mathfrak{Z} \otimes \mathbb{Z}/p^N, \mathfrak{Y} \otimes \mathbb{Z}/p^N)$$

soit une bijection. Il s'agit essentiellement d'une application du théorème d'approximation d'Elkik ([9]). Si le morphisme entier $\mathfrak{Y} \rightarrow \mathfrak{X}$ est étale on peut bien sûr prendre $N = 1$ et en général l'entier N dépend d'une puissance suffisamment grande de p telle qu'un certain idéal discriminant divise cette puissance (entier qui existe puisque après inversion de p le morphisme est étale). En particulier deux \mathfrak{X} -morphisms proches de \mathfrak{Y} dans lui-même coïncident et tout isomorphisme défini modulo p^N peut se relever en caractéristique zéro.

Finissons par expliquer la terminologie "correspondance de Jacquet Langlands". Soit \mathcal{F} un D^\times -faisceau lisse sur \mathbb{P}^{n-1} et $\text{JL}(\mathcal{F})$ le faisceau associé sur Ω . Soit $\delta \in D^\times$ semi-simple régulier et $\gamma \in \text{GL}_n(F)$ stablement conjugué à δ . Il devrait y avoir un lien entre $\sum_{x \in \text{Fix}(\delta; \mathbb{P}^{n-1})} \text{tr}(\delta; \mathcal{F}_x)$ et

$\sum_{y \in \text{Fix}(\gamma; \Omega)} \text{tr}(\gamma; \text{JL}(\mathcal{F})_y)$. Cela n'est pas démontré dans cet article, l'auteur prévoit d'en écrire la

démonstration ainsi que d'autres propriétés de cette correspondance dans un futur article.

Cohomologie à support compact des deux tours. — On démontre l'existence d'isomorphismes

$$\lim_{K \subset \text{GL}_n(\mathcal{O}_F)} H_c^\bullet(\mathcal{M}_K^{\mathcal{L}\mathcal{T}} \hat{\otimes} \mathbb{C}_p, \mathbb{Z}/\ell^n \mathbb{Z}) \simeq \lim_{K \subset \mathcal{O}_D^\times} H_c^\bullet(\mathcal{M}_K^{\mathcal{D}r} \hat{\otimes} \mathbb{C}_p, \mathbb{Z}/\ell^n \mathbb{Z})$$

en tant que $\mathbb{Z}/\ell^n\mathbb{Z}[\mathrm{GL}_n(F) \times D^\times \times W_F]$ -modules lisses. En fait on démontre un résultat beaucoup plus précis au niveau des complexes de cohomologie à support compact dans la catégorie dérivée équivariante-lisse. Si \mathcal{F} est un D^\times -faisceau lisse sur \mathbb{P}^{n-1} on lui associe canoniquement, en tirant en arrière ce faisceau par l’application des périodes en chaque niveau de l’espace de Lubin-Tate, un complexe de cohomologie à support compact de la tour de Lubin-Tate

$$R\Gamma_c(\mathcal{L}\mathcal{T}, \mathcal{F}) \in \mathbb{D}^+(\mathbb{Z}/\ell^n\mathbb{Z}[\mathrm{GL}_n(F) \times D^\times \times W_F] - \text{Mod-lisses})$$

De même si \mathcal{G} est un $\mathrm{GL}_n(F)$ -faisceau lisse sur Ω on lui associe $R\Gamma_c(\mathcal{D}r, \mathcal{G})$. Soit alors $\mathcal{F} \mapsto \mathrm{JL}(\mathcal{F})$ la correspondance de Jacquet-Langlands décrite précédemment. Il y a alors un isomorphisme de foncteurs

$$R\Gamma_c(\mathcal{L}\mathcal{T}, -) \xrightarrow{\sim} R\Gamma_c(\mathcal{D}r, -) \circ \mathrm{JL}$$

Description des différentes parties. —

Espaces rigides généralisés. — Dans les chapitres 1 à 3 on définit et étudie les propriétés de base des espaces rigides “fibre générique” de schémas formels p -adiques qui ne sont pas nécessairement topologiquement de type fini, du type de ceux intervenant dans [10] et [11]. Le point de vue choisi est celui de Raynaud consistant à voir la catégorie des espaces rigides comme un localisé de la catégorie des schémas formels p -adiques relativement aux éclatements formels admissibles.

- Dans le premier chapitre on définit et étudie les éclatements formels admissibles de tels schémas formels. Il s’agit essentiellement de vérifier que certaines notions intervenant dans [6] restent valables dans un contexte plus général. Une des difficultés de la théorie est que contrairement au cas classique de [6] les théorèmes de cohérence des algèbres p -adiques topologiquement de type fini sans p -torsion ne sont plus valables.

On retiendra une des propriétés importantes de ces éclatements formels admissibles généralisés n’ayant pas d’équivalent dans le cadre “classique” : la proposition 1.35 assurant la compatibilité de ces éclatements au passage à la limite projective de schémas formels.

- Dans le deuxième chapitre on définit et étudie le topos admissible de tels schémas formels. On utilise pour cela le langage des limites inductives de sites et des limites projectives de topos de [13]. Le topos admissible est vu comme la limite projective des topos Zariski des éclatements de notre modèle formel.

L’une des propriétés fondamentales est le théorème de “décompletion”, la proposition 2.23 qui dit qu’un ouvert admissible d’une limite projective de schémas formels $\varprojlim_i \mathfrak{X}_i$ est un

germe d’ouvert admissible sur les \mathfrak{X}_i , et la proposition 2.27 son interprétation en termes de topos.

Plus tard on appliquera le même type de procédures pour le site étale rigide au lieu du site admissible. Le lecteur peut donc considérer ce chapitre comme un entraînement à la manipulation des topos limites projectives dans un cas “simple”.

- Dans le chapitre 3 on définit et étudie l’espace de Zariski-Riemann associé à nos espaces rigides généralisés. Pour les espaces rigides classiques cet espace coïncide avec l’espace topologique adique défini par Huber ([17]) et également étudié par Fujiwara ([12]). On montre en particulier que le topos admissible s’identifie au topos des faisceaux sur cet espace topologique. On interprète également cet espace comme un recollé de spectres valuatifs.

On utilisera plus tard l’espace de Zariski-Riemann dans le but de définir la notion de famille couvrante dans notre site étale rigide.

On définit également l’espace de Berkovich associé aux généralisations maximales dans l’espace de Zariski-Riemann (les valuations de rang 1 i.e. à valeurs dans \mathbb{R}). Cela nous permettra de définir la notion de topos surconvergent correspondant dans le cas classique au topos étale de Berkovich.

Le topos étale rigide. — Dans les chapitres 4,5 et 6 on définit et étudie le topos étale rigide de nos schémas formels. Il s’agit du coeur de l’article.

Expliquons d’abord les difficultés rencontrées.

- Soit A une algèbre p -adique sans p -torsion. Si B est une A -algèbre p -adique topologiquement de présentation finie et si $B \simeq A \langle T_1, \dots, T_N \rangle / (f_1, \dots, f_q)$ est une présentation on peut définir comme dans le chapitre 4 de [9] en utilisant un idéal jacobien explicite la notion d'être rig-étale après inversion de p : une certaine puissance de p appartient à cet idéal jacobien. Néanmoins il n'y a pas de raison en général pour que cette définition ne dépende pas du choix d'une telle présentation comme c'est le cas si A est topologiquement de type fini sur un anneau de valuation de hauteur 1 (le cas rigide classique).
- On veut de plus appliquer le théorème 6 de [9] à nos algèbres rig-étales. Or, même après avoir fixé une présentation comme précédemment la démonstration donnée dans [9] ne s'adapte pas sans des théorèmes de cohérence. Essentiellement le résultat qui pose problème est que si R est une algèbre p -adique et $I = \{x \in R \mid \exists k p^k x = 0\}$ alors en général I n'est pas un idéal fermé de R , et si l'on veut tuer la p -torsion dans R il ne faut pas prendre R/I mais R/\bar{I} , le séparé de R/I . En général on n'a aucun contrôle sur \bar{I} . Bien sûr si R est topologiquement de type fini sur un anneau de valuation de hauteur 1 d'après [6] on a $\bar{I} = I$, mais dans notre situation il n'y a pas de raison pour que ce soit le cas.
- Soit $(R_i)_{i \in \mathbb{N}}$ un système inductif d'algèbres p -adiques topologiquement de type fini sur \mathbb{Z}_p , $R_\infty = \varinjlim_i R_i$. On peut même supposer que $R_i \hookrightarrow R_{i+1}$, $R_{i+1}|R_i$ est fini, R_i est intégralement fermé dans $R_i[\frac{1}{p}]$, $R_i[\frac{1}{p}] \hookrightarrow R_{i+1}[\frac{1}{p}]$ est étale fini et que le système inductif $(R_i[\frac{1}{p}])_{i \in \mathbb{N}}$ est un toiseur étale sous un groupe profini et les $R_i[\frac{1}{p}]$ sont rig-lisses sur \mathbb{Z}_p (exemple : prendre l'image réciproque d'un ouvert affine dans les tours de Lubin-Tate et de Drinfeld).

On veut qu'il y ait une équivalence entre \widehat{R}_∞ -algèbres p -adiques rig-étales et "germes" d'algèbres p -adiques rig-étales sur les $(R_i)_i$, via l'application

$$(R_i \longrightarrow B) \longmapsto (\widehat{R}_\infty \longrightarrow B \widehat{\otimes}_{R_i} \widehat{R}_\infty)$$

Il devrait s'agir typiquement d'une application du théorème d'approximation d'Elkik à l'anneau Hensélien (R_∞, pR_∞) . Néanmoins il n'y a pas de raison dans le cas des tours de Lubin-Tate et de Drinfeld, pour les modèles construits dans [10] et [11] par normalisation, pour que les morphismes $R_i \longrightarrow R_{i+1}$ soient plats. Il n'y a pas non plus de raison pour que le système inductif $(R_i)_{i \in \mathbb{N}}$ satisfasse à une hypothèse de presque platitude au sens de Faltings, c'est à dire si $i_0 \in \mathbb{N}$, $I \subset R_{i_0}$ est un idéal de type fini alors

$$\exists \alpha \in \mathbb{N} \forall i \geq i_0 \quad p^\alpha \cdot \text{Tor}_1^{R_{i_0}}(R_i, R_{i_0}/I) = 0$$

Par exemple on aurait bien aimé que le morphisme $R_\infty \longrightarrow \widehat{R}_\infty$ soit fidèlement plat, mais il n'y a pas de raison non plus pour que ce soit le cas.

Le problème que cela soulève est que si B est une R_i -algèbre rig-étale sans p -torsion alors la p^∞ -torsion des algèbres $(B \widehat{\otimes}_{R_i} R_j)_{j \geq i}$ peut "exploser" lorsque $j \longrightarrow +\infty$.

Voici comment on procède pour palier à ces problèmes.

- Dans le chapitre 4 on montre que si A est une algèbre p -adique sans p -torsion et que l'on se restreint aux A -algèbres p -adiques finies localement libres étales après inversion de p on a une bonne théorie pour de telles algèbres rig-étales. Ainsi si \mathfrak{X} est un schéma formel p -adiques sans p -torsion quelconque on a une bonne notion de \mathfrak{X} -schéma formel fini localement libre rig-étale.

On montre de plus que le théorème d'approximation d'Elkik s'applique à ces morphismes rig-étales : si $(\mathfrak{X}_i)_{i \in \mathbb{N}}$ est un système projectif de schémas formels p -adiques sans p -torsion à morphismes de transition affines, $\mathfrak{X}_\infty = \varprojlim_{i \in \mathbb{N}} \mathfrak{X}_i$, les \mathfrak{X}_∞ -schémas formels finis localement

libres rig-étales sont équivalents aux "germes" de \mathfrak{X}_i -schémas formels finis localement libres rig-étales lorsque i varie via

$$(\mathfrak{Y} \longrightarrow \mathfrak{X}_i) \longmapsto (\mathfrak{Y} \times_{\mathfrak{X}_i} \mathfrak{X}_\infty \longrightarrow \mathfrak{X}_\infty)$$

- Dans le chapitre 5 on définit et étudie la classe générale de morphismes rig-étales utilisée pour définir le topos étale rigide. On les appelle morphismes de type (\mathcal{E}) . Ils sont construits à partir d'éclatements formels admissibles, de morphismes étales de schémas formels et de morphismes finis localement libres rig-étales (ceux étudiés dans le chapitre 4). On montre qu'ils vérifient le théorème d'approximation comme précédemment : les \mathfrak{X}_∞ -schémas formels de type (\mathcal{E}) sont équivalents aux germes de \mathfrak{X}_i -schémas formels de type (\mathcal{E}) lorsque i varie.

Le point clef justifiant leur introduction est que d'après le théorème de platification de Raynaud-Gruson si $\mathfrak{Y} \rightarrow \mathfrak{X}$ est un morphisme de schémas formels admissibles quasicompacts tel que $\mathfrak{Y}^{rig} \rightarrow \mathfrak{X}^{rig}$ soit étale il existe alors un diagramme

$$\begin{array}{ccc} \mathfrak{Z} & \longrightarrow & \mathfrak{Y} \\ & \searrow & \swarrow \\ & \mathfrak{X} & \end{array}$$

où $\mathfrak{Z} \rightarrow \mathfrak{X}$ est de type (\mathcal{E}) et $|\mathfrak{Z}^{rig}| \rightarrow |\mathfrak{Y}^{rig}|$ est surjectif et que donc les \mathfrak{X} -schémas formels de type (\mathcal{E}) engendrent topologiquement le site étale de \mathfrak{X}^{rig} .

- Dans le chapitre 6 on définit et étudie un site ainsi que le topos étale rigide des schémas formels ne vérifiant pas d'hypothèse de finitude. Pour cela on utilise les morphismes de type (\mathcal{E}) du chapitre 5.

On a vu que dans le cas classique ces morphismes engendrent topologiquement le site étale rigide usuel. D'après le théorème 4.1 de l'exposé III de SGA4 (cf. théorème 6.1 de cet article) ils suffisent pour reconstruire le topos étale d'un espace rigide classique. La contrepartie est qu'ils ne forment pas une prétopologie de Grothendieck à cause de l'absence de certains produits fibrés dans cette catégorie.

On utilise alors toute la puissance du formalisme de Grothendieck qui permet de définir une topologie en toutes généralités sans cette hypothèse d'existence de produits fibrés. L'analogie suivante éclairera peut-être le lecteur : on est dans la situation où l'on a un espace topologique X muni d'une famille d'ouverts \mathcal{C} telle que tout ouvert de X puisse s'écrire comme une union d'ouverts de \mathcal{C} , mais si $U, V \in \mathcal{C}$ $U \cap V$ n'appartient pas nécessairement à \mathcal{C} . Néanmoins, grâce au formalisme des cribles, \mathcal{C} est muni d'une topologie de Grothendieck qui n'est pas définie par une prétopologie mais qui permet tout de même de retrouver le topos X^\sim comme équivalent à \mathcal{C}^\sim ; un faisceau sur X est la même chose qu'un foncteur, i.e. un préfaisceau, \mathcal{F} défini sur \mathcal{C} vérifiant $\forall U \in \mathcal{C} \forall (V_i)_{i \in I}$ un recouvrement de U par des objets de \mathcal{C}

$$\mathcal{F}(U) = \ker \left(\prod_{i \in I} \mathcal{F}(V_i) \rightrightarrows \prod_{i, j} \text{Hom}_{\text{préfaisceaux}}(h_{V_i} \times_{h_U} h_{V_j}, \mathcal{F}) \right)$$

où h_V désigne le préfaisceau représenté par V et la même formule permet d'étendre \mathcal{F} à tout ouvert de X qui n'est pas dans \mathcal{C} .

Le théorème principal s'énonce alors en disant que le topos rig-étale d'une limite projective de schémas formels p -adiques est la limite projective des topos rig-étales de chaque schéma formel de la limite projective. Il s'agit d'une application des résultats d'approximation des chapitres précédents.

Faisceaux étales munis d'une action lisse d'un groupe p -adique. — Dans les chapitres 8 à 10 on s'intéresse à la cohomologie à support compact équivariante des espaces analytiques de Berkovich ainsi que des espaces rigides généralisés introduits dans les sections précédentes.

On s'inspire des travaux de Berkovich ([5] et [2]) sur le sujet. Étant donné un groupe topologique G agissant continûment sur un espace analytique de Berkovich X , resp. un espace rigide généralisé, étant donné un faisceau étale \mathcal{F} muni d'une action lisse de G compatible à celle sur X on montre que l'action de G sur $H_c^\bullet(X, \mathcal{F})$ est lisse. En fait le but plus général est d'associer fonctoriellement à \mathcal{F} un complexe de cohomologie $R\Gamma_c(X, \mathcal{F}) \in \mathbb{D}^+(\Lambda[G] - \text{Mod-lisses})$.

- Pour cela on développe dans le chapitre 8 un formalisme général des G -faisceaux lisses qui peut s'appliquer aussi bien aux espaces de Berkovich qu'aux espaces rigides généralisés. Le résultat principal est le théorème 8.16 qui dit en particulier qu'on peut résoudre un G -faisceau lisse par des G -faisceaux lisses flasques après oubli de l'action de G .

- Le chapitre 9 contient l'application de ce formalisme aux espaces analytiques de Berkovich. Le site étale d'un espace de Berkovich n'est pas adapté au formalisme des faisceaux lisses, de plus plus tard dans l'article nous devons jongler entre site étale d'un espace de Berkovich et site étale de l'espace rigide associé, c'est pourquoi nous travaillons avec les sites quasi-étales définis dans [5] (le site quasi-étale correspond au site étale de l'espace rigide et le site étale au site étale surconvergent). Par contre la cohomologie à support compact des espaces de Berkovich sans bord (i.e. surconvergens sur leur corps de base) est plutôt bien adaptée au site étale. D'où les jonglages permanents entre sites étales et quasi-étales.
- Le chapitre 10 est consacré à l'analogie pour les espaces rigides généralisés.

Les résultats principaux. — Les chapitres 11 et 12 sont consacrés à la démonstration des principaux résultats de l'article. On y récolte les résultats des chapitres précédents pour les appliquer aux tours de Lubin-Tate et de Drinfeld.

Remerciements : L'auteur tient à remercier Jean François Dat dont les travaux et les diverses discussions que l'auteur a eues avec lui ont influencé la forme de cet article, notamment le chapitre 11. Il remercie également Ofer Gabber pour des discussions sur le sujet. Il apparaîtra comme clair au lecteur que les travaux de Raynaud en géométrie rigide ont eu une forte influence sur l'auteur ainsi que l'article [12] de Fujiwara dont l'auteur s'est largement inspiré.

1. Schémas formels π -adiques

On fixe \mathcal{O}_K un anneau de valuation de hauteur 1 et π un élément de \mathcal{O}_K de valuation strictement positive. On vérifiera facilement que les définitions données ne dépendent pas du choix d'un tel π . Tous les schémas formels considérés seront supposés quasi-séparés.

1.1. Rappels sur les schémas formels π -adiques. —

Définition 1.1. — On appelle schéma formel π -adique (sous-entendu sur $\mathrm{Spf}(\mathcal{O}_K)$) un schéma formel \mathfrak{Z} sur $\mathrm{Spf}(\mathcal{O}_K)$ tel que $\pi\mathcal{O}_{\mathfrak{Z}}$ soit un idéal de définition de \mathfrak{Z} .

Soit la catégorie dont les objets sont $(\mathrm{Spec}(\mathcal{O}_K/\pi^k\mathcal{O}_K))_{k \geq 1}$ et les flèches sont les morphismes de réduction modulo des puissances de π , $\mathrm{Spec}(\mathcal{O}_K/\pi^k\mathcal{O}_K) \hookrightarrow \mathrm{Spec}(\mathcal{O}_K/\pi^l\mathcal{O}_K)$ pour $k \leq l$:

$$\mathrm{Spec}(\mathcal{O}_K/\pi\mathcal{O}_K) \rightarrow \dots \rightarrow \mathrm{Spec}(\mathcal{O}_K/\pi^k\mathcal{O}_K) \rightarrow \mathrm{Spec}(\mathcal{O}_K/\pi^{k+1}\mathcal{O}_K) \rightarrow \dots$$

On définit une catégorie fibrée au dessus de cette petite catégorie en posant que la fibre sur $\mathrm{Spec}(\mathcal{O}_K/\pi^k\mathcal{O}_K)$ est la catégorie des schémas sur $\mathrm{Spec}(\mathcal{O}_K/\pi^k\mathcal{O}_K)$. La catégorie des schémas formels π -adiques est alors équivalente à la limite projective de cette catégorie fibrée (cf. [1] exposé 6 section 6.10 page 273 pour la notion de limite projective de catégories fibrées).

Cela signifie que se donner un schéma formel π -adique est équivalent à se donner une famille $(Z_k)_{k \geq 1}$ où Z_k est un $\mathrm{Spec}(\mathcal{O}_K/\pi^k\mathcal{O}_K)$ -schéma munie d'isomorphismes $Z_{k+1} \otimes_{\mathcal{O}_K/\pi^k\mathcal{O}_K} \mathcal{O}_K/\pi^k\mathcal{O}_K \xrightarrow{\sim} Z_k$ satisfaisant une condition de cocycle évidente (un schéma formel π -adique n'est rien d'autre qu'un cas particulier d'ind-schéma). Le schéma formel associé à une telle famille $(Z_k)_k$ sera noté $\varinjlim_k Z_k$.

Définition 1.2. — On dit que \mathfrak{Z} est sans π -torsion si le faisceau $\mathcal{O}_{\mathfrak{Z}}$ l'est c'est à dire $\mathcal{O}_{\mathfrak{Z}} \xrightarrow{\times\pi} \mathcal{O}_{\mathfrak{Z}}$ est un monomorphisme.

Ainsi \mathfrak{Z} est sans π -torsion ssi $\forall k \in \mathbb{N}$ le schéma $\mathfrak{Z} \otimes_{\mathcal{O}_K/\pi^k\mathcal{O}_K} \mathcal{O}_K/\pi^k\mathcal{O}_K$ est plat sur $\mathrm{Spec}(\mathcal{O}_K/\pi^k\mathcal{O}_K)$. On en déduit aussitôt que le schéma formel π -adique \mathfrak{Z} est sans π -torsion ssi il possède un recouvrement affine $(\mathrm{Spf}(R_i))_{i \in I}$ tel que $\forall i$ R_i soit sans π -torsion. De plus on en déduit que si X est un schéma plat sur $\mathrm{Spec}(\mathcal{O}_K)$ alors son complété π -adique est sans π -torsion.

Définition 1.3. — Une algèbre π -adique est une \mathcal{O}_K -algèbre séparée complète pour la topologie π -adique.

Ainsi la catégorie des algèbre π -adiques est équivalente à celle des schémas formels π -adiques affines.

1.2. Morphismes topologiquement de type fini. —

Définition 1.4. — Un morphisme de schémas formels π adiques $f : \mathfrak{Y} \rightarrow \mathfrak{X}$ est dit localement topologiquement de type fini si le morphisme induit $\mathfrak{X} \otimes \mathcal{O}_K / \pi \mathcal{O}_K \rightarrow \mathfrak{Y} \otimes \mathcal{O}_K / \pi \mathcal{O}_K$ est localement de type fini. Il est dit topologiquement de type fini s'il est de plus quasicompact.

Lemme 1.5. — Soit $f : \mathfrak{Y} \rightarrow \mathfrak{X}$. Sont équivalents

- f est localement topologiquement de type fini
- Pour tous ouverts affines $\mathrm{Spf}(B) \subset \mathfrak{Y}$, $\mathrm{Spf}(A) \subset \mathfrak{X}$, tels que $f(\mathrm{Spf}(B)) \subset \mathrm{Spf}(A)$ le morphisme induit $A \rightarrow B$ fait de B une A -algèbre topologiquement de type fini c'est à dire isomorphe en tant que A -algèbre topologique à $A \langle T_1, \dots, T_n \rangle / I$ où $A \langle T_1, \dots, T_n \rangle$ désigne l'anneau des séries formelles strictes, le complété π -adique de $A[T_1, \dots, T_n]$, et I est un idéal fermé de $A \langle T_1, \dots, T_n \rangle$.

Les schémas formels π -adiques localement topologiquement de type fini sur $\mathrm{Spf}(\mathcal{O}_K)$ sont étudiés en détails dans [6] auquel on renvoie le lecteur.

Définition 1.6 ([6]). — Les schémas formels π -adiques localement topologiquement de type fini sur $\mathrm{Spf}(\mathcal{O}_K)$ sans π -torsion sont appelés schémas formels admissibles.

1.3. Morphismes topologiquement de présentation finie. —

La notion qui suit n'a d'intérêt que pour les schémas formels sans π -torsion.

Définition 1.7. — Soit $f : \mathfrak{X} \rightarrow \mathfrak{Y}$ un morphisme entre schémas formels π -adiques sans π -torsion. Il sera dit localement topologiquement de présentation finie si le morphisme de schémas induit $\mathfrak{X} \otimes \mathcal{O}_K / \pi \mathcal{O}_K \rightarrow \mathfrak{Y} \otimes \mathcal{O}_K / \pi \mathcal{O}_K$ est localement de présentation finie. Il sera dit topologiquement de présentation finie s'il est de plus quasicompact.

Lemme 1.8. — Soit $f : \mathfrak{X} \rightarrow \mathfrak{Y}$ un morphisme entre schémas formels π -adiques sans π -torsion. Sont équivalents

- f est localement topologiquement de présentation finie
- Pour tout ouvert affine $\mathrm{Spf}(B) \subset \mathfrak{Y}$, $\mathrm{Spf}(A) \subset \mathfrak{X}$, tels que $f(\mathrm{Spf}(B)) \subset \mathrm{Spf}(A)$ le morphisme induit $A \rightarrow B$ fait de B une A -algèbre topologiquement de présentation finie c'est à dire isomorphe en tant que A -algèbre topologique à $A \langle T_1, \dots, T_n \rangle / I$ où I est un idéal (saturé) de type fini de $A \langle T_1, \dots, T_n \rangle$
- Pour tout $k \geq 1$ le morphisme $\mathfrak{X} \otimes \mathcal{O}_K / \pi^k \mathcal{O}_K \rightarrow \mathfrak{Y} \otimes \mathcal{O}_K / \pi^k \mathcal{O}_K$ est de présentation finie

Par exemple, si $f : X \rightarrow Y$ est un morphisme de présentation finie entre schémas plats sur $\mathrm{Spec}(\mathcal{O}_K)$ le morphisme induit entre les complétés π -adiques est topologiquement de présentation finie.

D'après les résultats de [6] un morphisme localement topologiquement de type fini entre schémas formels admissibles est automatiquement localement de présentation finie. Cette assertion est en générale fausse pour les schémas formels plus généraux que nous considérons.

1.4. Morphismes affines. —

Définition 1.9. — Un morphisme de schémas formels π -adiques $\mathfrak{X} \rightarrow \mathfrak{Y}$ est dit affine si le morphisme de schémas induit $\mathfrak{X} \otimes \mathcal{O}_K / \pi \mathcal{O}_K \rightarrow \mathfrak{Y} \otimes \mathcal{O}_K / \pi \mathcal{O}_K$ l'est ou encore de façon équivalente si $\forall k$ le morphisme de schémas induit $\mathfrak{X} \otimes \mathcal{O}_K / \pi^k \mathcal{O}_K \rightarrow \mathfrak{Y} \otimes \mathcal{O}_K / \pi^k \mathcal{O}_K$ l'est.

Ainsi si \mathfrak{X} est un schéma formel π -adique la catégorie des \mathfrak{X} -schémas formels π -adiques affines est équivalente à la catégories des faisceaux de $\mathcal{O}_{\mathfrak{X}}$ -algèbres \mathcal{A} tels que l'application canonique $\mathcal{A} \rightarrow \varprojlim_k \mathcal{A} / \pi^k \mathcal{A}$ est un isomorphisme et $\forall k$ $\mathcal{A} / \pi^k \mathcal{A}$ est une $\mathcal{O}_{\mathfrak{X} \otimes \mathcal{O}_K / \pi^k \mathcal{O}_K}$ -algèbre quasi-cohérente. À

$f : \mathfrak{Z} \rightarrow \mathfrak{X}$ affine on associe la $\mathcal{O}_{\mathfrak{X}}$ -algèbre $f_*\mathcal{O}_{\mathfrak{Z}}$ et dans l'autre sens à \mathcal{A} on associe le \mathfrak{X} -schéma formel $\varinjlim_k \text{Spec}(\mathcal{A}/\pi^k\mathcal{A})$.

La catégorie des \mathfrak{X} -schémas formels π -adiques sans π -torsion est donnée par les $\mathcal{O}_{\mathfrak{X}}$ -algèbres \mathcal{A} sans π -torsion telles que $\mathcal{A} \xrightarrow{\sim} \varprojlim_k \mathcal{A}/\pi^k\mathcal{A}$ et $\mathcal{A}/\pi\mathcal{A}$ soit quasi-cohérente.

1.5. Morphismes finis. —

Définition 1.10. — Un morphisme $f : \mathfrak{X} \rightarrow \mathfrak{Y}$ entre schémas formels π -adiques est fini si le morphisme induit $\mathfrak{X} \otimes \mathcal{O}_K/\pi\mathcal{O}_K \rightarrow \mathfrak{Y} \otimes \mathcal{O}_K/\pi\mathcal{O}_K$ l'est.

Le lemme qui suit n'est qu'une retranscription du lemme de Nakayama.

Lemme 1.11. — *Sont équivalents pour $f : \mathfrak{X} \rightarrow \mathfrak{Y}$*

- f est fini
- Pour tout $k \geq 1$ le morphisme $\mathfrak{X} \otimes \mathcal{O}_K/\pi^k\mathcal{O}_K \rightarrow \mathfrak{Y} \otimes \mathcal{O}_K/\pi^k\mathcal{O}_K$ est fini
- f est affine et pour tout ouvert affine $\text{Spf}(A) \subset \mathfrak{Y}$ si $f^{-1}(\text{Spf}(A)) = \text{Spf}(B)$ alors A est un B -module de type fini

Remarque 1.12. — Si A est une \mathcal{O}_K -algèbre π -adique et B une A -algèbre finie alors B est complète pour la topologie π -adique. Mais on prendra garde à ce que B n'est pas nécessairement séparée et n'est donc pas forcément une algèbre π -adique !

1.6. Morphismes topologiquement plats. —

Définition 1.13. — Un morphisme $f : \mathfrak{X} \rightarrow \mathfrak{Y}$ entre schémas formels π -adiques sera dit topologiquement plat si $\forall k \geq 1$ le morphisme de schémas induit $\mathfrak{X} \otimes \mathcal{O}_K/\pi^k\mathcal{O}_K \rightarrow \mathfrak{Y} \otimes \mathcal{O}_K/\pi^k\mathcal{O}_K$ l'est.

Par exemple \mathfrak{X} π -adique est topologiquement plat sur $\text{Spf}(\mathcal{O}_K)$ ssi il est sans π -torsion.

Remarque 1.14. — On prendra garde qu'en général si $\text{Spf}(B) \rightarrow \text{Spf}(A)$ est topologiquement plat alors B n'est pas nécessairement une A -algèbre plate. Par exemple il n'y a pas de raison pour que si A est une algèbre π -adique et $f \in A$ le morphisme $A \rightarrow A \langle \frac{1}{f} \rangle$ soit plat. Néanmoins, d'après [6], tout cela est vrai pour des schémas formels admissibles.

Lemme 1.15. — *Un morphisme $f : \mathfrak{X} \rightarrow \mathfrak{Y}$ entre schémas formels π -adiques sans π -torsion est topologiquement plat ssi le morphisme induit $\mathfrak{X} \otimes \mathcal{O}_K/\pi\mathcal{O}_K \rightarrow \mathfrak{Y} \otimes \mathcal{O}_K/\pi\mathcal{O}_K$ est plat.*

Démonstration. C'est une conséquence du lemme 11.3.10.2 de EGA IV. □

1.7. Limite projective dans la catégorie des schémas formels π -adiques. —

Proposition 1.16. — *Soit (I, \leq) un ensemble ordonné co-filtrant et $((\mathfrak{Z}_i)_{i \in I}, (\varphi_{ij})_{i \geq j})$ un système projectif de schémas formels π -adiques tel que les morphismes de transition $\varphi_{ij} : \mathfrak{Z}_i \rightarrow \mathfrak{Z}_j$ soient affines. Alors $\varprojlim_{i \in I} \mathfrak{Z}_i$ existe dans la catégorie des $\text{spf}(\mathcal{O}_K)$ -schémas formels et c'est un schéma formel π -adiques égal à*

$$\varinjlim_{k \in \mathbb{N}} \varprojlim_{i \in I} (\mathfrak{Z}_i \otimes \mathcal{O}_K/\pi^k\mathcal{O}_K)$$

Démonstration. La démonstration ne pose pas de problème. On renvoie au chapitre 8 de EGA IV pour les limites projectives de schémas à morphismes de transition affines. □

Exemple 1.17. — Si $\mathfrak{Z}_i = \mathrm{Spf}(R_i)$ alors $\lim_{\leftarrow i} \mathrm{Spf}(R_i) = \mathrm{Spf}(\widehat{R}_\infty)$ où $R_\infty = \varinjlim_i R_i$. Par exemple si on considère la limite projective de revêtements de Kummer $\mathbb{D} \leftarrow \cdots \leftarrow \mathbb{D} \leftarrow \cdots$ où $\mathbb{D} = \mathrm{Spf}(\mathcal{O}_K \langle T, T^{-1} \rangle)$ et les morphismes de transition sont tous $t \mapsto t^p$ alors

$$\widehat{R}_\infty = \left\{ \sum_{\alpha \in \mathbb{Z}[\frac{1}{p}]} a_\alpha T^\alpha \mid a_\alpha \in \mathcal{O}_K \begin{array}{l} a_\alpha \xrightarrow{|\alpha| \rightarrow +\infty} 0 \\ a_\alpha \xrightarrow{v_p(\alpha) \rightarrow -\infty} 0 \end{array} \right\}$$

où $a_\alpha \rightarrow 0$ signifie tendre vers 0 pour la topologie π -adique.

1.8. Adhérence “schématique” de la fibre générique. — Soit \mathfrak{Z} un schéma formel π -adique. Notons pour tout $k \geq 1$

$$\mathcal{I}_k = \varinjlim_{i \geq 1} \ker \left(\mathcal{O}_{\mathfrak{Z}}/\pi^k \mathcal{O}_{\mathfrak{Z}} \xrightarrow{\times \pi^i} \mathcal{O}_{\mathfrak{Z}}/\pi^{k+i} \mathcal{O}_{\mathfrak{Z}} \right) \subset \mathcal{O}_{\mathfrak{Z}}/\pi^k \mathcal{O}_{\mathfrak{Z}}$$

un faisceau d'idéaux quasicohérent sur $\mathfrak{Z} \otimes \mathcal{O}_K/\pi^k$. Si $\mathrm{Spf}(R) \subset \mathfrak{Z}$ est un ouvert affine et $I = \{x \in R \mid \exists i \geq 1 \pi^i x = 0\}$ alors

$$\mathcal{I}_k = (I + \pi^k R/\pi^k R)^\sim$$

où le tilda signifie “le faisceau quasicohérent associé”. Notons alors

$$Z_k = V(\mathcal{I}_k) \subset \mathfrak{Z} \otimes \mathcal{O}_K/\pi^k \mathcal{O}_K$$

On a donc

$$Z_{k+1} \otimes \mathcal{O}_K/\pi^k \mathcal{O}_K = Z_k$$

Notons alors

$$\mathfrak{Z}' = \varinjlim_k Z_k$$

un schéma formel π -adique. Si $\mathrm{Spf}(R)$ est un ouvert affine de \mathfrak{Z} et I est l'idéal des éléments de π^∞ -torsion comme précédemment alors l'ouvert correspondant de \mathfrak{Z}' est $\mathrm{Spf}(R/\overline{I})$ où \overline{I} désigne l'adhérence de I pour la topologie π -adique.

Lemme 1.18. — *Le schéma formel π -adique \mathfrak{Z}' est sans π -torsion. De plus l'immersion fermée $\mathfrak{Z}' \hookrightarrow \mathfrak{Z}$ est telle que pour tout schéma formel π -adique sans π -torsion \mathfrak{Y} tout morphisme $\mathfrak{Y} \rightarrow \mathfrak{Z}$ se factorise de façon unique via $\mathfrak{Z}' \hookrightarrow \mathfrak{Z}$.*

Démonstration. Elle ne pose pas de problème particulier. \square

Définition 1.19. — Par abus de terminologie on appellera \mathfrak{Z}' l'adhérence schématique de la fibre générique de \mathfrak{Z} . On notera $\mathfrak{Z}^{adh} = \mathfrak{Z}'$.

Le foncteur adhérence de la fibre générique définit donc un adjoint à droite à l'inclusion de la catégorie des schémas formels π -adiques sans π -torsion dans celle des schémas formels π -adiques. En particulier les produits fibrés existent dans la catégorie des schémas formels π -adiques sans π -torsion ; il suffit de prendre l'adhérence schématique de la fibre générique du produit fibré usuel en tant que schémas formels.

Remarque 1.20. — Lorsque \mathfrak{X} est admissible d'après les résultats de [6] (tout idéal saturé dans une \mathcal{O}_K -algèbre topologiquement de type fini est de type fini donc fermé) \mathfrak{X}^{adh} s'obtient en tuant la π^∞ -torsion dans $\mathcal{O}_{\mathfrak{X}}$. Cela est faux en général, il faut quotienter par l'adhérence π -adique de la π^∞ -torsion.

Remarque 1.21. — — Le schéma formel \mathfrak{Z}^{adh} est quasiséparé car $\mathfrak{Z}^{adh} \otimes \mathcal{O}_K/\pi \mathcal{O}_K$ est un sous-schéma fermé de $\mathfrak{Z} \otimes \mathcal{O}_K/\pi \mathcal{O}_K$.

– Si $\mathcal{U} \subset \mathfrak{Z}$ est un ouvert alors $\mathcal{U}^{adh} = \mathcal{U} \times_{\mathfrak{Z}} \mathfrak{Z}^{adh}$

– Si $\mathfrak{Y} \rightarrow \mathfrak{X}$ est un morphisme de schémas formels π -adiques alors $\mathfrak{Y}^{adh} = (\mathfrak{Y} \times_{\mathfrak{X}} \mathfrak{X}^{adh})^{adh}$

Plus généralement que le second point de la remarque précédente on a le lemme qui suit dont la démonstration est immédiate.

Lemme 1.22. — Soit $\mathfrak{Y} \rightarrow \mathfrak{X}$ un morphisme topologiquement plat entre schémas formels π -adiques. Alors

$$\mathfrak{Y}^{adh} = \mathfrak{Y} \times_{\mathfrak{X}} \mathfrak{X}^{adh}$$

1.9. Éclatements formels admissibles. —

1.9.1. *Définition et premières propriétés.* —

Définition 1.23. — Soit \mathfrak{Z} un schéma formel π -adique sans π -torsion et $\mathcal{I} \subset \mathcal{O}_{\mathfrak{Z}}$ un idéal tel que localement sur \mathfrak{Z} $\exists N \in \mathbb{N}$ $\pi^N \mathcal{O}_{\mathfrak{Z}} \subset \mathcal{I}$ et $\mathcal{I}/\pi^N \mathcal{O}_{\mathfrak{Z}}$ est quasi-cohérent de type fini. Un tel idéal est dit admissible. On appelle éclatement formel admissible de \mathcal{I} le \mathfrak{Z} -schéma formel π -adique topologiquement de type fini

$$\tilde{\mathfrak{Z}} = \lim_{\rightarrow k} \text{Proj} \left(\bigoplus_{i \geq 0} \mathcal{I}^i / \pi^k \mathcal{I}^i \right)$$

Proposition 1.24. — Avec les notations de la définition précédente

- si $\text{Spf}(R) \subset \mathfrak{Z}$ est un ouvert affine et $I = \Gamma(\text{Spf}(R), \mathcal{I})$ alors $\tilde{\mathfrak{Z}}|_{\text{Spf}(R)}$ s'identifie au complété π -adique de l'éclatement de l'idéal \tilde{I} de $\text{Spec}(R)$
- $\tilde{\mathfrak{Z}}$ est sans π -torsion
- si $\varphi : \tilde{\mathfrak{Z}} \rightarrow \mathfrak{Z}$ alors $\mathcal{O}_{\tilde{\mathfrak{Z}}}. \varphi^{-1} \mathcal{I}$ est localement libre de rang un
- $\tilde{\mathfrak{Z}}$ satisfait à la propriété universelle suivante : pour tout \mathfrak{Z} -schéma formel π -adique sans π -torsion $\mathfrak{Y} \xrightarrow{\psi} \mathfrak{Z}$ tel que $\mathcal{O}_{\mathfrak{Y}}. \psi^{-1} \mathcal{I}$ soit localement libre de rang un il existe un unique \mathfrak{Z} -morphisme $\mathfrak{Y} \rightarrow \tilde{\mathfrak{Z}}$

Démonstration. La première assertion découle de la définition de l'éclatement formel admissible et du fait que les “Proj” commutent aux changements de bases (EGA II 2.8.10).

La seconde résulte de la première car $\text{Spec}(R)$ étant sans π -torsion l'éclatement de l'idéal \tilde{I} l'est aussi (l'image réciproque d'un ouvert schématiquement dense par un éclatement reste schématiquement dense) et donc son complété π -adique est encore sans π -torsion.

La troisième résulte également de la première. En effet, sur l'éclaté de \tilde{I} dans le schéma $\text{Spec}(R)$ l'idéal \tilde{I} devient localement libre de rang un. Il est donc localement principal sur le complété π -adique de ce schéma. Donc \mathcal{I} devient localement principal sur $\tilde{\mathfrak{Z}}$. Mais étant donné que \mathcal{I} contient localement une puissance de π et que $\tilde{\mathfrak{Z}}$ est sans π -torsion \mathcal{I} est localement libre de rang un sur $\tilde{\mathfrak{Z}}$.

La dernière assertion résulte aisément de son homologue pour les schémas (et de la première assertion). \square

Remarque 1.25. — Soit $\mathfrak{Z} = \text{Spf}(R)$ π -adique sans π -torsion et \mathcal{I} un idéal admissible de $\mathcal{O}_{\mathfrak{Z}}$. Il y a alors un idéal $I = (f_1, \dots, f_n)$ de R contenant une puissance de π tel que \mathcal{I} soit l'image réciproque de l'idéal quasi-cohérent $(I/\pi^N \mathcal{O}_{\mathfrak{Z}})$ dans $\mathcal{O}_{\mathfrak{Z}}$ pour $N \gg 0$. La description donnée dans le lemme 2.2 de [6] de $\tilde{\mathfrak{Z}}$ lorsque \mathfrak{Z} est topologiquement de type fini sur \mathcal{O}_K est en général fautive. On a en fait la description suivante :

$$\tilde{\mathfrak{Z}} = \bigcup_{i=1}^n \mathcal{U}_i$$

où $\mathcal{U}_i = \text{Spf}(A_i)$ est un ouvert affine tel que si

$$B_i = R \langle T_1, \dots, \hat{T}_i, \dots, T_n \rangle / (T_j f_i - f_j)_{1 \leq j \leq n, j \neq i}$$

et $B'_i = B_i / J_i$ avec $J_i = \{b \in B_i \mid \exists k \pi^k b = 0\}$ alors A_i est le séparé de B'_i , $A_i = B'_i / \bigcap_{k \geq 0} \pi^k B'_i$ ou encore $A_i = B_i / \overline{J_i}$ où $\overline{J_i}$ est l'adhérence π -adique de J_i .

Remarque 1.26. — Si $\mathfrak{X}' \rightarrow \text{Spf}(A)$ est un éclatement formel admissible et si A est topologiquement de type fini sur $\text{Spf}(\mathcal{O}_K)$ alors $\Gamma(\mathfrak{X}', \mathcal{O}_{\mathfrak{X}'})[\frac{1}{\pi}] = A[\frac{1}{\pi}]$ (théorème d'acyclicité de Tate qui lorsque \mathcal{O}_K est de valuation discrète résulte du théorème de changement de base propre

formel en cohomologie cohérente de EGA III). Mais pour les schémas formels plus généraux que nous considérons il n'y a pas de raison pour que cela soit vrai.

Lemme 1.27. — Soit \mathfrak{Z} un schéma formel π -adique sans π -torsion et $\mathcal{I} \subset \mathcal{O}_{\mathfrak{Z}}$ un idéal admissible.
 – \mathcal{I} est localement libre de rang un ssi il est localement principal
 – si $(\pi^N) \subset \mathcal{I}$, \mathcal{I} est localement principal ssi $\mathcal{I}/\pi^{N+1}\mathcal{O}_{\mathfrak{Z}}$ l'est
 En particulier si $(\pi^N) \subset \mathcal{I}$, un morphisme $\psi : \mathfrak{Y} \rightarrow \mathfrak{Z}$ se relève à l'éclatement de \mathcal{I} ssi $(\mathcal{O}_{\mathfrak{Y}}.\psi^{-1}\mathcal{I})/\pi^{N+1}\mathcal{O}_{\mathfrak{Y}}$ est localement principal.

Démonstration. La démonstration ne pose pas de problème. \square

Lemme 1.28. — Soit \mathfrak{Z} comme précédemment. Soient $\mathcal{I}_1, \mathcal{I}_2$ deux idéaux admissibles. Soit $\tilde{\mathfrak{Z}}$ l'éclatement formel de \mathcal{I}_1 . Alors l'éclatement formel admissible de $\mathcal{I}_1.\mathcal{I}_2$ s'identifie à l'éclatement formel admissible de l'image réciproque de \mathcal{I}_2 à $\tilde{\mathfrak{Z}}$.

Démonstration. On peut soit le vérifier directement sur la définition de l'éclatement formel admissible, soit en utilisant la propriété universelle des éclatements formels puisque si A est un anneau sans π -torsion et I, J deux idéaux de type fini de A contenant une puissance de π alors IJ inversible $\iff I$ et J sont inversibles. \square

Lemme 1.29. — Le composé de deux éclatements formels admissibles d'un schéma formel π -adique sans π -torsion quasicompact est un éclatement formel admissible.

Démonstration. On vérifie que la démonstration de la proposition 2.5 de [6], qui repose elle-même sur le lemme 5.1.4 de [22], fonctionne en toute généralité (on utilise l'hypothèse faite dès le début que tous nos schémas formels sont quasi-séparés). \square

Lemme 1.30. — Soit \mathfrak{X} un schéma formel π -adique sans π -torsion quasicompact et $\mathcal{U} \subset \mathfrak{X}$ un ouvert quasicompact. Alors tout éclatement formel admissible de \mathcal{U} s'étend en un éclatement formel admissible de \mathfrak{X} .

Démonstration. La démonstration du lemme 2.6. de [6] s'applique. \square

Lemme 1.31. — Soit $\varphi : \tilde{\mathfrak{Z}} \rightarrow \mathfrak{Z}$ un éclatement formel admissible. Alors φ est surjectif au niveau des fibres spéciales.

Démonstration. Par définition de l'éclatement formel admissible le morphisme induit en fibre spéciales $\tilde{\mathfrak{Z}} \otimes_{\mathcal{O}_K/\pi\mathcal{O}_K} \rightarrow \mathfrak{Z} \otimes_{\mathcal{O}_K/\pi\mathcal{O}_K}$ est propre. Son image est donc fermée. Soit $\mathcal{U} \subset \mathfrak{Z}$ l'ouvert complémentaire de l'image. Alors $\varphi^{-1}(\mathcal{U}) \rightarrow \mathcal{U}$ est l'éclatement formel admissible de $\mathcal{I}_{\mathcal{U}}$. Il suffit donc de voir que pour un éclatement formel admissible comme dans l'énoncé $\tilde{\mathfrak{Z}} \neq \emptyset$. Soit donc $\mathrm{Spf}(R) \subset \mathfrak{Z}$ un ouvert affine non-vide et $f : X \rightarrow \mathrm{Spec}(R)$ l'éclatement de l'idéal $\Gamma(\mathrm{Spf}(R), \mathcal{I})$ dans $\mathrm{Spec}(R)$. D'après la proposition 1.24 $\varphi^{-1}(\mathrm{Spf}(R))$ s'identifie au complété π -adique \hat{X} de X . Mais si $\hat{X} = \emptyset$ on a $X = X \otimes_{\mathcal{O}_K} K$. Or le morphisme $f : X \rightarrow \mathrm{Spec}(R)$ est propre et est un isomorphisme en fibre générique : $X \otimes K \xrightarrow{\sim} \mathrm{Spec}(R[\frac{1}{\pi}])$. Donc si l'on avait $\hat{X} = \emptyset$ alors $f(X) = \mathrm{Spec}(R[\frac{1}{\pi}]) \subset \mathrm{Spec}(R)$ qui serait donc ouvert/fermé dans $\mathrm{Spec}(R)$ ce qui est impossible car R est π -adique sans π -torsion. \square

1.9.2. *Transformée stricte.* — Soit $\varphi : \mathfrak{Y} \rightarrow \mathfrak{Z}$ un morphisme de schémas formels π -adiques sans π -torsion. Soit $\mathcal{I} \subset \mathcal{O}_{\mathfrak{Z}}$ un idéal admissible. Notons $\tilde{\mathfrak{Z}} \rightarrow \mathfrak{Z}$ l'éclatement formel admissible associé.

Définition 1.32. — On appelle transformé strict de \mathfrak{Y} relativement à l'éclatement $\tilde{\mathfrak{Z}} \rightarrow \mathfrak{Z}$ l'adhérence schématique de la fibre générique de $\mathfrak{Y} \times_{\mathfrak{Z}} \tilde{\mathfrak{Z}}$.

Proposition 1.33. — Le transformé strict de \mathfrak{Y} s'identifie à l'éclatement formel admissible de l'idéal $\mathcal{O}_{\mathfrak{Y}}.\varphi^{-1}\mathcal{I}$.

Démonstration. Notons \mathfrak{X} le transformé strict et $\tilde{\mathfrak{Y}}$ l'éclatement formel de $\mathcal{O}_{\mathfrak{Y}, \varphi^{-1}\mathcal{I}}$. Puisqu'il y a une factorisation $\mathfrak{Y} \times_3 \tilde{\mathfrak{Z}} \rightarrow \tilde{\mathfrak{Z}} \rightarrow \mathfrak{Z}$ l'image réciproque à $\mathfrak{Y} \times_3 \tilde{\mathfrak{Z}}$ de l'idéal \mathcal{I} est localement principal. Donc, puisque cet idéal est admissible, il devient localement libre de rang un sur $\mathfrak{X} \hookrightarrow \mathfrak{Y} \times_3 \tilde{\mathfrak{Z}}$ (lemme 1.27). D'après la propriété universelle de $\tilde{\mathfrak{Y}}$ il y a donc un morphisme

$$\mathfrak{X} \longrightarrow \tilde{\mathfrak{Y}}$$

Construisons un morphisme dans l'autre sens. D'après la propriété universelle de $\tilde{\mathfrak{Z}}$ le morphisme $\tilde{\mathfrak{Y}} \rightarrow \mathfrak{Z}$ s'étend en un morphisme $\tilde{\mathfrak{Y}} \rightarrow \tilde{\mathfrak{Z}}$. Il fournit donc un morphisme

$$\tilde{\mathfrak{Y}} \longrightarrow \mathfrak{Y} \times_3 \tilde{\mathfrak{Z}}$$

Mais grâce à la propriété caractérisant l'adhérence schématique de la fibre générique se morphisme se factorise en un morphisme

$$\tilde{\mathfrak{Y}} \longrightarrow \mathfrak{X}$$

On vérifie alors facilement que les deux morphismes précédents sont inverses l'un de l'autre. \square

Exemple 1.34. — Si $\mathfrak{X}' \rightarrow \mathfrak{X}$ est l'éclatement formel admissible de l'idéal \mathcal{I}_1 et $\mathfrak{X}'' \rightarrow \mathfrak{X}$ celui de \mathcal{I}_2 alors $(\mathfrak{X}' \times_{\mathfrak{X}} \mathfrak{X}'')^{adh}$ est l'éclatement formel admissible de $\mathcal{I}_1 \cdot \mathcal{I}_2$.

1.9.3. Commutation à la limite projective. — Soit (I, \leq) un ensemble ordonné cofiltrant et $((\mathfrak{Z}_i)_{i \in I}, (\varphi_{ij})_{i \geq j})$ un système projectif de schémas formels π -adiques sans π -torsion tel que les morphismes de transition φ_{ij} soient affines. Soit $i_0 \in I$ fixé et \mathcal{I} un idéal admissible de $\mathcal{O}_{\mathfrak{Z}_{i_0}}$. Notons pour $i \geq i_0$ $\tilde{\mathfrak{Z}}_i$ l'éclatement formel de l'image réciproque de \mathcal{I} . On a donc un système projectif $(\tilde{\mathfrak{Z}}_i)_{i \in I}$. D'après la proposition 1.33 les morphismes de transition de cette tour sont affines.

Proposition 1.35. — La limite projective $\varprojlim_{i \geq i_0} \tilde{\mathfrak{Z}}_i$ coïncide avec l'éclatement formel de l'image réciproque à $\varprojlim_i \mathfrak{Z}_i$ de \mathcal{I} .

Démonstration. Il suffit d'utiliser les propriétés universelles des éclatement et limites projectives pour construire deux morphismes inverses l'un de l'autre. \square

2. La topologie des ouverts admissibles

2.1. La catégorie des ouverts admissibles. —

Définition 2.1. — Soit \mathfrak{X} un schéma formel π -adique sans π -torsion quasicompact. Soit $\mathcal{E}_{\mathfrak{X}}$ la catégorie dont les objets sont les éclatements formels admissibles de \mathfrak{X} et les morphismes sont les morphismes de \mathfrak{X} -schémas formels.

On note $\mathcal{OE}_{\mathfrak{X}}$ la catégorie fibrée au dessus de $\mathcal{E}_{\mathfrak{X}}$ telle que

- la fibre au dessus de $(\mathfrak{X}' \rightarrow \mathfrak{X}) \in \text{Ob}(\mathcal{E}_{\mathfrak{X}})$ est la catégorie des ouverts quasicompacts de \mathfrak{X}' munie des morphismes donnés par l'inclusion
- le foncteur “changement de base” associé à un morphisme $\mathfrak{X}' \longrightarrow \mathfrak{X}''$ dans $\mathcal{E}_{\mathfrak{X}}$ est le

$$\begin{array}{ccc} \mathfrak{X}' & \longrightarrow & \mathfrak{X}'' \\ & \searrow & \swarrow \\ & \mathfrak{X} & \end{array}$$

foncteur image réciproque d'un ouvert de \mathfrak{X}'' à \mathfrak{X}'

On notera souvent $(\mathcal{U} \subset \mathfrak{X}' \rightarrow \mathfrak{X})$ un objet de $\mathcal{OE}_{\mathfrak{X}}$ où \mathcal{U} est un ouvert quasicompact de l'éclatement \mathfrak{X}' de \mathfrak{X} .

D'après le lemme 1.28 la catégorie $\mathcal{E}_{\mathfrak{X}}$ est cofiltrante. Plus précisément, étant donnés deux objets de $\mathcal{E}_{\mathfrak{X}}$ il existe au plus un morphisme entre deux tels objets et si $\mathfrak{X}' \longrightarrow \mathfrak{X}''$ est un diagramme

$$\begin{array}{ccc} \mathfrak{X}' & & \mathfrak{X}'' \\ & \searrow & \swarrow \\ & \mathfrak{X} & \end{array}$$

d'éclatements alors $(\mathfrak{X}' \times_{\mathfrak{X}} \mathfrak{X}'')^{adh}$ domine ce diagramme. Ainsi la catégorie $\mathcal{E}c_{\mathfrak{X}}$ est la catégorie associée à un ensemble ordonné dans lequel toute partie finie possède une borne supérieure.

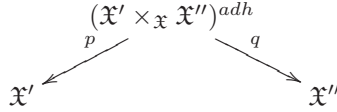
Définition 2.2. — On note $Ad_{\mathfrak{X}}$ la catégorie $\varinjlim_{\mathcal{E}c_{\mathfrak{X}}} \mathcal{O}Ec_{\mathfrak{X}}$ (cf. section 6 de l'exposé VI de SGA4 tome 2 [13]). Il s'agit de la catégorie des ouverts admissibles quasicompacts.

Le lemme qui suit donne une définition concrète de $Ad_{\mathfrak{X}}$.

Lemme 2.3. — *Les objets de $Ad_{\mathfrak{X}}$ sont les ouverts quasicompacts des éclatements formels admissibles de \mathfrak{X} . Si $\mathfrak{X}' \rightarrow \mathfrak{X} \leftarrow \mathfrak{X}''$ est un diagramme d'éclatements, $\mathcal{U} \subset \mathfrak{X}'$ et $\mathcal{V} \subset \mathfrak{X}''$ sont deux*



tels ouverts, si $(\mathfrak{X}' \times_{\mathfrak{X}} \mathfrak{X}'')^{adh}$ désigne l'adhérence schématique de la fibre générique de $\mathfrak{X}' \times_{\mathfrak{X}} \mathfrak{X}''$



on a $Hom_{Ad_{\mathfrak{X}}}(\mathcal{U}, \mathcal{V}) \neq \emptyset$ ssi $p^{-1}(\mathcal{U}) \subset q^{-1}(\mathcal{V})$ et si c'est le cas alors cet ensemble d'homomorphismes est constitué d'un seul élément.

Démonstration. Tout éclatement dominant \mathfrak{X}' et \mathfrak{X}'' se factorise de façon unique par $(\mathfrak{X}' \times_{\mathfrak{X}} \mathfrak{X}'')^{adh}$. Par définition de la catégorie limite inductive il suffit alors de voir que si $\mathfrak{X}''' \xrightarrow{h} (\mathfrak{X}' \times_{\mathfrak{X}} \mathfrak{X}'')^{adh}$ est tel que $h^{-1}(p^{-1}(\mathcal{U})) \subset h^{-1}(q^{-1}(\mathcal{V}))$ alors $p^{-1}(\mathcal{U}) \subset q^{-1}(\mathcal{V})$. Mais cela résulte de la surjectivité des morphismes induits par les éclatements au niveau des fibres spéciales c'est à dire le lemme 1.31. \square

2.2. La topologie et le topos admissible. —

Définition 2.4. — Soit \mathfrak{Z} un schéma formel π -adique. On note $|\mathfrak{Z}|_{qc}$ la prétopologie des ouverts quasicompacts de \mathfrak{Z} dont les recouvrements sont les recouvrements usuels par un nombre fini d'ouverts. Pour $\mathcal{U} \subset \mathfrak{Z}$ un ouvert quasicompact on note $Cov_{|\mathfrak{Z}|_{qc}}(\mathcal{U})$ ces recouvrements.

Remarque 2.5. — Pour vérifier que $|\mathfrak{Z}|_{qc}$ vérifie bien les axiomes d'une prétopologie il faut utiliser le fait que \mathfrak{Z} est quasi-séparé (hypothèse faite sur tous nos schémas formels).

Remarque 2.6. — Si $|\mathfrak{Z}|$ désigne la topologie usuelle il y a un foncteur pleinement fidèle continu $|\mathfrak{Z}|_{qc} \rightarrow |\mathfrak{Z}|$ qui induit une équivalence de topos $|\mathfrak{Z}| \xrightarrow{\sim} |\mathfrak{Z}|_{qc}$ puisque les ouverts quasicompacts forment une famille génératrice de la topologie de $|\mathfrak{Z}|$ (il s'agit d'une simple application du "lemme de comparaison", le théorème 4.1 de SGA4 tome 1 exposé III).

Les familles

$$\mathcal{O}Ec_{\mathfrak{X}} \ni (\mathcal{U} \subset \mathfrak{X}' \rightarrow \mathfrak{X}) \mapsto Cov_{|\mathfrak{X}'|_{qc}}(\mathcal{U})$$

satisfont aux hypothèses du paragraphe 8.3. de [13] et définissent donc d'après la proposition 8.3.6 de cet exposé une prétopologie sur $Ad_{\mathfrak{X}}$ appelée prétopologie admissible.

Concrètement on vérifie avec les définitions de l'exposé 6 de SGA4 que

Lemme 2.7. — *Soit $(\mathcal{U} \subset \mathfrak{X}' \rightarrow \mathfrak{X}) \in Ob(Ad_{\mathfrak{X}})$ un ouvert admissible quasicompact. Alors les recouvrements de \mathcal{U} pour la prétopologie admissible sont les familles de morphismes vers \mathcal{U} dans $Ad_{\mathfrak{X}}$ isomorphes aux familles finies $(\mathcal{V}_i)_{i \in I}$ d'ouverts quasicompacts d'un éclatement $\mathfrak{X}'' \rightarrow \mathfrak{X}$ dominant $\mathfrak{X}' \rightarrow \mathfrak{X}$, $\mathfrak{X}'' \xrightarrow{h} \mathfrak{X}' \rightarrow \mathfrak{X}$, telles que*

$$h^{-1}(\mathcal{U}) = \bigcup_{i \in I} \mathcal{V}_i$$

De façon encore plus concrète on a

Lemme 2.8. — Soit $(\mathcal{U} \subset \mathfrak{X}' \rightarrow \mathfrak{X}) \in \text{ObAd}_{\mathfrak{X}}$ un ouvert admissible quasicompact. Les recouvrements de \mathcal{U} pour la prétopologie admissibles sont les familles finies $(\mathcal{V}_i \subset \mathfrak{X}''_i \rightarrow \mathfrak{X})_{i \in I}$ telles que si \mathfrak{Y} désigne l'adhérence de la fibre générique de $\mathfrak{X}' \times_{\mathfrak{X}} (\times_{\mathfrak{X}} \mathfrak{X}''_i)$ (la borne supérieure de tous les éclatements précédents)

$$\begin{array}{ccc} & \mathfrak{Y} & \\ p \swarrow & & \searrow q_i \\ \mathfrak{X}' & & \mathfrak{X}''_i \end{array}$$

alors $p^{-1}(\mathcal{U}) = \bigcup_{i \in I} q_i^{-1}(\mathcal{V}_i)$.

Démonstration. Il suffit d'utiliser le lemme précédent couplé au fait que les éclatements sont surjectifs en fibre spéciale (lemme 1.31) qui implique qu'une famille d'ouverts Zariski recouvre un ouvert donné ssi c'est le cas après un éclatement. \square

2.3. Le topos admissible. — Soit pour tout $(\mathfrak{X}' \rightarrow \mathfrak{X}) \in \mathcal{E}_{\mathfrak{X}}$ le topos $|\mathfrak{X}'|^{\sim} = |\mathfrak{X}'|_{q_c}^{\sim}$. Si

$$\begin{array}{ccc} \mathfrak{X}'' & \xrightarrow{h} & \mathfrak{X}' \\ & \searrow & \swarrow \\ & \mathfrak{X} & \end{array}$$

est un morphisme dans $\mathcal{E}_{\mathfrak{X}}$ il y a alors un morphisme de topos

$$(h^*, h_*) : |\mathfrak{X}''|^{\sim} \rightarrow |\mathfrak{X}'|^{\sim}$$

Lorsque \mathfrak{X}' varie cela donne naissance à un topos fibré au dessus de la petite catégorie $\mathcal{E}_{\mathfrak{X}}$, au sens de l'exposé VI de SGA 4.

Définition 2.9. — On note $(\mathfrak{X}^{rig})^{\sim}$ le topos limite projective

$$\lim_{\leftarrow (\mathfrak{X}' \rightarrow \mathfrak{X}) \in \mathcal{E}_{\mathfrak{X}}} |\mathfrak{X}'|^{\sim}$$

au sens de la section 8 de l'exposé VI de SGA 4. On l'appelle topos rigide admissible de \mathfrak{X} .

D'après le théorème 8.2.9 de [13] ce topos s'identifie à la catégorie limite projective

$$\lim_{\leftarrow (\mathfrak{X}' \rightarrow \mathfrak{X}) \in \mathcal{E}_{\mathfrak{X}}} |\mathfrak{X}'|^{\sim}$$

où les morphismes de transition sont pour $h : \mathfrak{X}'' \rightarrow \mathfrak{X}'$ un morphisme entre éclatements le morphisme $h_* : |\mathfrak{X}''|^{\sim} \rightarrow |\mathfrak{X}'|^{\sim}$. Concrètement un objet de ce topos est un système de faisceaux $(\mathcal{F}_{\mathfrak{X}'})_{\mathfrak{X}' \in \mathcal{E}_{\mathfrak{X}}} \in \prod_{\mathfrak{X}' \in \mathcal{E}_{\mathfrak{X}}} |\mathfrak{X}'|^{\sim}$ muni d'isomorphismes $\forall h : \mathfrak{X}'' \rightarrow \mathfrak{X}'$

$$\alpha_h : h_* \mathcal{F}_{\mathfrak{X}''} \xrightarrow{\sim} \mathcal{F}_{\mathfrak{X}'}$$

vérifiant une condition de cocycle évidente.

Exemple 2.10. — Si \mathfrak{X} est topologiquement de type fini sur $\text{Spf}(\mathcal{O}_K)$ alors d'après le théorème d'acyclicité de Tate ce topos est muni d'un "faisceau structural" $\mathcal{O}_{\mathfrak{X}^{rig}}$ dont la "composante" sur l'éclatement \mathfrak{X}' est le faisceau $\mathcal{O}_{\mathfrak{X}'[\frac{1}{\pi}]}$ $\in |\mathfrak{X}'|^{\sim}$. En général pour des \mathfrak{X} avec lesquels nous travaillons cela est faux (cf. remarque 1.26). Plus généralement, toujours si \mathfrak{X} est topologiquement de type fini sur $\text{Spf}(\mathcal{O}_K)$, si \mathcal{F} est un faisceau cohérent sur \mathfrak{X} alors $(h : \mathfrak{X}' \rightarrow \mathfrak{X}) \mapsto h^* \mathcal{F}[\frac{1}{\pi}]$ définit un faisceau cohérent de $\mathcal{O}_{\mathfrak{X}^{rig}}$ -modules sur $(\mathfrak{X}^{rig})^{\sim}$.

Proposition 2.11. — Le topos $(\mathfrak{X}^{rig})^{\sim}$ s'identifie au topos des faisceaux sur $\text{Ad}_{\mathfrak{X}}$ muni de la topologie admissible.

Démonstration. C'est une conséquence des résultats de la section 8.3 de [13]. \square

2.4. Topos limite projective contre topos total. — On renvoie à la section 8.5 de [13] pour les généralités concernant le lien entre une limite projective de topos fibré et son topos total.

Traduisons les résultats de cette section 8.5 de [13] dans le cas du topos rigide admissible.

Définition 2.12. — Soit le topos fibré sur la catégorie $\mathcal{E}c_{\mathfrak{X}}$ qui à $(\mathfrak{X}' \rightarrow \mathfrak{X}) \in \mathcal{E}c_{\mathfrak{X}}$ associe $|\mathfrak{X}'|^\sim$. On note $\mathcal{T}_{\mathfrak{X}^{rig}}$ le topos total associé.

Concrètement $\mathcal{T}_{\mathfrak{X}^{rig}}$ est la catégorie des $(\mathcal{F}_{(\mathfrak{X}' \rightarrow \mathfrak{X})}) \in \prod_{(\mathfrak{X}' \rightarrow \mathfrak{X}) \in \mathcal{E}c_{\mathfrak{X}}} |\mathfrak{X}'|^\sim$ munis de morphismes

$$\forall \mathfrak{X}'' \begin{array}{c} \xrightarrow{h} \mathfrak{X}' \\ \searrow \quad \swarrow \\ \mathfrak{X} \end{array} \quad \alpha_h : \mathcal{F}_{\mathfrak{X}' \rightarrow \mathfrak{X}} \rightarrow h_* \mathcal{F}_{(\mathfrak{X}'' \rightarrow \mathfrak{X})}$$

vérifiant une certaine condition de cocycle. Comparé au topos limite projective on relâche donc la condition pour α_h d'être un isomorphisme. Il y a un morphisme de topos

$$Q : (\mathfrak{X}^{rig})^\sim \rightarrow \mathcal{T}_{\mathfrak{X}^{rig}}$$

tel que

$$Q_*((\mathcal{F}_{(\mathfrak{X}' \rightarrow \mathfrak{X})}), (\alpha_h)) = ((\mathcal{F}_{(\mathfrak{X}' \rightarrow \mathfrak{X})}), (\alpha_h))$$

Voici une description du foncteur image réciproque

Lemme 2.13. — Soit $\mathcal{F} = ((\mathcal{F}_{(\mathfrak{X}' \rightarrow \mathfrak{X})}), (\alpha_h)) \in \mathcal{T}_{\mathfrak{X}^{rig}}$. Alors $Q^* \mathcal{F} = ((\mathcal{G}_{(\mathfrak{X}' \rightarrow \mathfrak{X})}), (\beta_h))$ où

$$\mathcal{G}_{(\mathfrak{X}' \rightarrow \mathfrak{X})} = \lim_{\substack{\rightarrow \\ (\mathfrak{X}'' \xrightarrow{h} \mathfrak{X}')}} h_* \mathcal{F}_{(\mathfrak{X}'' \rightarrow \mathfrak{X})}$$

Démonstration. Il s'agit d'une application de la proposition 8.5.3 de [13] (pour tout $h : \mathfrak{X}'' \rightarrow \mathfrak{X}'$ $h_* : |\mathfrak{X}''|^\sim \rightarrow |\mathfrak{X}'|^\sim$ commute aux petites limite projectives filtrantes (d'après le théorème 5.1 de [13], h étant un morphisme cohérent). \square

Exemple 2.14. — Il y a un faisceau de \mathcal{O}_K -algèbres \mathcal{A} défini par $((\mathfrak{X}' \rightarrow \mathfrak{X}) \mapsto \mathcal{O}_{\mathfrak{X}'}) \in \mathcal{T}_{\mathfrak{X}^{rig}}$. Alors $Q^* \mathcal{A}$ est le faisceau sur $(\mathfrak{X}^{rig})^\sim$ qui à un ouvert admissible $(\mathcal{U} \subset \mathfrak{X}' \rightarrow \mathfrak{X})$ associe

$$\lim_{\substack{\rightarrow \\ (\mathcal{U}' \rightarrow \mathcal{U}) \in \mathcal{E}c_{\mathcal{U}}}} \Gamma(\mathcal{U}', \mathcal{O}_{\mathcal{U}'})$$

Il s'agit du faisceau associé au préfaisceau qui à un ouvert admissible $(\mathcal{U} \subset \mathfrak{X}' \rightarrow \mathfrak{X})$ associe $\Gamma(\mathcal{U}, \mathcal{O}_{\mathcal{U}})$. Lorsque \mathfrak{X} est topologiquement de type fini sur $\mathrm{Spf}(\mathcal{O}_K)$ $\mathcal{O}_{\mathfrak{X}^{rig}} := \mathcal{A}[\frac{1}{\pi}]$ est le faisceau structural de l'espace rigide (qui d'après la remarque 2.10 se définit sans Q^* , c'est déjà un faisceau sur la limite projective) tandis que \mathcal{A} est le sous-faisceau $\mathcal{O}_{\mathfrak{X}^{rig}}^+$ des fonctions rigides de normes infini ≤ 1 (cf. [17] dans le contexte des espaces adique). Ainsi lorsque \mathfrak{X} n'est pas forcément topologiquement de type fini sur $\mathrm{Spf}(\mathcal{O}_K)$ et que le théorème d'acyclicité de Tate n'est pas vérifié le faisceau $\mathcal{A}[\frac{1}{\pi}]$ définit un faisceau structural sur $(\mathfrak{X}^{rig})^\sim$ qui d'après le lemme précédent s'obtient en "forçant" le théorème d'acyclicité de Tate.

2.5. Functorialité de la topologie et du topos admissible. —

2.5.1. Espaces rigides. —

Définition 2.15. — On appelle catégorie des espaces rigides quasicompacts le localisé de la catégorie des schémas formels π -adiques sans π -torsion quasicompacts relativement aux flèches données par les éclatements formels admissibles.

Si $\mathfrak{X}, \mathfrak{Y}$ sont deux schémas formels π -adiques sans π -torsion on note \mathfrak{X}^{rig} l'objet associé dans la catégorie des espaces rigides.

On vérifie grâce aux propriétés des éclatements formels admissibles que cet ensemble de flèches permet un calcul des fractions à gauche. On a donc

$$\mathrm{Hom}(\mathfrak{X}^{rig}, \mathfrak{Y}^{rig}) = \lim_{\substack{\rightarrow \\ (\mathfrak{X}' \rightarrow \mathfrak{X}) \in \mathcal{E}c_{\mathfrak{X}}}} \mathrm{Hom}(\mathfrak{X}', \mathfrak{Y})$$

Exemple 2.16. — Le foncteur $\mathcal{E}c_{\mathfrak{X}} \rightarrow (\text{Espaces rigides}/\mathfrak{X}^{rig})$ qui à $(\mathcal{U} \subset \mathfrak{X}' \rightarrow \mathfrak{X})$ associe $\mathcal{U}^{rig} \rightarrow \mathfrak{X}^{rig}$ est pleinement fidèle. Cela résulte du lemme 1.30. Cela permet de voir la catégorie des ouverts admissibles quasicompacts de \mathfrak{X} comme une sous-catégorie pleine de la catégorie (Espaces rigides/ \mathfrak{X}^{rig}).

Remarque 2.17. — Pour les espaces non-quasicompacts la bonne définition de la catégorie des espaces rigides (quasiséparés) n'est pas le localisé de la catégorie des schémas formels π -adiques sans π -torsion relativement aux éclatements formels admissibles. Si \mathfrak{X} est un tel schéma formel non-quasicompact il faut voir l'espace rigide associé à \mathfrak{X} comme un faisceau sur le gros site admissible limite inductive $\varinjlim_{\mathcal{U} \subset \mathfrak{X}} \mathcal{U}^{rig}$ où \mathcal{U} parcourt les ouvert quasicompacts de \mathfrak{X} .

2.5.2. Functorialité en les schémas formels. — Soit $f : \mathfrak{Y} \rightarrow \mathfrak{X}$ un morphisme de schémas formels π -adiques sans π -torsion quasicompacts. Les schémas formels \mathfrak{X} et \mathfrak{Y} étant quasiséparés quasicompacts un tel morphisme est quasicompact. Il induit un foncteur

$$\mathcal{E}c(f) : \mathcal{E}c_{\mathfrak{X}} \rightarrow \mathcal{E}c_{\mathfrak{Y}}$$

qui à l'éclatement $(\mathfrak{X}' \rightarrow \mathfrak{X})$ associe le transformé strict de \mathfrak{Y} c'est à dire $(\mathfrak{Y} \times_{\mathfrak{X}} \mathfrak{X}')^{adh}$.

Il induit également un morphisme cartésien de catégories fibrés

$$\begin{array}{ccc} \mathcal{O}\mathcal{E}c_{\mathfrak{X}} & \xrightarrow{\mathcal{O}\mathcal{E}c(f)} & \mathcal{O}\mathcal{E}c_{\mathfrak{Y}} \\ \downarrow & & \downarrow \\ \mathcal{E}c_{\mathfrak{X}} & \xrightarrow{\mathcal{E}c(f)} & \mathcal{E}c_{\mathfrak{Y}} \end{array}$$

qui en fait un morphisme de sites fibrés lorsqu'on munit les fibres de la topologie des ouverts Zariski quasi-compactes (cf. section précédente). Il induit donc par passage à la limite inductive un morphisme de sites

$$Ad(f) : Ad_{\mathfrak{Y}} \rightarrow Ad_{\mathfrak{X}}$$

entre les sites admissibles de \mathfrak{X} et \mathfrak{Y} . D'où un morphisme de topos

$$(f^*, f_*) : (\mathfrak{Y}^{rig})^{\sim} \rightarrow (\mathfrak{X}^{rig})^{\sim}$$

qui est le morphisme de topos induit par passage à la limite projective entre les topos fibrés au dessus de $\mathcal{E}c_{\mathfrak{Y}}$ et $\mathcal{E}c_{\mathfrak{X}}$.

2.5.3. Functorialité en les espaces rigides. —

Proposition 2.18. — Soit $f : \mathfrak{X}' \rightarrow \mathfrak{X}$ un éclatement formel admissible. Alors $Ad(f) : Ad_{\mathfrak{X}'} \rightarrow Ad_{\mathfrak{X}}$, resp. $(f^*, f_*) : (\mathfrak{X}'^{rig})^{\sim} \rightarrow (\mathfrak{X}^{rig})^{\sim}$, est une équivalence de sites, resp. de topos.

Démonstration. Tout a été fait pour puisque la sous-catégorie pleine $\mathcal{E}c_{\mathfrak{X}'} \subset \mathcal{E}c_{\mathfrak{X}}$ est co-finale. \square

Corollaire 2.19. — Le site admissible et le topos admissible sont "fonctoriels" dans la catégorie des espaces rigides quasicompacts : pour X un espace rigide quasicompact on peut définir $|X|$ son topos admissible, son site des ouverts admissibles quasicompacts Ad_X et un morphisme d'espaces rigides induit un morphismes de topos et de sites.

2.6. Commutation des topos admissible à la limite projective. — Soit (I, \leq) un ensemble ordonné cofiltrant et $(\mathfrak{X}_i)_{i \in I}$ un système projectif de schémas formels π -adiques sans π -torsion quasicompacts tel que les morphismes de transition $\forall i \geq j \varphi_{ij} : \mathfrak{X}_i \rightarrow \mathfrak{X}_j$ soient affines. Soit

$$\mathfrak{X}_{\infty} = \varprojlim_{i \in I} \mathfrak{X}_i$$

(cf. section 1.7).

2.6.1. Rigidité des éclatements. —

Lemme 2.20. — Soit \mathfrak{X} un schéma formel π -adique sans π -torsion, \mathfrak{Y} un \mathfrak{X} -schéma formel π -adique sans π -torsion et $\mathfrak{X}' \rightarrow \mathfrak{X}$ l'éclatement formel admissible d'un idéal \mathcal{I} tel que $\pi^N \mathcal{O}_{\mathfrak{X}} \subset \mathcal{I}$. Alors l'application de réduction modulo π^{N+1}

$$\mathrm{Hom}_{\mathfrak{X}}(\mathfrak{Y}, \mathfrak{X}') \xrightarrow{\sim} \mathrm{Hom}_{\mathfrak{X} \otimes \mathcal{O}_K / \pi^{N+1}}(\mathfrak{Y} \otimes \mathcal{O}_K / \pi^{N+1}, \mathfrak{X}' \otimes \mathcal{O}_K / \pi^{N+1})$$

est une bijection.

Démonstration. C'est une conséquence du lemme 1.27 puisque si $f : \mathfrak{Y} \rightarrow \mathfrak{X}$ alors $\mathrm{Hom}_{\mathfrak{X}}(\mathfrak{Y}, \mathfrak{X}')$ est non-vide ssi l'idéal $\mathcal{O}_{\mathfrak{Y}} \cdot f^{-1} \mathcal{I} / \pi^{N+1} \mathcal{O}_{\mathfrak{Y}}$ est localement principal, et si c'est le cas $\mathrm{Hom}_{\mathfrak{X}}(\mathfrak{Y}, \mathfrak{X}')$ est constitué d'un seul élément. \square

2.6.2. Décomplétion des éclatements et des morphismes entre eux. —

Proposition 2.21. — 1. Soit $\mathfrak{X}'_{\infty} \rightarrow \mathfrak{X}_{\infty}$ un éclatement formel admissible. Il existe alors $i_0 \in I$ et un éclatement formel admissible $\mathfrak{X}'_{i_0} \rightarrow \mathfrak{X}_{i_0}$ tel que

$$\mathfrak{X}'_{\infty} = \varprojlim_{i \geq i_0} (\mathfrak{X}'_{i_0} \times_{\mathfrak{X}_{i_0}} \mathfrak{X}_i)^{adh}$$

où $(\mathfrak{X}'_{i_0} \times_{\mathfrak{X}_{i_0}} \mathfrak{X}_i)^{adh}$ désigne le transformé strict de $\mathfrak{X}_i \rightarrow \mathfrak{X}_{i_0}$.

2. Soit

$$\begin{array}{ccc} \mathfrak{X}'_{\infty} & & \\ \downarrow f_{\infty} & \searrow & \\ & & \mathfrak{X}_{\infty} \\ & \nearrow & \\ \mathfrak{X}''_{\infty} & & \end{array}$$

un morphisme entre éclatements. Il existe alors $i_0 \in I$ et un morphisme entre éclatements

$$\begin{array}{ccc} \mathfrak{X}'_{i_0} & & \\ \downarrow f_{i_0} & \searrow & \\ & & \mathfrak{X}_{i_0} \\ & \nearrow & \\ \mathfrak{X}''_{i_0} & & \end{array}$$

tel que $\mathfrak{X}'_{i_0} \rightarrow \mathfrak{X}_{i_0}$, resp. $\mathfrak{X}''_{i_0} \rightarrow \mathfrak{X}_{i_0}$, induise l'éclatement $\mathfrak{X}'_{\infty} \rightarrow \mathfrak{X}_{\infty}$, resp. $\mathfrak{X}''_{\infty} \rightarrow \mathfrak{X}_{\infty}$, au sens du point précédent et f_{i_0} induise f_{∞} .

Démonstration. Démontrons le premier point. Soit $\mathcal{I}_{\infty} \subset \mathcal{O}_{\mathfrak{X}_{\infty}}$ l'idéal admissible définissant l'éclatement $\mathfrak{X}'_{\infty} \rightarrow \mathfrak{X}_{\infty}$. Soit $N \in \mathbb{N}$ tel que $\pi^N \mathcal{O}_{\mathfrak{X}_{\infty}} \subset \mathcal{I}_{\infty}$. Étant donné que l'idéal $\mathcal{I}_{\infty} / \pi^N \mathcal{O}_{\mathfrak{X}_{\infty}}$ est de type fini, \mathfrak{X}_{∞} quasicompact, $\mathfrak{X}_{\infty} \otimes \mathcal{O}_K / \pi^N \mathcal{O}_K = \varprojlim_{i \in I} \mathfrak{X}_i \otimes \mathcal{O}_K / \pi^N \mathcal{O}_K$, il existe $i_0 \in I$ et

un idéal \mathcal{I}_{i_0} admissible de $\mathcal{O}_{\mathfrak{X}_{i_0}}$ tel que $\pi^N \mathcal{O}_{\mathfrak{X}_{i_0}} \subset \mathcal{I}_{i_0}$ et

$$\mathcal{O}_{\mathfrak{X}_{\infty}} \cdot \mathcal{I}_{i_0} = \mathcal{I}_{\infty}$$

Le premier point résulte alors de la proposition 1.35.

Démontrons le second point. On peut appliquer la proposition 2.20, ou reprendre sont argument ce que nous faisons. Soient \mathcal{I}_{∞} , resp. \mathcal{J}_{∞} , les idéaux admissibles définissant $\mathfrak{X}'_{\infty} \rightarrow \mathfrak{X}_{\infty}$, resp. $\mathfrak{X}''_{\infty} \rightarrow \mathfrak{X}_{\infty}$. Supposons que $\pi^N \mathcal{O}_{\mathfrak{X}_{\infty}} \subset \mathcal{I}_{\infty}$ et $\pi^N \mathcal{O}_{\mathfrak{X}_{\infty}} \subset \mathcal{J}_{\infty}$. Soient $i_1 \in I$, $\mathcal{I}_{i_1} \subset \mathcal{O}_{\mathfrak{X}_{i_1}}$, resp. $\mathcal{J}_{i_1} \subset \mathcal{O}_{\mathfrak{X}_{i_1}}$, tels que $\mathcal{I}_{\infty} = \mathcal{O}_{\mathfrak{X}_{\infty}} \cdot \mathcal{I}_{i_1}$, resp. $\mathcal{J}_{\infty} = \mathcal{O}_{\mathfrak{X}_{\infty}} \cdot \mathcal{J}_{i_1}$, comme dans le point précédent. Pour $i \geq i_1$ soit $\mathfrak{X}'_i \rightarrow \mathfrak{X}_i$, resp. $\mathfrak{X}''_i \rightarrow \mathfrak{X}_i$, l'éclatement de l'idéal $\mathcal{O}_{\mathfrak{X}_i} \cdot \mathcal{I}_{i_1}$, resp. $\mathcal{O}_{\mathfrak{X}_i} \cdot \mathcal{J}_{i_1}$. Il existe

un morphisme f_i

$$\begin{array}{ccc} \mathfrak{X}'_i & & \\ \downarrow & \searrow & \\ f_i \downarrow & & \mathfrak{X}_i \\ \downarrow & \nearrow & \\ \mathfrak{X}''_i & & \end{array}$$

ssi $\mathcal{O}_{\mathfrak{X}'_i} \cdot J_i = \mathcal{O}_{\mathfrak{X}'_i} \cdot J_{i_1}$ est localement libre de rang un (et si un tel morphisme existe il est unique et induit nécessairement f_∞). Mais d'après le lemme 1.27 cela est équivalent à ce que $\mathcal{O}_{\mathfrak{X}'_i} \cdot J_{i_1} / \pi^{N+1} \mathcal{O}_{\mathfrak{X}'_i}$ soit localement principal. Or l'existence de f_∞ implique que $\lim_{i \geq i_1} \mathcal{O}_{\mathfrak{X}'_i} \cdot J_{i_1} / \pi^{N+1} \mathcal{O}_{\mathfrak{X}'_i}$ est localement principal. L'idéal $J_{i_1} / \pi^{N+1} \mathcal{O}_{\mathfrak{X}_{i_1}}$ étant de type fini et \mathfrak{X}'_∞ quasicompact on en déduit l'existence de $i_0 \geq i_1$ tel que $\mathcal{O}_{\mathfrak{X}'_{i_0}} \cdot J_{i_1} / \pi^{N+1} \mathcal{O}_{\mathfrak{X}'_{i_0}}$ soit principal. \square

Corollaire 2.22. — Soit \mathcal{P} la catégorie fibrée au dessus de I de fibre en $i \in I$ $\mathcal{E}c_{\mathfrak{X}_i}$ et telle que pour $i \geq j$ le foncteur “changement de base” $\mathcal{E}c_{\mathfrak{X}_j} \rightarrow \mathcal{E}c_{\mathfrak{X}_i}$ soit l'application “transformée strict”. Alors le foncteur naturel

$$\lim_{\rightarrow I} \mathcal{P} \rightarrow \mathcal{E}c_{\mathfrak{X}_\infty}$$

défini par la proposition 1.35 induit une équivalence de catégories.

2.6.3. La limite inductive des ouverts admissibles quasicompacts sont les ouverts admissibles quasicompacts de la limite projective. — Reprenons les notations de la section précédente.

Lorsque i varie dans I les catégories des ouverts admissibles $\mathcal{A}d_{\mathfrak{X}_i}$ forment une catégorie fibrée sur I .

On s'intéresse à la catégorie

$$\lim_{\rightarrow i \in I} \mathcal{A}d_{\mathfrak{X}_i} = \lim_{\rightarrow i \in I} \lim_{(\mathfrak{X}' \rightarrow \mathfrak{X}) \in \mathcal{E}c_{\mathfrak{X}_i}} |\mathfrak{X}'|_{qc}$$

Pour cela introduisons la catégorie \mathcal{C} dont les objets sont les couples $(i, \mathfrak{X}'_i \rightarrow \mathfrak{X}_i)$ où $i \in I$ et $(\mathfrak{X}' \rightarrow \mathfrak{X}_i) \in \mathcal{E}c_{\mathfrak{X}_i}$ et les morphismes sont les diagramme commutatifs pour $i \rightarrow j$

$$\begin{array}{ccc} \mathfrak{X}'_i & \longrightarrow & \mathfrak{X}'_j \\ \downarrow & & \downarrow \\ \mathfrak{X}_i & \longrightarrow & \mathfrak{X}_j \end{array}$$

ou de façon équivalente un \mathfrak{X}_i -morphisme de \mathfrak{X}'_i vers $(\mathfrak{X}_i \times_{\mathfrak{X}_j} \mathfrak{X}'_j)^{adh}$. Il résulte de cette dernière description que cette catégorie est rigide et on vérifie aisément qu'elle est cofiltrante. Soit la catégorie fibrée \mathcal{D} au dessus de \mathcal{C} définie par la fibre au dessus de $(i, \mathfrak{X}'_i \rightarrow \mathfrak{X}_i)$ est $|\mathfrak{X}'_i|_{qc}$ la catégorie des ouverts quasicompacts de \mathfrak{X}'_i et les foncteurs de “changement de base” entre fibres sont les foncteurs évidents. Alors

$$\lim_{\rightarrow i \in I} \mathcal{A}d_{\mathfrak{X}_i} = \lim_{\rightarrow \mathcal{C}} \mathcal{D}$$

Pour tout $i \in I$ il y a un foncteur évident

$$\mathcal{A}d_{\mathfrak{X}_i} \rightarrow \mathcal{A}d_{\mathfrak{X}_\infty}$$

qui induit un foncteur cartésien de la catégorie fibrée des $\mathcal{A}d_{\mathfrak{X}_i}$ lorsque i varie vers la catégorie fibrée $I \times \mathcal{A}d_{\mathfrak{X}_\infty}$ et donc d'après la propriété universelle des limites inductives (SGA 5 exposé 6 proposition 6.2) un foncteur

$$\lim_{\rightarrow i \in I} \mathcal{A}d_{\mathfrak{X}_i} \rightarrow \mathcal{A}d_{\mathfrak{X}}$$

De même il y a un foncteur cartésien

$$\mathcal{D} \rightarrow \mathcal{C} \times \mathcal{A}d_{\mathfrak{X}_\infty}$$

d'où un foncteur

$$\lim_{\xrightarrow{\mathcal{C}}} \mathcal{D} \longrightarrow \mathcal{A}d_{\mathfrak{X}_\infty}$$

compatible à l'identification précédente de $\lim_{\xrightarrow{i \in I}} \mathcal{A}d_{\mathfrak{X}_i} = \lim_{\xrightarrow{\mathcal{C}}} \mathcal{D}$.

Proposition 2.23. — *Le foncteur $\lim_{\xrightarrow{i \in I}} \mathcal{A}d_{\mathfrak{X}_i} = \lim_{\xrightarrow{\mathcal{C}}} \mathcal{D} \longrightarrow \mathcal{A}d_{\mathfrak{X}_\infty}$ induit une équivalence de catégories.*

Démonstration. La démonstration résulte facilement de la description concrète de la catégorie limite inductive, de la proposition 2.22 et du lemme qui suit. \square

Lemme 2.24. — *Soit $(Z_i)_{i \in I}$ un système projectif de schémas quasicompacts quasiséparés dont les morphismes de transition sont affines et $Z_\infty = \varprojlim_{i \in I} Z_i$. On a alors une équivalence de*

catégories $\lim_{\xrightarrow{i \in I}} |Z_i|_{qc} \xrightarrow{\sim} |Z_\infty|_{qc}$.

2.6.4. *La limite inductive des sites admissibles est le site admissible de la limite projective.* — Lorsque i varie les $\mathcal{A}d_{\mathfrak{X}_i}$ munis de leur site admissible forment un site fibré. De plus la famille de prétopologies sur les $\mathcal{A}d_{\mathfrak{X}_i}$ satisfont aux hypothèses de la section 8.3 de [13] et définissent donc d'après la proposition 8.3.6 de [13] une prétopologie sur $\lim_{\xrightarrow{i \in I}} \mathcal{A}d_{\mathfrak{X}_i}$.

Du point de vue du site fibré \mathcal{D} introduit dans la section précédente, lorsque $(i, \mathfrak{X}'_i \longrightarrow \mathfrak{X}) \in \text{Ob}(\mathcal{C})$ varie la prétopologie $|\mathfrak{X}'_i|_{qc}$ satisfait aux hypothèses de la section 8.3 de [13] et définit donc une prétopologie sur $\lim_{\xrightarrow{\mathcal{C}}} \mathcal{D}$. Via l'identification entre $\lim_{\xrightarrow{i \in I}} \mathcal{A}d_{\mathfrak{X}_i}$ et $\lim_{\xrightarrow{\mathcal{C}}} \mathcal{D}$ ces deux prétopologies coïncident.

Proposition 2.25. — *L'équivalence de catégories la proposition 2.23 induit une équivalence entre la limite inductive des sites admissibles $\mathcal{A}d_{\mathfrak{X}_i}$ et le site admissible $\mathcal{A}d_{\mathfrak{X}_\infty}$. Plus précisément les prétopologies définies précédemment sur ces deux catégories coïncident via cette équivalence de catégories.*

Démonstration. Il suffit d'utiliser la description concrète des recouvrements pour la prétopologie donnée par le lemme 2.8 couplé au lemme qui suit. \square

Lemme 2.26. — *Soit $(Z_i)_{i \in I}$ un système projectif de schémas quasicompacts quasiséparés dont les morphismes de transition sont affines et $Z_\infty = \varprojlim_{i \in I} Z_i$. Via l'équivalence de catégories du*

lemme 2.24 la prétopologie sur $\lim_{\xrightarrow{i \in I}} |Z_i|_{qc}$ limite inductive des prétopologies telle que définie dans la section 8.3 de l'exposé 6 de SGA 4 coïncide avec celle sur $|Z_\infty|_{qc}$.

Démonstration. Il suffit concrètement de montrer que si $i_0 \in I$, $(U_\alpha)_\alpha$ est une famille finie d'ouverts quasicompacts de Z_{i_0} et V un ouvert quasicompact de Z_{i_0} tels que si $p : Z_\infty \longrightarrow Z_{i_0}$ on ait

$$p^{-1}(V) = \bigcup_{\alpha} p^{-1}(U_\alpha)$$

il existe alors $i \geq i_0$ tel que si $\varphi_{ii_0} : Z_i \longrightarrow Z_{i_0}$ on ait

$$\varphi_{ii_0}^{-1}(V) = \bigcup_{\alpha} \varphi_{ii_0}^{-1}(U_\alpha)$$

Cela ne pose aucun problème. \square

2.6.5. *La limite projective des topos admissibles est le topos admissible de la limite projective.* —

Proposition 2.27. — *Il y a une équivalence de topos*

$$\lim_{\leftarrow I} (\mathfrak{X}_i^{rig})^\sim \simeq (\mathfrak{X}_\infty^{rig})^\sim$$

Démonstration. C'est une conséquence de la proposition 2.25. □

3. Le point de vue spectral sur la topologie admissible

3.1. Rappels sur les espaces spectraux. — On renvoie à [14] pour plus de détails.

Définition 3.1 ([14]). — Un espace topologique X est dit spectral s'il est quasicompact sobre et possède une base de sa topologie stable par intersections finies formée d'ouverts quasicompacts.

Une définition équivalente est sobre, possède une base d'ouverts quasicompacts et une intersection finie d'ouverts quasicompacts est quasicompacte.

Exemple 3.2. — Soit X un schéma quasicompact quasiséparé. Alors $|X|$ est spectral.

On renvoie à [14] pour les propriétés de base des espaces spectraux. On retiendra particulièrement les quelques faits suivants pour X spectral :

- Par définition un ensemble constructible dans X est un élément de l'algèbre de Boole engendrée par les ouverts quasicompacts (par exemple un fermé constructible est un fermé dont le complémentaire est quasicompact).
- Soit X_{cons} l'ensemble X muni de la topologie engendrée par les ouverts constructibles. Ses ouverts sont les ensembles ind-constructibles et ses fermés sont les ensembles pro-constructibles. Alors X_{cons} est compact !
- Par exemple si $f : X \rightarrow Y$ est une application continue quasicompacte entre espaces spectraux alors $f : X_{cons} \rightarrow Y_{cons}$ est continu et donc l'image d'un ensemble pro-constructible est proconstructible.
- Si Z est proconstructible alors $\overline{Z} = \bigcup_{z \in Z} \overline{\{z\}}$, les spécialisations d'éléments de Z , en particulier Z est fermé ssi il est stable par spécialisation.

3.2. Prétopologie quasicompacte sur les espaces spectraux et passage à la limite projective. — Soit X un espace topologique spectral. L'intersection d'un nombre fini d'ouverts quasicompacts de X est quasicompacte. On note alors X_{qc} la catégorie des ouverts quasicompacts de X et on la munit d'une prétopologie en posant

$$\forall U \in X_{qc} \quad \text{Cov}(U) = \{ \text{familles finies } (V_\alpha)_\alpha \text{ d'ouverts qc. tq. } U = \bigcup_\alpha V_\alpha \}$$

On note encore X_{qc} pour le site associé.

Le foncteur pleinement fidèle

$$X_{qc} \longrightarrow X$$

induit d'après le théorème 4.1 de l'exposé III de SGA4 une équivalence de topos

$$(X_{qc})^\sim \xrightarrow{\sim} X^\sim$$

Proposition 3.3. — *Soit (I, \leq) un ensemble ordonné cofiltrant et $(X_i)_{i \in I}$ un système projectif d'espaces spectraux dont les morphismes de transition sont quasicompacts. Alors $X_\infty = \lim_{\leftarrow i \in I} X_i$*

est un espace spectral. De plus il y a une équivalence de sites

$$\lim_{\leftarrow i \in I} (X_i)_{qc} \xrightarrow{\sim} (X_\infty)_{qc}$$

(plus précisément les prétopologies des ouverts quasicompacts se correspondent au sens de la section 8.3 de l'exposé 6 de SGA 4) et de topos

$$X_\infty^\sim \xrightarrow{\sim} \lim_{\leftarrow i \in I} X_i^\sim$$

Démonstration. Le fait que X_∞ soit spectral est démontré dans [14].

Le résultat sur les prétopologies se montre de la façon suivante. Soit pour tout $i \in I$ $p_i : X_\infty \rightarrow X_i$ et $\forall i \geq j$ $\varphi_{ij} : X_i \rightarrow X_j$. Par définition une base d'ouvert quasicompacts de X_∞ est formée des intersections finies d'ensembles de la forme $p_i^{-1}(U_i)$ où U_i est un ouvert quasicompact de X_∞ . L'ensemble ordonné (I, \leq) étant cofiltrant une base stable par intersection et union finie est donc formée des $p_i^{-1}(U_i)$ avec U_i quasicompact dans X_i . De cela on déduit que tout ouvert quasicompact de X_∞ provient par image réciproque d'un ouvert quasicompact en niveau fini. Donc le foncteur

$$\lim_{\substack{\longrightarrow \\ i \in I}} (X_i)_{qc} \rightarrow (X_\infty)_{qc}$$

est essentiellement surjectif.

Montrons la pleine fidélité. Si $U, V \subset X_i$ sont deux ouverts quasicompacts il s'agit de voir que

$$p_i^{-1}(U) \subset p_j^{-1}(V) \implies \exists j \geq i \varphi_{ji}^{-1}(U) \subset \varphi_{ji}^{-1}(V)$$

Si $p_i^{-1}(U) \subset p_j^{-1}(V)$ alors

$$\bigcap_{j \geq i} \varphi_{ji}(\varphi_{ji}^{-1}(U)) \subset V$$

Notons $\forall j \geq i$ $K_j = \varphi_{ji}(\varphi_{ji}^{-1}(U))$. D'après les rappels faits sur les espaces spectraux les K_j sont compacts pour la topologie constructible sur X_i et V étant quasicompact il est ouvert pour la topologie constructible. Donc $\bigcap_{j \geq i} K_j \subset V$ et le fait que (I, \leq) soit cofiltrant implique qu'il existe $j \geq i$ tel que $K_j \subset V$. Cela implique $\varphi_{ji}^{-1}(U) \subset \varphi_{ji}^{-1}(V)$. D'où la pleine fidélité.

Le fait que les prétopologies limite inductive et celle de $(X_\infty)_{qc}$ coïncident s'en déduit aisément.

Pour l'équivalence de sites on utilise une fois de plus les résultats de la section 8.3 de [13] couplés à quelques manipulations élémentaires de topologies. L'équivalence de topos s'en déduit alors toujours d'après les résultats de l'exposé 6 de SGA 4. \square

3.3. Application au topos admissible. —

Définition 3.4. — Soit \mathfrak{X} un schémas formel π -adique sans π -torsion. On note

$$|\mathfrak{X}^{rig}| = \lim_{\substack{\longleftarrow \\ (\mathfrak{X}' \rightarrow \mathfrak{X}) \in \mathcal{E}_{c\mathfrak{X}}}} |\mathfrak{X}'|$$

comme espace topologique.

Le corollaire suivant résulte de la proposition précédente.

Corollaire 3.5. — L'espace topologique $|\mathfrak{X}^{rig}|$ est spectral. Il y a une équivalence de topos

$$(\mathfrak{X}^{rig})^\sim \simeq |\mathfrak{X}^{rig}|^\sim$$

entre le topos admissible et la catégorie des faisceaux sur l'espace spectral $|\mathfrak{X}^{rig}|$.

Ainsi pour un espace rigide \mathfrak{X}^{rig} l'espace topologique $|\mathfrak{X}^{rig}|$ est l'espace des points du topos admissible associé. L'espace topologique $|\mathfrak{X}^{rig}|$ et le topos $(\mathfrak{X}^{rig})^\sim$ se déterminent mutuellement et la catégorie des ouverts admissibles quasicompacts de \mathfrak{X}^{rig} est équivalente à celle des ouverts quasicompacts de $|\mathfrak{X}^{rig}|$.

Définition 3.6. — On note $sp : |\mathfrak{X}^{rig}| \rightarrow |\mathfrak{X}|$ l'application continue naturel que l'on appellera application de spécialisation. D'après le lemme 1.31 elle est surjective.

3.4. Description de l'espace $|\mathfrak{X}^{rig}|$ comme espace de Zariski-Riemann : le point de vue de Huber et Fujiwara. —

3.4.1. *Rappels sur les anneaux I -valuatifs d'après Fujiwara.* — Soit A un anneau et I un idéal de A . Dans la section 3.1 de [12] Fujiwara dit que A est I -valuatif si

- $I = (t)$ est principal où t est régulier
 - Tout idéal de type fini dans A contenu une puissance de I est principal (donc inversible)
- Le résultat principal de la section 3.1 de [12] peut alors s'énoncer ainsi.

Proposition 3.7 ([12], section 3). — *Soit A local I -valuatif avec $I \subset \text{Rad}A$, $I = (t)$. Alors*

- $\mathfrak{P} = \bigcap_{n \geq 0} I^n$ est un idéal premier
- $A[\frac{1}{t}]$ est un anneau local d'idéal maximal $\mathfrak{P}[\frac{1}{t}]$
- A/\mathfrak{P} est un anneau de valuation de corps des fractions $A/\mathfrak{P}[\frac{1}{t}]$, le corps résiduel de l'anneau local $A[\frac{1}{t}]$

3.4.2. *Application au fibres du faisceau structural d'un espace rigide.* — Soit \mathfrak{X} un schéma formel π -adique sans π -torsion. On note $\mathcal{O}_{\mathfrak{X}^{rig}}^+ \subset \mathcal{O}_{\mathfrak{X}^{rig}}$ les faisceaux sur $|\mathfrak{X}^{rig}|$ définis dans l'exemple 2.14.

Corollaire 3.8. — *Soit $x \in |\mathfrak{X}^{rig}|$ alors le séparé π -adique de $\mathcal{O}_{\mathfrak{X}^{rig},x}^+$, $V = \mathcal{O}_{\mathfrak{X}^{rig},x}^+ / \bigcap_{n \geq 0} \pi^n \mathcal{O}_{\mathfrak{X}^{rig},x}^+$, est un anneau de valuation sans π -torsion, $\mathcal{O}_{\mathfrak{X}^{rig},x}$ est un anneau local d'idéal maximal $(\bigcap_{n \geq 0} \pi^n \mathcal{O}_{\mathfrak{X}^{rig},x}^+)[\frac{1}{\pi}]$ et de corps résiduel $V[\frac{1}{\pi}]$.*

Démonstration. Il suffit de vérifier les hypothèses de la proposition précédente. Le point $x \in |\mathfrak{X}^{rig}|$ correspond à une collection de points $(x_{\mathfrak{X}' \rightarrow \mathfrak{X}})_{(\mathfrak{X}' \rightarrow \mathfrak{X}) \in \mathcal{E}c_{\mathfrak{X}}}$, $x_{\mathfrak{X}' \rightarrow \mathfrak{X}} \in \mathfrak{X}'$ telle que si $h : \mathfrak{X}'' \rightarrow \mathfrak{X}'$ est un morphisme entre éclatements alors $h(x_{\mathfrak{X}'' \rightarrow \mathfrak{X}}) = x_{\mathfrak{X}' \rightarrow \mathfrak{X}}$. Alors

$$\mathcal{O}_{\mathfrak{X}^{rig},x}^+ = \lim_{\substack{\longrightarrow \\ (\mathfrak{X}' \rightarrow \mathfrak{X}) \in \mathcal{E}c_{\mathfrak{X}}}} \mathcal{O}_{\mathfrak{X}',x_{\mathfrak{X}' \rightarrow \mathfrak{X}}} \quad \mathcal{O}_{\mathfrak{X}^{rig},x} = \mathcal{O}_{\mathfrak{X}^{rig},x}^+[\frac{1}{\pi}]$$

Il est clair que π est régulier dans $\mathcal{O}_{\mathfrak{X}^{rig},x}^+$. Si J est un idéal de type fini de $\mathcal{O}_{\mathfrak{X}^{rig},x}^+$ contenant une puissance de π il provient par image réciproque d'un idéal admissible J' de $\mathcal{O}_{\mathcal{U}}$ où $(\mathcal{U} \subset \mathfrak{X}' \rightarrow \mathfrak{X})$ est un ouvert admissible quasicompact. L'éclatement formel admissible de l'idéal J' de \mathcal{U} s'étend en un éclatement formel admissible de \mathfrak{X}' et donc de \mathfrak{X} . On en déduit donc que J est principal. \square

Définition 3.9. — Soit $x \in |\mathfrak{X}^{rig}|$. On note $k(x)$ le corps résiduel de $\mathcal{O}_{\mathfrak{X}^{rig},x}$, un corps valué, $k(x)^0 = \mathcal{O}_{\mathfrak{X}^{rig},x}^+ / \bigcap_{n \geq 0} \pi^n \mathcal{O}_{\mathfrak{X}^{rig},x}^+$ son anneau de valuation et $\widetilde{k(x)}$ le corps résiduel de $k(x)^0$.

3.4.3. *Anneaux de valuation rigides.* — On présente ici les anneaux de valuation qui vont nous intéresser.

Soit V un anneau de valuation π -adique sans π -torsion. En particulier on suppose que la topologie de la valuation est définie par la topologie π -adique. Cela signifie que si $v : V \rightarrow \Gamma \cup \{+\infty\}$ est la valuation sur V alors $v(\pi) \neq \infty$ et $v(\pi^n) \xrightarrow{n \rightarrow +\infty} \infty$. Le corps des fractions d'un tel anneau de valuation est $V[\frac{1}{\pi}]$. On remarquera qu'un morphisme entre deux tels anneaux de valuation est injectif.

Définition 3.10. — On appellera de tels anneaux de valuation des anneaux de valuation rigides.

On supposera toujours que les valeurs de v engendrent Γ . Pour un tel anneau de valuation (V, v) on a une bijection entre

- Les idéaux premiers de V non-nuls
- Les idéaux premiers de $V/\pi V$
- Les sous-groupes convexes de Γ
- Les anneaux de valuation de $V[\frac{1}{\pi}]$ contenant V

À un idéal premier $\mathfrak{P} \subset V$ on associe le sous-groupe convexe $H = v(V \setminus \mathfrak{P}) \cup -v(V \setminus \mathfrak{P}) = v(V_{\mathfrak{P}}^{\times})$ et l'anneau de valuation $V_{\mathfrak{P}}$. Le sous-groupe H étant convexe Γ/H est strictement ordonné et c'est

le groupe des valeurs de la valuation de $V_{\mathfrak{P}}$. On a le diagramme

$$\begin{array}{ccc} V & \xrightarrow{v} & \Gamma \cup \{\infty\} \\ \downarrow & & \downarrow \\ V_{\mathfrak{P}} & \xrightarrow{v'} & \Gamma/H \cup \{\infty\} \end{array}$$

La valuation $v' : V[\frac{1}{\pi}] \rightarrow \Gamma/H \cup \{\infty\}$ est une g n r sation de la valuation v . Deux telles valuations d finissent la m me topologie sur $V[\frac{1}{\pi}]$.

Les sous-groupes convexes de Γ sont strictement ordonn s, comme le sont les id aux premiers de V et il existe un plus petit id al premier \mathfrak{P} non-nul dans V , i.e. \mathfrak{P} est de hauteur 1. L'anneau de valuation associ  $V_{\mathfrak{P}}$ est alors de hauteur 1 c'est   dire que sa valuation est d finie par une valuation   valeurs dans \mathbb{R} muni de l'ordre usuel qui est une g n r sation maximale de la valuation v . Ainsi la topologie de $V[\frac{1}{\pi}]$ est d finie par une valuation   valeurs dans \mathbb{R} .

Dans l'autre sens,  tant donn  (V, v) comme pr c demment les anneaux de valuation de $V[\frac{1}{\pi}]$ contenus dans V correspondent aux anneaux de valuation du corps r siduel de V , V/\mathfrak{m}_V .   $V' \subset V$ on associe l'image de V' dans V/\mathfrak{m}_V . Ainsi avec les notations pr c dentes, le corps r siduel de $V_{\mathfrak{P}}$ est $\text{Frac}(V/\mathfrak{P})$ et $V/\mathfrak{P}V \subset \text{Frac}(V/\mathfrak{P})$ correspond au sous-anneau de valuation V de $V_{\mathfrak{P}}$.

3.4.4. Points rigides. — Soit V un anneau de valuation rigide. Tout id al de type fini dans V est principal, donc d'apr s la propri t  universelle des  clatements tout point $x : \text{Spf}(V) \rightarrow \mathfrak{X}$ s' tend de mani re unique en un syst me compatible de points

$$\begin{array}{ccc} & & \mathfrak{X}' \\ & \nearrow & \downarrow \\ \text{Spf}(V) & \rightarrow & \mathfrak{X} \end{array}$$

pour $(\mathfrak{X}' \rightarrow \mathfrak{X}) \in \mathcal{E}_{\mathfrak{X}}$. L'image du point ferm  de $\text{Spf}(V)$ d finit donc un  l ment de $|\mathfrak{X}^{rig}|$.

R ciproquement  tant donn  $x \in \mathfrak{X}^{rig}$ d'apr s la section pr c dente fournit un morphisme $\text{Spf}(\widehat{k(x)^0}) \rightarrow \mathfrak{X}$ qui redonne le point x gr ce   la construction pr c dente.

On obtient ainsi la description

Proposition 3.11. — *Il y a une bijection entre $|\mathfrak{X}^{rig}|$ et les classes de points $\text{Spf}(V) \rightarrow \mathfrak{X}$ o  V est un anneau de valuation rigide et deux points $\text{Spf}(V_1) \rightarrow \mathfrak{X}$, $\text{Spf}(V_2) \rightarrow \mathfrak{X}$ sont  quivalents si il existe un diagramme*

$$\begin{array}{ccc} \text{Spf}(V_1) & & \\ & \searrow & \\ & \text{Spf}(V_3) \rightarrow \mathfrak{X} & \\ & \nearrow & \\ \text{Spf}(V_2) & & \end{array}$$

o  les morphismes entres spectres formels d'anneaux de valuation envoient le point ferm  sur le point ferm  (i.e. il s'agit de la relation de domination des anneaux de valuation).

En particulier

Corollaire 3.12. — *Soit $\mathfrak{X} = \text{Spf}(A)$. Alors $|\mathfrak{X}^{rig}|$ est l'ensemble des classes de valuations $v : A \rightarrow \Gamma \cup \{\infty\}$ telles que*

- $v(A)$ engendre le groupe des valeurs de la valuation
- $v(\pi) \neq \infty$
- $v(\pi^n) \xrightarrow{n \rightarrow +\infty} \infty$ i.e. $\forall \gamma \in \Gamma \exists n \in \mathbb{N} \forall m \geq n \ v(\pi^m) \geq \gamma$

et deux valuations (v_1, Γ_1) et (v_2, Γ_2) sont  quivalentes si il existe un isomorphisme de groupes ordonn s $\alpha : \Gamma_1 \xrightarrow{\sim} \Gamma_2$ tel que $\alpha \circ v_1 = v_2$.

D finition 3.13. — Pour A comme pr c demment on notera $\text{Spa}(A)$ l'ensemble de valuations pr c dentes. On munit $\text{Spa}(A)$ de la topologie induite par la topologie $|\text{Spf}(A)^{rig}|$.

Avec les notations de Huber, lorsque A est topologiquement de type fini, c'est ce que Huber note $\mathrm{Spa}(A^\triangleright, A^+)$ où $A^\triangleright = A[\frac{1}{\pi}]$ et A^+ est la fermeture intégrale de A dans $A[\frac{1}{\pi}]$.

Enfin notons le lemme suivant qui donne une définition plus pratique de $|\mathfrak{X}^{rig}|$.

Lemme 3.14. — *Il y a une bijection entre $|\mathfrak{X}^{rig}|$ est les classes d'équivalences de points $\mathrm{Spf}(V) \rightarrow \mathfrak{X}$ où V est un anneau de valuation rigide et deux points $\mathrm{Spf}(V_1) \rightarrow \mathfrak{X}$, $\mathrm{Spf}(V_2) \rightarrow \mathfrak{X}$ sont équivalents ssi il existe un diagramme*

$$\begin{array}{ccc} & \mathrm{Spf}(V_1) & \\ & \nearrow & \searrow \\ \mathrm{Spf}(V') & & \mathfrak{X} \\ & \searrow & \nearrow \\ & \mathrm{Spf}(V_2) & \end{array}$$

où V' est un anneau de valuation rigide tel que les morphismes $\mathrm{Spf}(V') \rightarrow \mathrm{Spf}(V_1)$, $\mathrm{Spf}(V') \rightarrow \mathrm{Spf}(V_2)$ envoient le point fermé sur le point fermé.

Démonstration. La condition est évidemment suffisante. Réciproquement, avec les notations de la proposition 3.11 il suffit de voir qu'il existe un élément de $|\mathrm{Spf}(V_1) \times_{\mathrm{Spf}(V_3)} \mathrm{Spf}(V_2)|^{rig}$ s'envoyant sur les points fermés dans $|\mathrm{Spec}(V_1/\pi V_1)| \times_{|\mathrm{Spec}(V_3/\pi V_3)|} |\mathrm{Spec}(V_2)|$. Mais cela résulte de la surjectivité de $|\mathrm{Spec}(V_1/\pi V_1) \times_{\mathrm{Spec}(V_2/\pi V_2)} \mathrm{Spec}(V_3/\pi V_3)| \rightarrow |\mathrm{Spec}(V_1/\pi V_1)| \times_{|\mathrm{Spec}(V_3/\pi V_3)|} |\mathrm{Spec}(V_2)|$ et de la surjectivité du morphisme de spécialisation (lemme 3.6) $sp : |\mathrm{Spf}(V_1) \times_{\mathrm{Spf}(V_3)} \mathrm{Spf}(V_2)|^{rig} \rightarrow |\mathrm{Spf}(V_1) \times_{\mathrm{Spf}(V_3)} \mathrm{Spf}(V_2)|$. \square

3.4.5. *Topologie de l'espace de Zariski-Riemann.* —

Définition 3.15. — Soit A un anneau π -adique sans π -torsion. Soit $g, f_1, \dots, f_n \in A$ une famille finie telle que l'idéal engendré dans A contienne une puissance de π . Soit $X = \mathrm{Spa}(A)$. On note

$$X \left\langle \frac{f_1, \dots, f_n}{g} \right\rangle = \{v \in \mathrm{Spa}(A) \mid \forall i v(f_i) \geq v(g)\}$$

Ainsi si l'idéal (f_1, \dots, f_n) de A contient une puissance de π on a un recouvrement

$$\mathrm{Spa}(A) = \bigcup_{1 \leq i \leq n} \mathrm{Spa}(A) \left\langle \frac{f_1, \dots, \hat{f}_i, \dots, f_n}{f_i} \right\rangle$$

Proposition 3.16. — *Soit $X = \mathrm{Spa}(A)$. Alors lorsque (f_0, f_1, \dots, f_n) varie parmi les familles finies engendrant un idéal contenant une puissance de π les ensembles $X \left\langle \frac{f_1, \dots, f_n}{f_0} \right\rangle$ forment une base d'ouverts quasicompacts stable par intersections finies de la topologie de $\mathrm{Spa}(A)$.*

Démonstration. Soit $\mathfrak{X} = \mathrm{Spf}(A)$. Une base d'ouverts quasicompacts de $|\mathfrak{X}^{rig}|$ est donnée par les $|\mathcal{U}^{rig}| \subset |\mathfrak{X}^{rig}|$ où $(\mathcal{U} \subset \mathfrak{X} \rightarrow \mathfrak{X})$ est un ouvert admissible de \mathfrak{X} .

Soit I un idéal de type fini dans A contenant une puissance de π . Soit $X = \mathrm{Spec}(A)$ et $X' = \mathrm{Proj}(\bigoplus_{k \geq 0} I^k) \rightarrow X$ l'éclatement de l'idéal I dans X . L'éclatement formel admissible associé est $\mathfrak{X}' = (X')^\wedge$, le complété π -adique de X' . Une base d'ouverts quasicompacts de X' est donnée par

$$\forall n \geq 0 \forall f \in I^n \{x \in X' \mid f \text{ engendre l'idéal inversible } \mathcal{O}_{X'} \cdot \tilde{I}^n \text{ en } x\}$$

lorsque n et f varient. Les ouverts de \mathfrak{X}' sont les traces d'ouverts de X' sur la fibre spéciale $X' \otimes \mathcal{O}_K/\pi \mathcal{O}_K = \mathfrak{X}' \otimes \mathcal{O}_K/\pi \mathcal{O}_K$. Pour V un anneau de valuation rigide il y a une bijection entre les points de \mathfrak{X}^{rig} , $\mathrm{Spf}(V) \rightarrow \mathfrak{X}'$, et les morphismes $\mathrm{Spec}(V) \rightarrow X'$. Si $U \subset X'$ est un ouvert et $\mathcal{U} \subset \mathfrak{X}'$ est l'ouvert associé de la fibre spéciale un morphisme $\mathrm{Spf}(V) \rightarrow \mathfrak{X}'$ se factorise par \mathcal{U} ssi le morphisme associé $\mathrm{Spec}(V) \rightarrow X'$ se factorise par U .

Maintenant si $n \geq 0$, $I^n = (f_1, \dots, f_n)$ et $g \in I^n$ alors un morphisme $\alpha : A \rightarrow V$ et donc $\mathrm{Spec}(V) \rightarrow X' \rightarrow X = \mathrm{Spec}(A)$ se factorise par l'ouvert où g engendre $\mathcal{O}_{X'} \cdot \tilde{I}^n$ ssi $(\alpha(g))$ engendre $(\alpha(f_1), \dots, \alpha(f_n))$ dans V c'est à dire ssi $\forall i v(\alpha(f_i)) \geq v(\alpha(g))$. \square

Lorsque A est topologiquement de type fini sur $\mathrm{Spf}(\mathcal{O}_K)$ on retrouve donc bien la topologie de l'espace valuatif au sens de Huber ([18] et [16]).

Voici le lemme qui permet de recoller la description précédente dans le cas affine.

Lemme 3.17. — *Soit \mathfrak{X} un schéma formel π -adique sans π -torsion quasicompact et $\mathfrak{X} = \bigcup_{i \in I} \mathcal{U}_i$ un recouvrement fini de \mathfrak{X} par des ouverts quaiscompacts. Alors l'espace topologique $|\mathfrak{X}^{rig}|$ est obtenu par recollement des $|\mathcal{U}_i^{rig}|$, $i \in I$, le long des ouverts $|\mathcal{U}_i \cap \mathcal{U}_j|^{rig}$, $i, j \in I$.*

Démonstration. C'est une conséquence du lemme 1.30. □

3.5. Ouverts surconvergens et espace analytique de Berkovich. —

3.5.1. Générisations dans l'espace de Zariski-Riemann. — On vérifie avec les notations de la section 3.2 que si $X_\infty = \varprojlim_{i \in I} X_i$ est une limite projective d'espaces spectraux à morphismes de transition quasicompacts alors

$$\forall x = (x_i)_{i \in I}, y = (y_i)_{i \in I} \in X_\infty \quad x \succ y \iff \forall i \quad x_i \succ y_i$$

Soit \mathfrak{X} un schéma formel π -adique sans π -torsion et $(x_{\mathfrak{X}'})_{\mathfrak{X}' \rightarrow \mathfrak{X}}, (y_{\mathfrak{X}'})_{\mathfrak{X}' \rightarrow \mathfrak{X}} \in |\mathfrak{X}^{rig}|$. Alors $x \succ y \iff \forall (\mathfrak{X}' \rightarrow \mathfrak{X}) \in \mathcal{E}_{\mathfrak{X}} \quad x_{\mathfrak{X}'} \succ y_{\mathfrak{X}'}$ dans $|\mathfrak{X}'|$ (et il suffit de le vérifier dans un ensemble cofinal d'éclatements puisque les morphismes de transition entre ceux-ci sont propres).

Lemme 3.18. — *Soit $\mathrm{Spf}(V) \xrightarrow{x} \mathfrak{X}$ un point rigide. Les générisations de $[x] \in |\mathfrak{X}^{rig}|$ sont les points $[x_{\mathfrak{P}}]$ où $x_{\mathfrak{P}} : \mathrm{Spf}(\widehat{V_{\mathfrak{P}}}) \rightarrow \mathrm{Spf}(V) \rightarrow \mathfrak{X}$ (complétion π -adique de $V_{\mathfrak{P}}$) avec \mathfrak{P} un idéal premier non-nul dans V .*

Démonstration. Si $y \succ [x]$ où $y \in |\mathfrak{X}^{rig}|$ alors d'après les considérations précédentes $\forall k \geq 1$ $\mathcal{O}_{\mathfrak{X}^{rig}, y}^+ / (\pi^k)$ est obtenu comme une localisation de $\mathcal{O}_{\mathfrak{X}^{rig}, [x]}^+ / (\pi^k)$ puisque c'est le cas en niveau fini pour chaque éclatement de \mathfrak{X} . □

Corollaire 3.19. — *Si $x \in |\mathfrak{X}^{rig}|$ l'ensemble des générisations de x est totalement ordonné et possède un unique élément maximal associé à une valuation de rang 1. Si $\mathfrak{X} = \mathrm{Spf}(A)$ et x correspond à la valuation $v : A \rightarrow \Gamma \cup \{+\infty\}$ alors l'ensemble des générisations de x est en bijection avec l'ensemble totalement ordonné des sous-groupes convexes propres de Γ . À $H \subset \Gamma$ convexe est associé $v/H : A \xrightarrow{v} \Gamma \cup \{+\infty\} \rightarrow \Gamma/H \cup \{+\infty\}$.*

Dans le langage de Huber “toutes les générisations dans $\mathrm{Spa}(A)$ sont des générisations secondaires” ([18] et [16]).

3.5.2. L'espace analytique de Berkovich associé. —

Définition 3.20. — *Soit \mathfrak{X} π -adique sans π -torsion quasicompact. On note $|\mathfrak{X}^{an}|$ le plus grand quotient séparé de $|\mathfrak{X}^{rig}|$ que l'on muni de la topologie quotient.*

L'ensemble $|\mathfrak{X}^{an}|$ s'identifie à l'ensemble des générisations maximales de $|\mathfrak{X}^{rig}|$. Ses ouverts correspondent aux ouverts de $|\mathfrak{X}^{rig}|$ stables par spécialisation (les ouverts surconvergens). Les points de $|\mathfrak{X}^{an}|$ sont donc donnés par les points rigides $\mathrm{Spf}(\mathcal{O}_L) \rightarrow \mathfrak{X}$ où $L|K$ est une extension valuée complète pour une valuation $v : L \rightarrow \mathbb{R} \cup \{+\infty\}$.

Comme dans les lemmes 8.1.5 et 8.1.8. de [17] on peut vérifier que l'ensemble des ouverts surconvergens de $|\mathfrak{X}^{rig}|$ sont les intérieurs des ensembles fermés constructibles de $|\mathfrak{X}^{rig}|$. De plus lorsque $\mathfrak{X} = \mathrm{Spf}(A)$ la topologie sur $|\mathfrak{X}^{an}|$ est celle engendrée par les ouverts du type

$$\{x \in |\mathfrak{X}^{an}| \mid |f(x)| < |g(x)|\} \text{ où } f, g \in A$$

Donc, $|\mathfrak{X}^{an}|$ s'identifie à l'espace topologie de Berkovich $\mathcal{M}(A[\frac{1}{\pi}])$ associé à l'algèbre de Banach $A[\frac{1}{\pi}]$ (cf. [3]).

4. Étude des morphismes finis localement libres rig-étales entre schémas formels

4.1. Morphismes finis localement libres. — Soit $f : \mathfrak{X} \rightarrow \mathfrak{Y}$ un morphisme entre schémas formels π -adiques sans π -torsion.

Définition 4.1. — Le morphisme f est fini localement libre si le morphisme induit entre schémas $\mathfrak{X} \otimes \mathcal{O}_K / \pi \mathcal{O}_K \rightarrow \mathfrak{Y} \otimes \mathcal{O}_K / \pi \mathcal{O}_K$ l'est.

Lemme 4.2. — *Sont équivalents*

- f est fini localement libre
- f est fini topologiquement de présentation finie et topologiquement plat
- Pour tout entier $k \geq 1$ le morphisme induit $\mathfrak{X} \otimes \mathcal{O}_K / \pi^k \mathcal{O}_K \rightarrow \mathfrak{Y} \otimes \mathcal{O}_K / \pi^k \mathcal{O}_K$ est fini localement libre

Démonstration. Appliquer le lemme 1.15. □

Lemme 4.3. — *Soit A un anneau π -adique sans π -torsion, M un A -module de type fini π -adiquement séparé (i.e. M est π -adique et $M/\pi M$ est de type fini) tel que $\forall k$ $M/\pi^k M$ soit un $A/\pi^k A$ -module projectif. Alors M est un A -module projectif. En particulier M est de présentation finie.*

Démonstration. Soit $u : A^n \rightarrow M$ une surjection. On cherche une section $\epsilon : M \rightarrow A^n$ telle que $u \circ \epsilon = Id$. Pour tout entier $k \geq 1$ notons X_k l'ensemble des section de $u_k = u \bmod \pi^k$, $u_k : (A/\pi^k A)^n \rightarrow M/\pi^k M$,

$$X_k = \{\epsilon_k \in \text{Hom}_{A/\pi^k A}(M/\pi^k M, (A/\pi^k A)^n) \mid u_k \circ \epsilon_k = Id\}$$

Par hypothèse $\forall k$ $X_k \neq \emptyset$. De plus X_k est un $\text{Hom}_{A/\pi^k A}(M/\pi^k M, \ker u_k)$ -torseur.

Étant donné que dans la suite exacte

$$0 \rightarrow \ker u_{k+1} \rightarrow (A/\pi^{k+1} A)^n \xrightarrow{u_{k+1}} M/\pi^{k+1} M \rightarrow 0$$

les modules sont projectifs on obtient par application de $-\otimes_{A/\pi^{k+1} A} A/\pi^k A$ l'égalité $\ker u_k = \ker u_{k+1}/\pi^k \ker u_{k+1}$. De cela on déduit que $\forall k \geq 1$ l'application

$$\text{Hom}_{A/\pi^{k+1} A}(M/\pi^{k+1} M, \ker u_{k+1}) \rightarrow \text{Hom}_{A/\pi^k A}(M/\pi^k M, \ker u_k)$$

est surjective. En effet, si $v \in \text{Hom}_{A/\pi^k A}(M/\pi^k M, \ker u_k)$ l'existence de v' dans le diagramme qui suit

$$\begin{array}{ccc} M/\pi^{k+1} M & \xrightarrow{v'} & \ker u_{k+1} \\ \downarrow & & \downarrow \\ M/\pi^k M & \xrightarrow{v} & \ker u_k \end{array}$$

résulte de la projectivité de $M/\pi^{k+1} M$ comme $A/\pi^{k+1} A$ -module.

Donc $\varprojlim_k X_k \neq \emptyset$. □

On montre également aisément le lemme qui suit.

Lemme 4.4. — *Le lemme précédent reste valable en remplaçant module projectif par module libre.*

Corollaire 4.5. — *Les assertions suivantes sont équivalentes pour $f : \mathfrak{X} \rightarrow \mathfrak{Y}$ comme précédemment.*

- Le morphisme f est fini localement libre
- f est affine et pour tout ouvert $\text{Spf}(A) \subset \mathfrak{Y}$ si $f^{-1}(\text{Spf}(A)) = \text{Spf}(B)$ alors B est un A -module projectif de type fini
- f est affine et il existe un recouvrement affine $(\mathcal{U}_i)_i$ de \mathfrak{Y} , $\mathcal{U}_i = \text{Spf}(A_i)$ tel que si $f^{-1}(\mathcal{U}_i) = \text{Spf}(B_i)$ alors B_i est un A_i -module libre

Corollaire 4.6. — Soit $f : \mathfrak{X} \rightarrow \mathfrak{Y}$ un morphisme fini localement libre entre schémas formels π -adiques sans π -torsion et un morphisme $\mathfrak{Y}' \rightarrow \mathfrak{Y}$ où \mathfrak{Y}' est également π -adiques sans π -torsion. Alors le changement de base $\mathfrak{X} \times_{\mathfrak{Y}} \mathfrak{Y}'$ est sans π -torsion et est fini localement libre au dessus de \mathfrak{Y}' . Par exemple si $\mathfrak{Y}' \rightarrow \mathfrak{Y}$ est un éclatement formel admissible le transformé strict de $\mathfrak{X} \rightarrow \mathfrak{Y}$ est $\mathfrak{X} \times_{\mathfrak{Y}} \mathfrak{Y}'$.

Démonstration. Il suffit de remarquer que si A est π -adique sans π -torsion et B une A -algèbre projective de type fini alors pour tout changement de base $A \rightarrow A'$ avec A' π -adique sans π -torsion

$$B \otimes_A A' = B \widehat{\otimes}_A A'$$

En effet, B étant un A -module de type fini $B \otimes_A A'$ est π -adiquement complet, et étant projectif il est séparé (il se plonge dans un $(A')^r$ qui est séparé). \square

4.2. Morphismes finis localement libres rig-étales. —

4.2.1. *Algèbres finies de présentation finie rigidifiées : rappels.* — On rappelle ici une notion introduite dans le chapitre III.2 de [9] auquel on renvoie pour plus de détails.

Soit A un anneau et M un A -module de présentation finie muni d'une présentation

$$A^p \xrightarrow{L} A^q \rightarrow M \rightarrow 0$$

où L est une matrice $q \times p$. Soit le foncteur sur la catégorie des A -algèbres qui à la A -algèbre B associe l'ensemble des structures de B -algèbres rigidifiées sur $M \otimes_A B$ relativement à la présentation L au sens de [9] (section III.2). Rappelons que toute structure d'algèbre de sur $M \otimes_A B$ possède une telle rigidification. Ce foncteur est représentable par un A -schémas affine de présentation finie $W \rightarrow \text{Spec}(A)$. Soit $V \subset W$ l'ouvert où l'algèbre universelle est étale au dessus de W . On vérifie également comme dans [9] que V est lisse au dessus de $\text{Spec}(A)$.

4.2.2. *Définition et propriété des morphismes finis localement libres rig-étales.* —

Lemme 4.7. — Soit A un anneaux π -adique sans π -torsion et $X \rightarrow \text{Spec}(A)$ un A -schéma affine. Soit $U \subset X$ un ouvert et ϵ une section

$$\begin{array}{c} X \\ \downarrow \epsilon \\ \text{Spec}(A) \end{array}$$

Supposons qu'il existe un recouvrement formel $\text{Spf}(A) = \bigcup_{i \in I} \text{Spf}(A \langle \frac{1}{f_i} \rangle)$ tel que $\forall i$ la section ϵ sur $\text{Spec}(A \langle \frac{1}{f_i} \rangle)$ se factorise par U en dehors de $V(\pi)$

$$\begin{array}{ccccccc} & & & & & U & \xrightarrow{\quad} & X \\ & & & & & & & \downarrow \epsilon \\ & & & & & & & \text{Spec}(A) \\ & & \nearrow & & & & & \\ \text{Spec}(A \langle \frac{1}{f_i} \rangle [\frac{1}{\pi}]) & \xrightarrow{\quad} & \text{Spec}(A \langle \frac{1}{f_i} \rangle) & \xrightarrow{\quad} & \text{Spec}(A[\frac{1}{f_i}]) & \xrightarrow{\quad} & \text{Spec}(A) \end{array}$$

Alors ϵ se factorise à travers U en dehors de $V(\pi)$.

Démonstration. Soit $X = \text{Spec}(D)$, $I \subset D$ un idéal tel que $U = V(I)^c$ et $J \subset D$ l'idéal définissant la section ϵ , $J = \ker(\epsilon^* : D \rightarrow A)$.

L'assertion ϵ se factorise par U hors de $V(\pi)$ est équivalente à

$$\exists k \in \mathbb{N} \quad \pi^k \in I + J$$

L'anneau étant π -adique elle est encore équivalente à ce que

$$\exists k \in \mathbb{N} \quad \pi^k \in I + J + \pi^{k+1}D/\pi^{k+1}D \subset D/\pi^{k+1}D$$

Soit $\forall k \in \mathbb{N} \quad \Delta_k$ l'idéal $I + J + \pi^{k+1}D/\pi^{k+1}D$ et $\tilde{\Delta}_k$ le faisceau d'idéaux sur $\text{Spec}(D/\pi^{k+1}D)$.

Par hypothèse

$$\forall i \in I \exists k \in \mathbb{N} \quad (\pi^k) \subset \tilde{\Delta}_{k|D(f_i)} \text{ où } D(f_i) \subset \text{Spec}(D/\pi^{k+1}D)$$

Donc, $\exists k \forall i (\pi^k) \subset \widetilde{\Delta}_k|_{D(f_i)}$ ce qui implique puisque $\text{Spec}(D/\pi^{k+1}D) = \bigcup_i D(f_i)$ que $(\pi^k) \subset \Delta_k$. \square

Proposition 4.8. — Soit $f : \mathfrak{X} \rightarrow \mathfrak{Y}$ un morphisme fini localement libre entre schémas formels π -adiques sans π -torsion. Sont équivalents

- Il existe un recouvrement affine $\mathcal{Y} = \bigcup_i \mathcal{U}_i$ tel que si $\mathcal{U}_i = \text{Spf}(A_i)$, $f^{-1}(\mathcal{U}_i) = \text{Spf}(B_i)$, alors $B_i[\frac{1}{\pi}]$ est une $A_i[\frac{1}{\pi}]$ -algèbre étale.
- Pour tout ouvert affine $\mathcal{U} \subset \mathfrak{Y}$, $\mathcal{U} = \text{Spf}(A)$, si $f^{-1}(\mathcal{U}) = \text{Spf}(B)$ alors $B[\frac{1}{\pi}]$ est une $A[\frac{1}{\pi}]$ -algèbre étale.

Démonstration. Si A est un anneau π -adique et B une A -algèbre finie projective alors B est une A -algèbre π -adique. En effet, étant donné que B est un A -module de type fini B est π -adiquement complète, et étant donné que B est projective $\exists n B \subset A^n$ et est donc séparée puisque A^n l'est. Donc pour une telle A -algèbre B et pour $f \in A$ $B \otimes_A A \langle \frac{1}{f} \rangle$ vérifiant les hypothèses précédentes en remplaçant A par $A \langle \frac{1}{f} \rangle$ et B par $B \otimes_A A \langle \frac{1}{f} \rangle$ on obtient

$$B \otimes_A A \langle \frac{1}{f} \rangle = B \langle \frac{1}{f} \rangle$$

et est une $A \langle \frac{1}{f} \rangle$ -algèbre finie projective.

Venons en maintenant à la démonstration. Soit A une algèbre π -adique sans π -torsion et B une A -algèbre finie projective étale en dehors de $V(\pi)$. Alors d'après ce qui précède $\forall f \in A$ $B \langle \frac{1}{f} \rangle$ est une $A \langle \frac{1}{f} \rangle$ -algèbre étale en dehors de $V(\pi)$.

Il s'agit maintenant de voir que si A est π -adique sans π -torsion et que B est une A -algèbre finie projective telle qu'il existe un recouvrement formel $\text{spf}(A) = \bigcup_i \text{Spf}(A \langle \frac{1}{f_i} \rangle)$ tel que $\forall i$ $B \langle \frac{1}{f_i} \rangle$ soit une $A \langle \frac{1}{f_i} \rangle$ -algèbre étale en dehors de $V(\pi)$ alors B est étale hors de $V(\pi)$. Mais, après avoir choisi une présentation finie de B comme A -module puis une rigidification de la structure de A -algèbre sur B relativement à cette présentation, cela résulte du lemme précédent appliqué au schéma $X = W$ de la section 4.2.1 et son ouvert V . \square

Définition 4.9. — Un morphisme satisfaisant aux conditions de la proposition précédente sera dit fini localement libre rig-étale.

Lemme 4.10. — Soit $f : \mathfrak{X} \rightarrow \mathfrak{Y}$ un morphisme fini localement libre rig-étale de schémas formels π -adiques sans π -torsion et $\mathfrak{Y}' \rightarrow \mathfrak{Y}$ un morphisme où \mathfrak{Y}' est π -adique sans π -torsion. Alors $\mathfrak{X} \times_{\mathfrak{Y}} \mathfrak{Y}' \rightarrow \mathfrak{Y}'$ est fini localement libre rig-étale.

En particulier le transformé strict d'un morphisme fini localement libre rig-étale en est un.

Démonstration. Cela résulte de ce que si A est π -adique sans π -torsion, B une A -algèbre finie projective étale en dehors de $V(\pi)$, C une A -algèbre π -adique sans π -torsion alors, comme expliqué dans la démonstration précédente, B étant projective finie sur A

$$B \otimes_A C = B \widehat{\otimes}_A C$$

\square

Lemme 4.11. — Le composé de deux morphismes finis localement libres rig-étales en est encore un.

4.3. Rigidité. —

Proposition 4.12 (Fujiwara). — Soit \mathfrak{X} un schéma formel π -adique sans π -torsion quasicompact et \mathfrak{Y} un \mathfrak{X} -schéma formel π -adique sans π -torsion fini localement libre rig-étale. Il existe alors un entier $N(\mathfrak{Y})$ tel que pour tout \mathfrak{X} -schéma formel π -adique sans π -torsion \mathfrak{Y}' et deux morphismes

$$\begin{array}{ccc} \mathfrak{Y}' & \begin{array}{c} \xrightarrow{f_1} \\ \xrightarrow{f_2} \end{array} & \mathfrak{Y} \\ & \searrow & \swarrow \\ & \mathfrak{X} & \end{array}$$

vérifiant $f_1 \equiv f_2 \pmod{\pi^{N(\mathfrak{Y})}}$ on ait $f_1 = f_2$.

De plus si $\mathfrak{Z} \rightarrow \mathfrak{X}$ est un morphisme de changement de base avec \mathfrak{Z} π -adique sans π -torsion alors on peut prendre $N(\mathfrak{Y}) \times_{\mathfrak{X}} \mathfrak{Z} = N(\mathfrak{Y})$.

Démonstration. Lorsque tous les schémas formels sont affines c'est une conséquence de la proposition 2.1.1 de [12]. Plus précisément lorsque $\mathfrak{Y} = \mathrm{Spf}(B)$ et $\mathfrak{X} = \mathrm{Spf}(A)$ on peut prendre $N(\mathfrak{Y})$ tel que $\pi^{N(\mathfrak{Y})}\Omega_{B/A}^1 = 0$. Le où les schémas formels ne sont plus affines s'en déduit facilement. L'assertion sur le changement de base se déduit aussitôt de la borne explicite donnée dans le cas affine. \square

Théorème 4.13. — Soient $\mathfrak{X}, \mathfrak{Y}$ comme dans la proposition précédente. Il existe alors un entier $N(\mathfrak{Y})$ tel que pour tout \mathfrak{Y}' comme précédemment l'application de réduction

$$\mathrm{Hom}_{\mathfrak{X}}(\mathfrak{Y}', \mathfrak{Y}) \longrightarrow \mathrm{Hom}_{\mathfrak{X} \otimes_{\mathcal{O}_K/\pi^{N(\mathfrak{Y})}}}(\mathfrak{Y}' \otimes_{\mathcal{O}_K/\pi^{N(\mathfrak{Y})}} \mathfrak{Y} \otimes_{\mathcal{O}_K/\pi^{N(\mathfrak{Y})}})$$

soit une bijection. De plus, comme précédemment, on peut choisir l'entier $N(\mathfrak{Y})$ invariant pas changement de base.

Démonstration. Supposons d'abord que tous nos schémas formels soient affines

$$\mathfrak{X} = \mathrm{Spf}(A), \mathfrak{Y} = \mathrm{Spf}(B), \mathfrak{Y}' = \mathrm{Spf}(B')$$

La A -algèbre B est de présentation finie. À chaque choix d'un ensemble fini de générateurs et relations \mathcal{S} de cette A -algèbre i.e. un isomorphisme

$$B \simeq A[X_1, \dots, X_N]/J \text{ et } J = (f_1, \dots, f_q)$$

Elkik associe dans [9] un idéal $H_{B/A}(\mathcal{S})$ de $A[X_1, \dots, X_N]$ tel que l'ouvert

$$V(H_{B/A}(\mathcal{S}))^c \cap V(J) \subset \mathrm{Spec}(B)$$

soit l'ouvert de lissité de $\mathrm{Spec}(B) \rightarrow \mathrm{Spec}(A)$. De plus si $\varphi : A \rightarrow A'$ est une A -algèbre alors \mathcal{S} détermine une présentation $\varphi(\mathcal{S})$ de $B \otimes_A A'$

$$B \otimes_A A' \simeq A'[X_1, \dots, X_N]/(f'_1, \dots, f'_q) \text{ où } \forall i \ f'_i \text{ est l'image de } f_i \text{ dans } A'[\underline{X}]$$

et on a

$$A'[X_1, \dots, X_N].H_{B/A}(\mathcal{S}) \subset H_{B \otimes_A A'}(\varphi(\mathcal{S}))$$

Fixons un tel système de générateurs/rerelations de B/A . Par hypothèse, $\mathrm{Spec}(B) \rightarrow \mathrm{Spec}(A)$ étant lisse en dehors de $V(\pi)$,

$$\exists N_0 \in \mathbb{N} \ \pi^{N_0} \in H_{B/A}(\mathcal{S}) + J$$

D'après le lemme 1 de [9] si $N_1 > 2N_0 + 1$ et $\bar{\epsilon}$

$$\begin{array}{c} \mathrm{Spec}(B/\pi^{N_1}B) \\ \downarrow \bar{\epsilon} \\ \mathrm{Spec}(A/\pi^{N_1}A) \end{array}$$

est une section approchée modulo π^{N_1} de $\mathrm{Spec}(B) \rightarrow \mathrm{Spec}(A)$ alors $\exists \epsilon$ une section

$$\begin{array}{c} \mathrm{Spec}(B) \\ \downarrow \epsilon \\ \mathrm{Spec}(A) \end{array}$$

telle que $\epsilon \equiv \bar{\epsilon} [\pi^{N_1 - N_0}]$.

Appliquons cela à

$$\begin{array}{c} \mathrm{Spec}(B) \times_{\mathrm{Spec}(A)} \mathrm{Spec}(B') \\ \downarrow \\ \mathrm{Spec}(B') \end{array}$$

D'après les rappels précédents sur le fait que l'idéal $H_{B/A}(\mathcal{S})$ ne peut que grandir par changement de base on en déduit que si $N_1 > 2N_0$ et \bar{f}

$$\begin{array}{ccc} \mathrm{Spec}(B'/\pi^{N_1}B') & \xrightarrow{\bar{f}} & \mathrm{Spec}(B/\pi^{N_1}B) \\ & \searrow & \swarrow \\ & \mathrm{Spec}(A/\pi^{N_1}A) & \end{array}$$

est un morphisme approché mod π^{N_1} alors $\exists f$

$$\begin{array}{ccc} \mathrm{Spec}(B') & \xrightarrow{f} & \mathrm{Spec}(B) \\ & \searrow & \swarrow \\ & \mathrm{Spec}(A) & \end{array}$$

tel que $f \equiv \bar{f} [\pi^{N_1-N_0}]$.

Choisissons N_1 tel que $N_1 > 2N_0$ et $N_1 - N_0$ soit strictement supérieur à l'entier de la proposition précédente. On obtient alors que

$$\mathrm{Hom}_{\mathrm{Spec}(A)}(\mathrm{Spec}(B'), \mathrm{Spec}(B)) \xrightarrow{\sim} \mathrm{Hom}_{\mathrm{Spec}(A/\pi^{N_1}A)}(\mathrm{Spec}(B'/\pi^{N_1}B'), \mathrm{Spec}(B/\pi^{N_1}B))$$

Le cas où nos schémas formels ne sont pas affines s'en déduit car grâce à l'assertion d'injectivité (la proposition précédente) on voit que les morphismes construits entre ouverts affines se recollent automatiquement.

L'assertion concernant le fait que l'on peut choisir l'entier $N(\mathfrak{Q})$ invariant pas changement de base résulte de ce que l'idéal $H_{B/A}(\mathcal{S})$ grandit par changement de base et de l'invariance par changement de base de l'entier de la proposition précédente. \square

4.4. Décompletion des schémas formels finis localement libres rig-étales. —

4.4.1. Décompletion des algèbres. —

Lemme 4.14. — Soit (A, \mathcal{I}) un couple hensélien et M un \widehat{A} -module projectif de type fini. Il existe alors un A -module projectif de type fini N et un isomorphisme $M \simeq N \otimes_A \widehat{A}$.

Démonstration. Soit $n \in \mathbb{N}$ et $\mathcal{M}_{n/A} = \mathrm{Spec}(A[X_{ij}]_{1 \leq i, j \leq n})$ le schéma en A -algèbres des matrices carrées de taille n . Le sous-schémas de $\mathcal{M}_{n/A}$ classifiant les idempotents $\epsilon \in \mathcal{M}_{n/A}$, $\epsilon^2 = \epsilon$, est étale. En effet, si B est un anneau, J un idéal de carré nul dans B , $\epsilon \in M_n(B)$ un élément vérifiant $\epsilon^2 = \epsilon + x$ avec $x \in M_n(J)$ alors $\epsilon x = x \epsilon$ et donc si $\epsilon' = \epsilon + (1 - 2\epsilon)x$ on a

$$\epsilon'^2 = \epsilon' \text{ et } \epsilon' \equiv \epsilon \pmod{J}$$

Si $\epsilon \in M_n(\widehat{A})$ est un idempotent il existe donc $\epsilon' \in M_n(A)$ tel que

$$\epsilon'^2 = \epsilon' \text{ et } \epsilon' \equiv \epsilon \pmod{\mathcal{I}}$$

Maintenant si B est une algèbre munie d'un idéal de carré nul J , ϵ et ϵ' sont deux idempotents de $M_n(B)$ et $\epsilon' = \epsilon + x$ où $x \in M_n(J)$ alors

$$\epsilon' = (Id + x)\epsilon(Id + x)$$

Donc si $\epsilon, \epsilon' \in M_n(\widehat{A})$ sont deux idempotents tels que $\epsilon' \equiv \epsilon \pmod{\mathcal{I}}$ alors il existe $u, v \in \mathrm{GL}_n(\widehat{A})$ tels que

$$\epsilon' = u\epsilon v$$

D'où le résultat. \square

Remarque 4.15. — Lorsque A est noethérien le lemme précédent est bien sûr beaucoup plus faible que le théorème 3 de [9]. Le théorème 3 de [9] s'étend cependant aux cas où on ne fait pas d'hypothèse de noethérianité sur A , $\mathcal{I} = (t)$ avec t régulier. C'est ce cas que nous utiliserons mais dans notre situation nous supposons, avec les notations du théorème 3 de [9], que le module \overline{M}

est localement libre sur \widehat{A} et pas seulement en dehors de $V(\mathcal{I})$. Dans ce cas là, comme on vient de le voir, la preuve est nettement plus simple. C'est pourquoi nous l'avons donnée.

Proposition 4.16. — *Soit (I, \leq) un ensemble ordonné filtrant et $(R_i)_{i \in I}$ un système inductif d'algèbres π -adiques sans π -torsion. Notons $R_\infty = \varinjlim_{i \in I} R_i$ et \widehat{R}_∞ le complété π -adique de R_∞ .*

Soit B_∞ une \widehat{R}_∞ algèbre π -adique sans π -torsion telle que $\mathrm{Spf}(B_\infty) \rightarrow \mathrm{Spf}(\widehat{R}_\infty)$ soit fini localement libre rig-étale (i.e. B_∞ est un \widehat{R}_∞ -module projectif de type fini et $B_\infty[\frac{1}{\pi}]$ une $\widehat{R}_\infty[\frac{1}{\pi}]$ -algèbre étale). Il existe alors $i_0 \in I$ et une R_{i_0} -algèbre π -adique sans π -torsion B_{i_0} telle que $\mathrm{Spf}(B_{i_0}) \rightarrow \mathrm{Spf}(R_{i_0})$ soit fini localement libre rig-étale et un isomorphisme

$$B_\infty \simeq B_{i_0} \otimes_{R_{i_0}} \widehat{R}_\infty = B_{i_0} \widehat{\otimes}_{R_{i_0}} \widehat{R}_\infty$$

Démonstration. Le couple $(R_\infty, \pi R_\infty)$ est hensélien. D'après le lemme précédent il existe un R_∞ -module projectif de type fini M et un isomorphisme de \widehat{R}_∞ -modules

$$B_\infty \simeq M \otimes_{R_\infty} \widehat{R}_\infty$$

Fixons un tel isomorphisme. Fixons une présentation finie L de M . Soit W le schéma affine au dessus de $\mathrm{Spec}(R_\infty)$ classifiant les structures d'algèbres rigidifiées sur M relativement à la présentation L (cf. section 4.2.1). Soit $V \subset W$ l'ouvert où l'algèbre universelle est étale.

La présentation L fournit grâce à l'isomorphisme précédent $B_\infty \simeq M \otimes_{R_\infty} \widehat{R}_\infty$ une présentation de B_∞ comme \widehat{R}_∞ -module. Fixons une structure d'algèbre rigidifiée relativement à cette présentation de B_∞ . Cela nous fournit donc une section ϵ de W au dessus de \widehat{R}_∞ qui par hypothèse se factorise par V en dehors de $V(\pi)$

$$\begin{array}{ccccc} & & V & \xrightarrow{\quad} & W \\ & \nearrow & & \searrow \epsilon & \downarrow \\ \mathrm{Spec}(\widehat{R}_\infty[\frac{1}{\pi}]) & \hookrightarrow & \mathrm{Spec}(\widehat{R}_\infty) & \longrightarrow & \mathrm{Spec}(R_\infty) \end{array}$$

On peut maintenant appliquer le théorème 2 bis de [9] pour conclure l'existence pour tout entier n d'une section ϵ' de W au dessus de $\mathrm{Spec}(R_\infty)$ se factorisant par l'ouvert V en dehors de $V(\pi)$ telle que

$$\epsilon' \equiv \epsilon [\pi^n]$$

et donc le diagramme suivant privé de ses termes extrêmes gauche et droite commute mod π^n

$$\begin{array}{ccccccc} & & & & V & & \\ & & & & \downarrow & & \\ & & & & W & & \\ & \nearrow & \epsilon & \nearrow & \downarrow \epsilon' & \searrow & \\ \mathrm{Spec}(\widehat{R}_\infty[\frac{1}{\pi}]) & \hookrightarrow & \mathrm{Spec}(\widehat{R}_\infty) & \longrightarrow & \mathrm{Spec}(R_\infty) & \longleftarrow & \mathrm{Spec}(R_\infty[\frac{1}{\pi}]) \end{array}$$

Pour un entier n donné il existe donc une R_∞ -algèbre B'_∞ telle que $B'_\infty \simeq M$ comme R_∞ -module, $B'_\infty[\frac{1}{\pi}]/R_\infty[\frac{1}{\pi}]$ est étale et un isomorphisme

$$B'_\infty/\pi^n B'_\infty \simeq B_\infty/\pi^n B_\infty$$

L'algèbre B'_∞ est donc un R_∞ -module projectif fde type fini. Donc $B'_\infty \otimes_{R_\infty} \widehat{R}_\infty = \widehat{B}'_\infty$ et $\mathrm{Spf}(\widehat{B}'_\infty) \rightarrow \mathrm{Spf}(\widehat{R}_\infty)$ est fini localement libre rig-étale. D'après le théorème 4.13 pour n choisi

suffisamment grand (ne dépendant que de $B_\infty/\widehat{R}_\infty$) il existe un morphisme relevant l'identité

$$\begin{array}{ccc} \mathrm{Spf}(\widehat{B}'_\infty) & \xrightarrow{f} & \mathrm{Spf}(B_\infty) \\ & \searrow & \swarrow \\ & \mathrm{Spf}(\widehat{R}_\infty) & \end{array}$$

tel que $f \equiv \mathrm{Id} \pmod{\pi^n}$ via l'isomorphisme $B'_\infty/\pi^n B'_\infty \simeq B_\infty/\pi^n B_\infty$. D'après le lemme qui suit c'est un isomorphisme.

Il est maintenant aisé de vérifier qu'il existe $i_0 \in I$ et B_{i_0} une R_{i_0} -algèbre projective finie étale en dehors de π telle que $B'_\infty \simeq B_{i_0} \otimes_{R_{i_0}} R_\infty$. \square

Lemme 4.17. — *Soit A un anneau π -adique et P_1, P_2 deux A -module projectifs de type fini. Un élément $f \in \mathrm{Hom}_A(P_1, P_2)$ est un isomorphisme ssi $f \pmod{\pi} : P_1/\pi P_1 \rightarrow P_2/\pi P_2$ en est un.*

Démonstration. Les modules étant projectifs de type fini ils sont π -adique. Il suffit donc de montrer que $\forall n f \pmod{\pi^n}$ est un isomorphisme. D'après le lemme de Nakayama $\forall n f \pmod{\pi^n}$ est surjectif. De plus $\forall n$ les fonctions localement constantes rang des modules projectifs $P_1/\pi^n P_1$, resp. $P_2/\pi^n P_2$, sont égales sur $\mathrm{Spec}(A/\pi^n A) = \mathrm{Spec}(A/\pi A)$ puisque $f \pmod{\pi}$ est un isomorphisme. Donc $f \pmod{\pi^n}$ est un isomorphisme. \square

Théorème 4.18. — *Soit (I, \leq) un ensemble ordonné cofiltrant et $(\mathfrak{X}_i)_{i \in I}$ un système projectif de schémas formels π -adiques sans π -torsion quasicompacts dont les morphismes de transition sont affines. Posons $\mathfrak{X}_\infty = \varprojlim_{i \in I} \mathfrak{X}_i$. Pour tout schéma formel π -adique sans π -torsion \mathfrak{Z} notons $\mathcal{R}_{\mathfrak{Z}}$ la catégorie des \mathfrak{Z} -schémas formels (π -adiques sans π -torsion) finis localement libres rig-étales. Le système $I \ni i \mapsto \mathcal{R}_{\mathfrak{X}_i}$ forme une catégorie fibrée via les applications de changement de base. De plus lorsque i varie il y a un système compatible de foncteurs "changement de base" $\mathcal{R}_{\mathfrak{X}_i} \rightarrow \mathcal{R}_{\mathfrak{X}_\infty}$ d'où un foncteur*

$$\varinjlim_{i \in I} \mathcal{R}_{\mathfrak{X}_i} \rightarrow \mathcal{R}_{\mathfrak{X}_\infty}$$

Ce foncteur induit une équivalence de catégories.

Démonstration. Commençons par la pleine fidélité de ce foncteur. Soient $i_0 \in I$ et $\mathfrak{Y}', \mathfrak{Y}$ deux \mathfrak{X}_{i_0} -schémas formels dans $\mathcal{R}_{\mathfrak{X}_{i_0}}$. Soit $N = N(\mathfrak{Y})$ l'entier associé à \mathfrak{Y} fourni par le théorème 4.13 (qui rappelons le peut être choisi invariant par changement de base). Alors

$$\begin{aligned} & \varinjlim_{i \geq i_0} \mathrm{Hom}_{\mathfrak{X}_i}(\mathfrak{Y}' \times_{\mathfrak{X}_{i_0}} \mathfrak{X}_i, \mathfrak{Y} \times_{\mathfrak{X}_{i_0}} \mathfrak{X}_i) \\ &= \varinjlim_{i \in I} \mathrm{Hom}_{\mathfrak{X}_i \otimes \mathcal{O}_K/\pi^N}(\mathfrak{Y}' \otimes \mathcal{O}_K/\pi^N \times_{\mathfrak{X}_{i_0} \otimes \mathcal{O}_K/\pi^N} \mathfrak{X}_i \otimes \mathcal{O}_K/\pi^N, \mathfrak{Y} \otimes \mathcal{O}_K/\pi^N \times_{\mathfrak{X}_{i_0} \otimes \mathcal{O}_K/\pi^N} \mathfrak{X}_i \otimes \mathcal{O}_K/\pi^N) \\ &= \mathrm{Hom}_{\mathfrak{X}_\infty \otimes \mathcal{O}_K/\pi^N}(\mathfrak{Y}' \otimes \mathcal{O}_K/\pi^N \times_{\mathfrak{X}_{i_0} \otimes \mathcal{O}_K/\pi^N} \mathfrak{X}_\infty \otimes \mathcal{O}_K/\pi^N, \mathfrak{Y} \otimes \mathcal{O}_K/\pi^N \times_{\mathfrak{X}_{i_0} \otimes \mathcal{O}_K/\pi^N} \mathfrak{X}_\infty \otimes \mathcal{O}_K/\pi^N) \\ &= \mathrm{Hom}_{\mathfrak{X}_\infty}(\mathfrak{Y}' \times_{\mathfrak{X}_{i_0}} \mathfrak{X}_\infty, \mathfrak{Y} \times_{\mathfrak{X}_{i_0}} \mathfrak{X}_\infty) \end{aligned}$$

L'avant dernière égalité résultant de ce que modulo π^N \mathfrak{Y} et \mathfrak{Y}' sont de présentation finie sur $\mathfrak{X}_{i_0} \otimes \mathcal{O}_K/\pi^N \mathcal{O}_K$, et la dernière par une nouvelle application du théorème 4.13.

Reste à vérifier la surjectivité essentielle de notre foncteur. La proposition 4.16 l'affirme lorsque les schémas formels \mathfrak{X}_i sont affines. Lorsqu'ils ne le sont pas il suffit de choisir $i_0 \in I$ et une décomposition $\mathfrak{X}_{i_0} = \bigcup_\alpha \mathcal{U}_\alpha$ en un nombre fini d'ouverts affines. Alors si $\mathfrak{Y} \rightarrow \mathfrak{X}_\infty$ est un élément de $\mathcal{R}_{\mathfrak{X}_\infty}$ d'après la proposition 4.16, étant donné qu'il n'y a qu'un nombre fini d'ouverts affines, il existe $i_1 \geq i_0$ et des éléments $(\mathcal{V}_\alpha)_\alpha$ de $\mathcal{R}_{\mathcal{U}_\alpha \times_{\mathfrak{X}_{i_0}} \mathfrak{X}_{i_1}}$ et des isomorphismes

$$\forall \alpha \mathcal{V}_\alpha \times_{\mathfrak{X}_{i_1}} \mathfrak{X}_\infty \xrightarrow{\sim} \mathfrak{Y} \times_{\mathfrak{X}_\infty} (\mathcal{U}_\alpha \times_{\mathfrak{X}_{i_0}} \mathfrak{X}_\infty)$$

Grâce à l'égalité entre les Hom démontrée précédemment (la pleine fidélité), quitte à augmenter i_1 en $i_2 \geq i_1$ on peut supposer que les \mathcal{V}_α sont munis d'une donnée de recollement au dessus de

\mathfrak{X}_{i_2} relativement aux $(\mathcal{U}_\alpha \cap \mathcal{U}_\beta) \times \mathfrak{X}_{i_2}$. Toujours grâce à l'égalité entre les Hom et quitte à encore augmenter l'indice i_2 en $i_3 \geq i_2$ on peut supposer que ces données de recollement satisfont à la condition de cocycle permettant de les recoller en un schéma formel au dessus de \mathfrak{X}_{i_3} . \square

5. Étude d'une certaine catégorie de morphismes rig-étales

5.1. Définitions. —

Définition 5.1. — Un morphisme $f : \mathfrak{Y} \rightarrow \mathfrak{X}$ entre schémas formels π -adiques sera dit étale si le morphisme induit entre schémas $\mathfrak{Y} \otimes \mathcal{O}_K/\pi\mathcal{O}_K \rightarrow \mathfrak{X} \otimes \mathcal{O}_K/\pi\mathcal{O}_K$ l'est.

Bien sûr comme d'habitude si \mathfrak{X} est un schéma formel π -adiques l'application de réduction modulo π induit une équivalence entre les \mathfrak{X} -schémas formels π -adiques étales et les $\mathfrak{X} \otimes \mathcal{O}_K/\pi\mathcal{O}_K$ -schémas étales.

Définition 5.2. — Un morphisme $f : \mathfrak{Y} \rightarrow \mathfrak{X}$ entre schémas formels π -adiques sans π -torsion quasicompacts sera dit de type (\mathcal{E}) s'il se factorise en un composé de morphismes de schémas formels π -adiques sans π -torsion

$$\mathfrak{Y} \rightarrow \mathfrak{G} \rightarrow \mathfrak{T} \rightarrow \mathfrak{W} \rightarrow \mathfrak{X}$$

où

- $\mathfrak{W} \rightarrow \mathfrak{X}$ est isomorphe à un éclatement formel admissible de \mathfrak{X}
- $\mathfrak{T} \rightarrow \mathfrak{W}$ est étale quasicompact
- $\mathfrak{G} \rightarrow \mathfrak{T}$ est fini localement libre rig-étale
- $\mathfrak{Y} \rightarrow \mathfrak{G}$ est isomorphe à un éclatement formel admissible de \mathfrak{G}

Exemple 5.3. — Par exemple un ouvert admissible quasicompact de \mathfrak{X} , $(\mathcal{U} \subset \mathfrak{X}' \rightarrow \mathfrak{X})$ est un morphisme de type (\mathcal{E}) .

Lemme 5.4. — Soit $\mathfrak{Y} \rightarrow \mathfrak{X}$ un morphisme de type (\mathcal{E}) et $\mathfrak{Z} \rightarrow \mathfrak{X}$ un morphisme avec \mathfrak{Z} π -adique sans π -torsion quasicompact alors le morphisme $(\mathfrak{Y} \times_{\mathfrak{X}} \mathfrak{Z})^{adh} \rightarrow \mathfrak{Z}$ est de type (\mathcal{E}) .

Démonstration. Utilisant le lemme 1.22 on vérifie que si $\mathfrak{Y} \rightarrow \mathfrak{G} \rightarrow \mathfrak{T} \rightarrow \mathfrak{W} \rightarrow \mathfrak{X}$ est une décomposition comme dans la définition 5.2 alors

$$(\mathfrak{Y} \times_{\mathfrak{X}} \mathfrak{Z})^{adh} \rightarrow (\mathfrak{G} \times_{\mathfrak{X}} \mathfrak{Z})^{adh} \rightarrow (\mathfrak{T} \times_{\mathfrak{X}} \mathfrak{Z})^{adh} \rightarrow (\mathfrak{W} \times_{\mathfrak{X}} \mathfrak{Z})^{adh} \rightarrow \mathfrak{Z}$$

en est encore une. \square

5.2. Les morphismes de type (\mathcal{E}) engendrent la topologie étale des espaces rigides usuels. —

Théorème 5.5. — Soit $\mathfrak{Y} \rightarrow \mathfrak{X}$ un morphisme rig-étale entre deux schémas formels admissibles quasicompacts. Il existe alors un diagramme

$$\begin{array}{ccc} \mathfrak{Y}' & \xrightarrow{f} & \mathfrak{Y} \\ & \searrow g & \swarrow \\ & \mathfrak{X} & \end{array}$$

où g est de type (\mathcal{E}) et $|f^{rig}| : |\mathfrak{Y}'^{rig}| \rightarrow |\mathfrak{Y}^{rig}|$ est surjectif au niveau des espaces de Zariski-Riemann tels que définis dans la section 3.

Démonstration. D'après le théorème de platification de Raynaud-Gruson ([7]) il existe un éclatement formel admissible $\mathfrak{X}' \rightarrow \mathfrak{X}$ tel que le transformé strict

$$\mathfrak{Z} = (\mathfrak{X}' \times_{\mathfrak{X}} \mathfrak{Y})^{adh} \rightarrow \mathfrak{X}'$$

soit plat (au sens de [6]). Ce morphisme étant rig-étale plat il est quasi-fini en fibre spéciale : le morphisme de schémas

$$\mathfrak{Z} \otimes \mathcal{O}_K/\pi\mathcal{O}_K \rightarrow \mathfrak{X}' \otimes \mathcal{O}_K/\pi\mathcal{O}_K$$

est quasi-fini. Il existe donc un diagramme de $\mathcal{O}_K/\pi\mathcal{O}_K$ -schémas

$$\begin{array}{ccc} W & \xrightarrow{\beta} & \mathfrak{Z} \otimes \mathcal{O}_K/\pi\mathcal{O}_K \\ \alpha \downarrow & & \downarrow \\ T & \xrightarrow{\gamma} & \mathfrak{X}' \otimes \mathcal{O}_K/\pi\mathcal{O}_K \end{array}$$

où α est plat fini, γ est étale et β est étale surjectif. Les morphismes β et γ étant étales ce diagramme se relève de façon unique en un diagramme de schémas formels admissibles

$$\begin{array}{ccc} \mathfrak{W} & \xrightarrow{\tilde{\beta}} & \mathfrak{Z} \\ \tilde{\alpha} \downarrow & & \downarrow h \\ \mathfrak{X} & \xrightarrow{\tilde{\gamma}} & \mathfrak{X}' \end{array}$$

où $\tilde{\alpha}$ est fini localement libre. Étant donné que $\tilde{\gamma}^{rig} \circ \tilde{\alpha}^{rig}$ est rig-étale et $\tilde{\gamma}^{rig}$ est rig-étale, $\tilde{\alpha}$ est rig-étale. De plus $\tilde{\beta}$ étant étale surjectif $\tilde{\beta}^{rig}$ est surjectif au niveau des espaces spectraux. D'où le résultat. \square

5.3. Rigidité. —

Proposition 5.6. — *Soit $\mathfrak{Y} \rightarrow \mathfrak{X}$ un morphisme de type (\mathcal{E}) entre schémas formels π -adiques sans π -torsion. Il existe alors un entier N tel que pour tout \mathfrak{X} -schéma formel π -adique sans π -torsion l'application de réduction modulo π^N*

$$\mathrm{Hom}_{\mathfrak{X}}(\mathfrak{Y}', \mathfrak{Y}) \xrightarrow{\sim} \mathrm{Hom}_{\mathfrak{X} \otimes \mathcal{O}_K/\pi^N}(\mathfrak{Y}' \otimes \mathcal{O}_K/\pi^N, \mathfrak{Y} \otimes \mathcal{O}_K/\pi^N)$$

soit une bijection.

Démonstration. Il suffit d'empiler les différentes assertions de rigidité concernant les morphismes qui entrent dans la définition d'un morphisme de type (\mathcal{E}) : le lemme 2.20 pour les éclatements, la proposition 4.12 pour le morphisme fini localement libre rig-étale, quant aux morphisme étale c'est évident. \square

5.4. Décompletion. —

Lemme 5.7. — *Soit (I, \leq) un ensemble ordonné cofiltrant, $(\mathfrak{X})_{i \in I}$ un système projectif de schémas formels π -adiques et $\mathfrak{X}_\infty = \varprojlim_{i \in I} \mathfrak{X}_i$. Si $\mathfrak{Z}_{\acute{e}t}$ désigne la catégorie des morphismes étales quasicompacts vers \mathfrak{Z} alors*

$$\varinjlim_{i \in I} (\mathfrak{X}_i)_{\acute{e}t} \xrightarrow{\sim} (\mathfrak{X}_\infty)_{\acute{e}t}$$

est une équivalence

Démonstration. Étant donné que $\mathfrak{Z}_{\acute{e}t}$ est équivalente à $(\mathfrak{Z} \otimes \mathcal{O}_K/\pi\mathcal{O}_K)_{\acute{e}t}$ cela se ramène à un énoncé classique sur les schémas (cf. EGA IV). \square

Théorème 5.8. — *Soit (I, \leq) un ensemble ordonné cofiltrant et $(\mathfrak{X}_i)_{i \in I}$ un système projectif de schémas formels π -adiques sans π -torsion quasicompacts dont les morphismes de transition sont affines. Soit $\mathfrak{X}_\infty = \varprojlim_{i \in I} \mathfrak{X}_i$. Pour tout $i \in I$ soit $\mathcal{E}_{\mathfrak{X}_i}$ la catégorie des morphismes de type (\mathcal{E}) au dessus de \mathfrak{X}_i . Lorsque i varie les applications de changement de base (cf. lemme 5.4) définissent une catégorie fibrée. Il y a un foncteur*

$$\varinjlim_{i \in I} \mathcal{E}_{\mathfrak{X}_i} \longrightarrow \mathcal{E}_{\mathfrak{X}_\infty}$$

Ce foncteur induit une équivalence de catégories.

Démonstration. C'est un exercice d'empilage du corollaire 2.22 du théorème 4.18 et du lemme 5.7. \square

Soit \mathfrak{X} un schéma formel π -adique sans π -torsion. Les morphismes de type $(\mathcal{E}) \mathfrak{Y} \rightarrow \mathfrak{X}$ sont stables par éclatement formel admissible : si $\mathfrak{Y}' \rightarrow \mathfrak{Y}$ est un éclatement formel admissible le composé $\mathfrak{Y}' \rightarrow \mathfrak{Y} \rightarrow \mathfrak{X}$ est encore de type (\mathcal{E}) . On peut donc définir $\mathcal{E}_{\mathfrak{X}^{rig}}$ la catégorie des morphismes de type (\mathcal{E}) vers \mathfrak{X} localisée relativement aux éclatements. On démontre de la même façon en utilisant une fois de plus le corollaire 2.22 et le théorème précédent.

Théorème 5.9. — *Avec les notations du théorème précédent on a une équivalence de catégories*

$$\lim_{i \in I} \mathcal{E}_{\mathfrak{X}_i^{rig}} \longrightarrow \mathcal{E}_{\mathfrak{X}_\infty^{rig}}$$

6. Le topos rig-étale d'un schéma formel π -adique quasicompact

6.1. Sur un point concernant les topologies de Grothendieck. — Nous utiliserons le théorème clef suivant.

Théorème 6.1 (SGA4 exposé III, théorème 4.1). — *Soit \mathcal{C} une petite catégorie, \mathcal{C}' un site et $u : \mathcal{C} \rightarrow \mathcal{C}'$ un foncteur pleinement fidèle. Supposons que tout objet de \mathcal{C}' puisse être recouvert par des objets provenant de \mathcal{C} . Munissons \mathcal{C} de la topologie induite. Alors*

- *Le foncteur u est continu et cocontinu*
- *Si $u_s : \mathcal{C}' \rightarrow \tilde{\mathcal{C}}$ est le foncteur $\mathcal{F} \mapsto \mathcal{F} \circ u$ et $u^s : \tilde{\mathcal{C}} \rightarrow \mathcal{C}'$ le foncteur tel que*

$$\forall \mathcal{G} \in \tilde{\mathcal{C}} \quad u^s \mathcal{G} \text{ est le faisceau associé au préfaisceau } Y \mapsto \lim_{\substack{(X, m) \\ X \in \mathcal{C} \\ m: Y \rightarrow u(X)}} \mathcal{G}(X)$$

ils induisent une équivalence de topos

$$\mathcal{C}' \begin{array}{c} \xrightarrow{u_s} \\ \xleftarrow{u^s} \end{array} \tilde{\mathcal{C}}$$

Le corollaire qui suit est scandaleusement absent de SGA4.

Corollaire 6.2. — *Sous les hypothèses du théorème précédent une famille $(U_\alpha \rightarrow X)_\alpha$ de morphismes de \mathcal{C} est couvrante ssi la famille $(u(U_\alpha) \rightarrow u(X))_\alpha$ l'est.*

Démonstration. D'après la proposition 1.6. de l'exposé III de SGA4 si $(U_\alpha \rightarrow X)_\alpha$ est couvrante alors $(u(U_\alpha) \rightarrow u(X))_\alpha$ l'est. Réciproquement si $(u(U_\alpha) \rightarrow u(X))_\alpha$ est couvrante soit R le crible couvrant de $u(X)$ engendré par cette famille. Le foncteur u étant cocontinu la famille de morphismes $Y \rightarrow X$ telle qu'il existe α et une factorisation $u(Y) \rightarrow u(U_\alpha) \rightarrow u(X)$ est un crible couvrant de X . Mais u étant pleinement fidèle l'existence d'une telle factorisation est équivalente à l'existence d'une factorisation $Y \rightarrow U_\alpha \rightarrow X$ c'est à dire $Y \rightarrow X$ appartient au crible engendré par $(U_\alpha \rightarrow X)$ qui est donc couvrant. \square

6.2. Définitions. — *Convention : Désormais on fixe une petite sous-catégorie pleine de la catégorie des schémas formels π -adiques quasicompacts, telle que tous les schémas formels avec lesquels nous travaillerons soient dans cette petite catégorie. On vérifie aisément que cela est possible puisque nous travaillerons avec des limites projectives indexées par des ensembles fixés de schémas formels topologiquement de type fini, des morphismes topologiquement de type fini au dessus de ces éclatements... En particulier les catégories sous-jacentes de tous les sites avec lesquels nous travaillerons seront petites.*

Définition 6.3. — *Soit \mathfrak{X} π -adique sans π -torsion quasicompact et $\mathcal{E}_{\mathfrak{X}^{rig}}$ la catégorie des morphismes de type (\mathcal{E}) vers \mathfrak{X} localisée relativement aux éclatements formels admissibles (cf. section*

5.4). On munit $\mathcal{E}_{\mathfrak{X}^{rig}}$ de la topologie engendrée par les familles finies de morphismes $(\mathfrak{U}_\alpha^{rig} \rightarrow \mathfrak{Y}^{rig})_\alpha$

$$\begin{array}{ccc} \mathfrak{U}_\alpha^{rig} & \longrightarrow & \mathfrak{Y}^{rig} \\ & \searrow & \swarrow \\ & \mathfrak{X}^{rig} & \end{array}$$

telles que l'application continue $\coprod_\alpha |\mathfrak{U}_\alpha^{rig}| \rightarrow |\mathfrak{Y}^{rig}|$ entre les espaces de Zariski-Riemann soit surjective. On note $\mathfrak{X}_{\mathcal{E}\text{-rig-ét}}$ le site associé.

Remarque 6.4. — — On remarquera qu'il s'agit d'une topologie qui n'est pas définie à partir d'une prétopologie. En particulier les familles couvrantes pour cette topologie n'ont à priori aucune description concrète! Le problème vient que les morphismes dans $\mathfrak{X}_{\mathcal{E}\text{-rig-ét}}$ ne sont pas forcément quarrables.

- Si $f : \mathfrak{Y} \rightarrow \mathfrak{X}$ est un morphisme de schémas formels quasicompacts π -adiques sans π -torsion alors f induit un foncteur entre les catégories sous-jacentes de celle de $\mathfrak{X}_{\mathcal{E}\text{-rig-ét}}$ vers celle de $\mathfrak{Y}_{\mathcal{E}\text{-rig-ét}}$. Ce foncteur transforme familles couvrantes en familles couvrantes. Néanmoins, il n'y a pas de raison pour que ce foncteur soit continu! Et même s'il l'est il n'y a pas de raison pour qu'il induise un morphisme de topos c'est à dire le foncteur f^* induit au niveau des faisceaux commute aux limites projectives finies!

Définition 6.5. — Soit \mathfrak{X} un schéma formel admissible quasicompact. On note $\mathfrak{X}_{rig\text{-ét}}$ le site des espaces rigides quasicompacts rig-étales au dessus de \mathfrak{X}^{rig} muni de la topologie associée à la prétopologie telle que $\text{Cov}(\mathfrak{Y})$ consiste en les familles finies $(\mathfrak{U}_\alpha^{rig} \rightarrow \mathfrak{Y}^{rig})_\alpha$ telles que $\coprod_\alpha |\mathfrak{U}_\alpha^{rig}| \rightarrow |\mathfrak{Y}^{rig}|$ soit surjectif.

D'après l'exposé II de SGA4 les familles couvrantes de $\mathfrak{X}_{rig\text{-ét}}$ sont les familles $(\mathfrak{U}_\alpha^{rig} \rightarrow \mathfrak{Y}^{rig})_\alpha$ telles qu'il existe une sous-famille finie surjective au niveau des espaces de Zariski-Riemann.

On renvoie à [8], [17] ou [12] pour les propriétés de base des morphismes étales entre espaces rigides usuels. On retiendra en particulier que l'image d'un morphisme étale est un ouvert quasicompact de l'espace de Zariski-Riemann (cela peut se vérifier aisément en utilisant le théorème de platisation de Raynaud-Gruson). De cela on déduit que les familles couvrantes de $\mathfrak{X}_{rig\text{-ét}}$ sont les familles $(\mathfrak{U}_\alpha^{rig} \rightarrow \mathfrak{Y}^{rig})_\alpha$ qui induisent une surjection au niveau des espaces de Zariski-Riemann. En particulier le topos associé est cohérent.

6.3. Lien entre les sites $\mathfrak{X}_{\mathcal{E}\text{-rig-ét}}$ et $\mathfrak{X}_{rig\text{-ét}}$ pour \mathfrak{X} admissible. —

Proposition 6.6. — Soit \mathfrak{X} admissible. Le foncteur d'inclusion

$$u : \mathfrak{X}_{\mathcal{E}\text{-rig-ét}} \hookrightarrow \mathfrak{X}_{rig\text{-ét}}$$

est continu et est tel que la topologie induite par u sur la catégorie sous-jacente à $\mathfrak{X}_{\mathcal{E}\text{-rig-ét}}$ soit la topologie de $\mathfrak{X}_{\mathcal{E}\text{-rig-ét}}$. Les familles couvrantes de $\mathfrak{X}_{\mathcal{E}\text{-rig-ét}}$ sont les familles de morphismes $(\mathfrak{U}_\alpha^{rig} \rightarrow \mathfrak{Y}^{rig})_\alpha$ telles qu'il existe une sous-famille finie induisant une surjection au niveau des espaces de Zariski-Riemann. Ce foncteur induit une équivalence de topos

$$(u^s, u_s) : (\mathfrak{X}_{\mathcal{E}\text{-rig-ét}})^\sim \xrightarrow{\sim} (\mathfrak{X}_{rig\text{-ét}})^\sim$$

Démonstration. D'après le théorème 5.5 le foncteur u satisfait aux hypothèses du théorème 6.1. Soit \mathcal{T} la topologie sur la catégorie sous-jacente à $\mathfrak{X}_{\mathcal{E}\text{-rig-ét}}$ induite par u et la topologie de $\mathfrak{X}_{rig\text{-ét}}$. D'après le corollaire 6.2 les familles couvrantes pour \mathcal{T} sont les familles dont on peut extraire une sous-famille finie surjective au niveau des espaces de Zariski-Riemann. Les cribles engendrés par de telles familles sont les cribles contenant les cribles engendrés par les familles finies surjectives au niveau des espaces de Zariski-Riemann, c'est à dire ceux utilisés pour définir la topologie engendrée de $\mathfrak{X}_{rig\text{-ét}}$. Donc \mathcal{T} coïncide avec la topologie de $\mathfrak{X}_{\mathcal{E}\text{-rig-ét}}$. \square

6.4. Le théorème principal sur la décompletion des topos rig-étales. — Soit (I, \leq) un ensemble ordonné cofiltrant et $(\mathfrak{X}_i)_{i \in I}$ un système projectif de schémas formels admissibles quasicompacts dont les morphismes de transition sont affines. On note $\mathfrak{X}_\infty = \varprojlim_{i \in I} \mathfrak{X}_i$.

Théorème 6.7. — *Les familles couvrantes de $(\mathfrak{X}_\infty)_{\mathcal{E}\text{-rig-ét}}$ sont les familles $(\mathfrak{U}_\alpha^{\text{rig}} \rightarrow \mathfrak{Y}^{\text{rig}})_\alpha$ possédant une sous-famille finie induisant une surjection au niveau des espaces de Zariski-Riemann. De plus il y a une équivalence de topos*

$$(\mathfrak{X}_\infty)_{\mathcal{E}\text{-rig-ét}} \simeq \varprojlim_{i \in I} (\mathfrak{X}_i)_{\text{rig-ét}}$$

Démonstration. Le site fibré $i \mapsto (\mathfrak{X}_i)_{\text{rig-ét}}$ satisfait aux hypothèses de la section 8.3.1 de [13]. On en déduit d'après la proposition 8.3.6 de [13] que l'on a une prétopologie explicite sur le site $\varinjlim_{i \in I} (\mathfrak{X}_i)_{\text{rig-ét}}$ obtenue à partir des prétopologies sur les $(\mathfrak{X}_i)_{\text{rig-ét}}$ lorsque i varie.

Si $Y \in \varinjlim_{i \in I} (\mathfrak{X}_i)_{\text{rig-ét}}$, pour cette prétopologie $\text{Cov}(Y)$ consiste en les familles finies de morphismes dans $\varinjlim_{i \in I} (\mathfrak{X}_i)_{\text{rig-ét}}$ isomorphes dans $\varinjlim_{i \in I} (\mathfrak{X}_i)_{\text{rig-ét}}$ à une famille finie de morphismes dans un $(\mathfrak{X}_i)_{\text{rig-ét}}$ qui forme un recouvrement dans le site $(\mathfrak{X}_i)_{\text{rig-ét}}$. Les familles couvrantes de la topologie de $\varinjlim_{i \in I} (\mathfrak{X}_i)_{\text{rig-ét}}$ sont donc les familles de morphismes dans $\varinjlim_{i \in I} (\mathfrak{X}_i)_{\text{rig-ét}}$ possédant une sous-famille finie isomorphe à une famille finie couvrante d'un $(\mathfrak{X}_i)_{\text{rig-ét}}$ pour un $i \in I$.

Par exemple pour $i \in I$ une famille finie de morphismes dans $(\mathfrak{X}_i)_{\text{rig-ét}}$, $(U_\alpha \rightarrow Y)_\alpha$, devient couvrante dans $\varinjlim_{i \in I} (\mathfrak{X}_i)_{\text{rig-ét}}$ ssi il existe $j \geq i$ tel que la famille tirée en arrière $(U_\alpha \times_{\mathfrak{X}_i^{\text{rig}}} \mathfrak{X}_j^{\text{rig}} \rightarrow Y \times_{\mathfrak{X}_i^{\text{rig}}} \mathfrak{X}_j^{\text{rig}})_\alpha$ devient couvrante dans $(\mathfrak{X}_j)_{\text{rig-ét}}$.

Rappelons que l'on note $\mathcal{E}_{\mathfrak{X}^{\text{rig}}}$ la catégorie sous-jacente au site $\mathfrak{X}_{\mathcal{E}\text{-rig-ét}}$. Il y a un foncteur pleinement fidèle

$$u : \varinjlim_{i \in I} \mathcal{E}_{\mathfrak{X}_i^{\text{rig}}} \rightarrow \varinjlim_{i \in I} (\mathfrak{X}_i)_{\text{rig-ét}}$$

auquel on peut appliquer le théorème 6.1 et le corollaire 6.2. Soit \mathcal{T} la topologie induite sur $\varinjlim_{i \in I} \mathcal{E}_{\mathfrak{X}_i^{\text{rig}}}$ par u et la topologie précédente sur $\varinjlim_{i \in I} (\mathfrak{X}_i)_{\text{rig-ét}}$. D'après le corollaire 6.2 et la description précédente des familles couvrantes de $\varinjlim_{i \in I} (\mathfrak{X}_i)_{\text{rig-ét}}$ on a une description concrète des familles couvrantes du site $(\varinjlim_{i \in I} \mathcal{E}_{\mathfrak{X}_i^{\text{rig}}}, \mathcal{T})$. Il s'agit maintenant de vérifier que via l'équivalence de catégories du théorème 5.9

$$\varinjlim_{i \in I} \mathcal{E}_{\mathfrak{X}_i^{\text{rig}}} \xrightarrow{\sim} \mathcal{E}_{\mathfrak{X}_\infty^{\text{rig}}}$$

les familles couvrantes se correspondent. Mais cela résulte de la proposition qui suit. \square

Proposition 6.8. — *Soit $i \in I$ et $(U_\alpha \rightarrow Y)_\alpha$ une famille finie de morphismes dans $\mathcal{E}_{\mathfrak{X}_i^{\text{rig}}}$. Supposons que la famille*

$$(U_\alpha \times_{\mathfrak{X}_i^{\text{rig}}} \mathfrak{X}_\infty^{\text{rig}} \rightarrow Y \times_{\mathfrak{X}_i^{\text{rig}}} \mathfrak{X}_\infty^{\text{rig}})_\alpha$$

induit une surjection au niveau des espaces de Zariski-Riemann

$$\coprod_{\alpha} |U_\alpha \times_{\mathfrak{X}_i^{\text{rig}}} \mathfrak{X}_\infty^{\text{rig}}| \twoheadrightarrow |Y \times_{\mathfrak{X}_i^{\text{rig}}} \mathfrak{X}_\infty^{\text{rig}}|$$

Il existe alors $j \geq i$ tel que

$$\coprod_{\alpha} |U_{\alpha} \times_{\mathfrak{X}_i^{rig}} \mathfrak{X}_j^{rig}| \longrightarrow |Y \times_{\mathfrak{X}_i^{rig}} \mathfrak{X}_j^{rig}|$$

soit surjectif.

Démonstration. On a

$$|Y \times_{\mathfrak{X}_i^{rig}} \mathfrak{X}_{\infty}^{rig}| = \varprojlim_{j \geq i} |Y \times_{\mathfrak{X}_i^{rig}} \mathfrak{X}_j^{rig}|$$

(utiliser la description des espaces de Zariski-Riemann en termes de points à valeurs dans des anneaux de valuation rigides). Soit

$$\forall j \geq i \ \psi_{ji} : |Y \times_{\mathfrak{X}_i^{rig}} \mathfrak{X}_j^{rig}| \longrightarrow |Y| \text{ et } f : \coprod_{\alpha} |U_{\alpha}| \longrightarrow |Y|$$

Par hypothèse $\bigcup_{j \geq i} \text{Im } \psi_{ji} \subset \text{Im } f$. Le morphisme $\coprod_{\alpha} U_{\alpha} \longrightarrow Y$ étant rig-étale $\text{Im } f$ est ouvert quasicompact. De plus $\forall j \text{ Im } \psi_{ji}$ est pro-constructible. On conclut comme dans la démonstration de la proposition 3.3 que

$$\exists j \geq i \ \text{Im } \psi_{ji} \subset \text{Im } f$$

□

Corollaire 6.9. — *Le topos limite projective $\varprojlim_{i \in I} (\mathfrak{X}_i)_{rig-ét}^{\sim}$ ne dépend que de \mathfrak{X}_{∞} . De plus si Λ est un anneau il y a un isomorphisme canonique*

$$\varinjlim_{i \in I} R\Gamma((\mathfrak{X}_i)_{rig-ét}, \Lambda) \simeq R\Gamma((\mathfrak{X}_{\infty})_{\mathcal{E}-rig-ét}, \Lambda)$$

dans $\mathbb{D}^+(\Lambda - \text{Mod})$: la limite inductive de la cohomologie étale de la fibre générique des \mathfrak{X}_i ne dépend que \mathfrak{X}_{∞} .

Démonstration. L'assertion concernant la cohomologie résulte du théorème 8.7.3 de [13] dont les hypothèses sont vérifiées grâce aux propriétés de cohérence des topos rigides étales usuels. □

Corollaire 6.10. — *Soit \mathfrak{X} un schéma formel π -adique sans π -torsion quasicompact. La famille de morphisme $(\mathfrak{Y}_{\alpha}^{rig} \longrightarrow \mathfrak{Y}^{rig})_{\alpha}$ dans $\mathfrak{X}_{\mathcal{E}-rig-ét}$ est couvrante ssi on peut en extraire une famille finie induisant une surjection au niveau des espaces de Zariski-Riemann.*

Démonstration. Si \mathfrak{X} est affine il est facile de vérifier qu'il s'écrit comme limite projective cofiltrante de schémas formels affines topologiquement de type fini sur $\text{Spf}(\mathcal{O}_K)$. Dans ce cas là le résultat est donc une conséquence du théorème 6.7. Pour \mathfrak{X} général soit $(\mathfrak{U}_i)_{i \in I}$ un recouvrement affine fini de \mathfrak{X} . La famille $(\mathfrak{U}_i^{rig} \longrightarrow \mathfrak{X}^{rig})_{i \in I}$ forme une famille couvrante de l'objet final de $\mathfrak{X}_{\mathcal{E}-rig-ét}$. Une famille $(\mathfrak{Y}_{\alpha}^{rig} \longrightarrow \mathfrak{Y}^{rig})_{\alpha}$ dans $\mathfrak{X}_{\mathcal{E}-rig-ét}$ est donc couvrante ssi $\forall i \in I$ $(\mathfrak{Y}_{\alpha}^{rig} \times_{\mathfrak{X}^{rig}} \mathfrak{U}_i^{rig})_{\alpha}$ l'est. On est donc ramené au cas affine car l'application

$$\coprod_{i \in I} |\mathfrak{Y}^{rig} \times_{\mathfrak{X}^{rig}} \mathfrak{U}_i^{rig}| \twoheadrightarrow |\mathfrak{Y}^{rig}|$$

est surjective. □

Remarque 6.11. — L'auteur de cet article met son lecteur au défi de trouver une démonstration du corollaire précédent sans passer par la théorie des espaces rigides des schémas formels topologiquement de type fini sur $\text{Spf}(\mathcal{O}_K)$.

7. Le topos rig-étale d'un schéma formel π -adique non-quasicompact

7.1. Le topos. — Soit \mathfrak{X} un schéma formel π -adique sans π -torsion non nécessairement quasicompact.

On note $\mathcal{E}_{\mathfrak{X}}$ la catégorie des morphismes $\mathfrak{Y} \rightarrow \mathfrak{X}$ qui peuvent s'écrire sous la forme

$$\mathfrak{Y} \xrightarrow{f} \mathfrak{U} \hookrightarrow \mathfrak{X}$$

où \mathfrak{U} est un ouvert quasicompact de \mathfrak{X} et f est de type (\mathcal{E}) . On appellera les morphisme $\mathfrak{Y} \rightarrow \mathfrak{X}$ dans $\mathcal{E}_{\mathfrak{X}}$ les morphismes de type (\mathcal{E}) .

Lemme 7.1. — *Soit $\mathfrak{Y} \rightarrow \mathfrak{U}$ un morphisme de type (\mathcal{E}) vers un ouvert quasicompact de \mathfrak{X} et \mathfrak{V} un ouvert quasicompact de \mathfrak{X} contenant \mathfrak{U} . Alors le composé $\mathfrak{Y} \rightarrow \mathfrak{U} \hookrightarrow \mathfrak{V}$ est de type (\mathcal{E}) .*

Démonstration. Utiliser le lemme 1.30. □

On vérifie alors que $\mathcal{E}_{\mathfrak{X}}$ est équivalente à

$$\lim_{\substack{\mathfrak{U} \subset \mathfrak{X} \\ \mathfrak{U} \text{ quasicompact}}} \mathcal{E}_{\mathfrak{U}}$$

limite inductive sur les ouverts quasicompacts de \mathfrak{X} des morphismes de type (\mathcal{E}) au dessus d'un tel ouvert.

Plus généralement si $\mathcal{E}_{\mathfrak{X}^{rig}}$ désigne la catégorie $\mathcal{E}_{\mathfrak{X}}$ localisée relativement aux éclatements formels admissibles alors

$$\mathcal{E}_{\mathfrak{X}^{rig}} \simeq \lim_{\substack{\mathfrak{U} \subset \mathfrak{X} \\ \mathfrak{U} \text{ quasicompact}}} \mathcal{E}_{\mathfrak{U}^{rig}}$$

Définition 7.2. — On note $\mathfrak{X}_{\mathcal{E}-rig-ét}$ le site donc la catégorie sous-jacente est $\mathcal{E}_{\mathfrak{X}^{rig}}$ et dont la topologie est engendrée par les familles finies de morphismes surjectives au niveau des espaces de Zariski-Riemann.

Si $(\mathfrak{V}_{\alpha} \rightarrow \mathfrak{Y})_{\alpha}$ est une famille de morphismes dans $\mathcal{E}_{\mathfrak{X}^{rig}}$ et si le morphisme structurel $\mathfrak{Y}^{rig} \rightarrow \mathfrak{X}^{rig}$ se factorise par l'ouvert quasicompact $\mathfrak{U} \subset \mathfrak{X}$ il en est de même des $\mathfrak{V}_{\alpha}^{rig} \rightarrow \mathfrak{X}^{rig}$. De cela et du corollaire 6.10 on déduit le lemme qui suit.

Lemme 7.3. — *Une famille de morphismes dans $\mathfrak{X}_{\mathcal{E}-rig-ét}$ est couvrante ssi il existe une sous-famille finie surjective au niveau des espaces de Zariski-Riemann.*

De là on déduit aisément.

Proposition 7.4. — *Le topos $(\mathfrak{X}^{rig})_{\mathcal{E}-rig-ét}^{\sim}$ s'identifie au topos*

$$\lim_{\substack{\mathfrak{U} \subset \mathfrak{X} \\ \mathfrak{U} \text{ quasicompact}}} \mathfrak{U}_{\mathcal{E}-rig-ét}^{\sim}$$

Si $(\mathfrak{U}_i)_{i \in I}$ est un recouvrement de \mathfrak{X} par des ouverts quasicompacts alors le topos $(\mathfrak{X}^{rig})_{\mathcal{E}-rig-ét}^{\sim}$ s'identifie au topos recollé des $(\mathfrak{U}_i^{rig})_{\mathcal{E}-rig-ét}^{\sim}$ le long des $\mathfrak{U}_i \cap \mathfrak{U}_j$, $i, j \in I$ i.e. aux objets cartésiens du topos total du diagramme

$$\coprod_{i,j,k} (\mathfrak{U}_i \cap \mathfrak{U}_j \cap \mathfrak{U}_k)_{\mathcal{E}-rig-ét}^{\sim} \rightrightarrows \coprod_{i,j} (\mathfrak{U}_i \cap \mathfrak{U}_j)_{\mathcal{E}-rig-ét}^{\sim} \rightrightarrows \coprod_i (\mathfrak{U}_i)_{\mathcal{E}-rig-ét}^{\sim}$$

7.2. Cohomologie à support compact. — On définit ici la cohomologie à support compact de \mathfrak{X}^{rig} . On prendra garde que la définition donnée bien que suffisante pour nos besoins n'est pas la bonne en général. Par exemple pour les schémas formels admissibles ce n'est la bonne définition que pour ceux dont les composantes irréductibles de la fibre spéciale sont propres, par exemple le schéma formel de Deligne-Drinfeld $\widehat{\Omega}$.

Définition 7.5. — Soit $\mathcal{F} \in \mathfrak{X}_{\mathcal{E}-rig-ét}^{\sim}$. On note $\Gamma_!(\mathfrak{X}^{rig}, \mathcal{F})$ les sections de $\Gamma(\mathfrak{X}^{rig}, \mathcal{F}) =$

$$\lim_{\leftarrow \mathfrak{U} \text{ quasicompact}} \Gamma(\mathfrak{U}^{rig}, \mathcal{F}) \text{ dont le support est contenu dans un ouvert quasicompact de } \mathfrak{X}^{rig}.$$

Si $|\mathfrak{X}^{rig}| = \varinjlim_{\mathfrak{U} \text{ q.c.}} |\mathfrak{U}^{rig}|$ désigne l'espace de Zariski-Riemann de \mathfrak{X} il y a alors une projection du topos rig-étale vers le topos de l'espace topologique $|\mathfrak{X}^{rig}|$, $\pi : (\mathfrak{X}^{rig})_{\mathcal{E}\text{-rig-ét}}^{\sim} \rightarrow |\mathfrak{X}^{rig}|^{\sim}$. Alors $\Gamma_!(\mathfrak{X}^{rig}, -) = \Gamma_c(|\mathfrak{X}^{rig}|, -) \circ \pi_*$ où $\Gamma_c(|\mathfrak{X}^{rig}|, -)$ désigne les sections dont le support est un fermé quasicompact de l'espace de Zariski-Riemann.

Proposition 7.6. — *Soit $\mathcal{F} \in \Lambda - (\mathfrak{X}^{rig})_{\mathcal{E}\text{-rig-ét}}^{\sim}$. Soit $(\mathfrak{U}_i)_{i \in I}$ un recouvrement localement fini de \mathfrak{X} par des ouverts quasicompacts. Notons $\forall \alpha \subset I$ $\mathfrak{U}(\alpha) = \cap_{i \in \alpha} \mathfrak{U}_i$. Il y a alors une suite spectrale*

$$E_1^{pq} = \bigoplus_{\substack{\alpha \subset I \\ |\alpha|=p+1}} H^q(\mathfrak{U}(\alpha)^{rig}, \mathcal{F}) \implies H_!^{p+q}(\mathfrak{X}^{rig}, \mathcal{F})$$

Démonstration. Considérons le morphisme

$$j : \prod_{i \in I} \mathfrak{U}_i \longrightarrow \mathfrak{X}$$

Si \mathcal{G} est un faisceau sur $\mathfrak{X}_{\mathcal{E}\text{-rig-ét}}$ il donne naissance à une résolution co-simpliciale $\mathcal{G} \rightarrow C^\bullet(\mathcal{G})$ fonctorielle en \mathcal{G} où

$$C^p(\mathcal{G}) = (j_* j^*)^{p+1}(\mathcal{G}) = \prod_{\substack{\alpha \subset I \\ |\alpha|=p+1}} j_{\alpha*}(\mathcal{G}|_{\mathfrak{U}(\alpha)^{rig}})$$

avec $j_\alpha : \mathfrak{U}(\alpha)^{rig} \hookrightarrow \mathfrak{X}^{rig}$. De plus si \mathcal{G} est injectif alors $C^p(\mathcal{G})$ l'est également. De l'égalité

$$\Gamma_!(\mathfrak{X}^{rig}, C^p(\mathcal{G})) = \bigoplus_{\substack{\alpha \subset I \\ |\alpha|=p+1}} \Gamma(\mathfrak{U}(\alpha)^{rig}, \mathcal{G})$$

on conclut facilement. □

Corollaire 7.7. — *Tout faisceau flasque sur $\mathfrak{X}_{\mathcal{E}\text{-rig-ét}}$ est $\Gamma_!(\mathfrak{X}^{rig}, -)$ -acyclique.*

Démonstration. Le schéma formel \mathfrak{X} étant quasi-séparé il existe un recouvrement comme dans la proposition précédente. Dans la suite spectrale précédente les morphismes $\mathfrak{U}(\alpha)^{rig} \rightarrow \mathfrak{X}^{rig}$ sont alors dans $\mathfrak{X}_{\mathcal{E}\text{-rig-ét}}$. □

On retiendra donc que l'on peut calculer la cohomologie à support compact à l'aide de résolutions flasques.

8. Le formalisme des faisceaux équivariants lisses

8.1. Hypothèses. — Soit G un groupe topologique possédant un sous-groupe ouvert profini. Soit Λ un anneau.

Soit \mathcal{R} une catégorie et X un objet de \mathcal{R} , ou plus généralement de $\widehat{\mathcal{R}}$, la catégorie des préfaisceaux sur \mathcal{R} , muni d'une action du groupe "abstrait" G .

On suppose donné une sous-catégorie pleine \mathcal{C} de la catégorie \mathcal{R}/X des morphismes vers X et une topologie sur \mathcal{C} faisant donc de \mathcal{C} un site. On supposera également que tout objet de \mathcal{C} est quasicompact. On suppose de plus que $\forall g \in G$ et $(U \rightarrow X) \in \mathcal{C}$ le produit cartésien du diagramme

$$\begin{array}{c} U \\ \downarrow \\ X \xrightarrow{g} X \end{array}$$

existe dans \mathcal{R} et est dans \mathcal{C} . On notera $g^{-1}(U)$ ce produit cartésien. On suppose que $U \mapsto g^{-1}(U)$ transforme familles couvrantes en familles couvrantes et définit donc un isomorphisme du site \mathcal{C} dans lui-même. Ainsi il y a une "action" de G sur le site \mathcal{C} . On notera (g^*, g_*) le morphisme de topos associé où $g^* \mathcal{F}(U) = \mathcal{F}(g(U))$. On a des identifications canoniques $\forall g, g' \in G$ $(gg')^* = g'^* g^*$. Nous ferons l'hypothèse suivante :

Hypothèses de continuité : À tout $(U \rightarrow X) \in \mathcal{C}$ est associé “canoniquement” un sous-groupe compact ouvert $K_U \subset G$ et un relèvement $(\beta_k)_{k \in K_U}$ de l’action de K_U sur X à U

$$\forall k \in K_U \quad \begin{array}{ccc} U & \xrightarrow{\beta_k} & U \\ \downarrow & & \downarrow \\ X & \xrightarrow{k} & X \end{array}$$

où $\beta_k \circ \beta_{k'} = \beta_{kk'}$. Le mot “canoniquement” signifie que si $V \xrightarrow{f} U$ est un morphisme dans \mathcal{C}

$$\begin{array}{ccc} V & \xrightarrow{f} & U \\ & \searrow & \swarrow \\ & X & \end{array}$$

il existe alors un sous-groupe ouvert de $K_U \cap K_V$ en restriction auquel f est compatible aux relèvements de l’action à U et V .

8.2. G -faisceaux lisses. — Rappelons que par définition un G -faisceau (resp. préfaisceau) sur \mathcal{C} est un faisceau $\mathcal{F} \in \tilde{\mathcal{C}}$ (resp. G -préfaisceau $\mathcal{F} \in \tilde{\mathcal{C}}$) muni d’isomorphismes

$$\forall g \in G \quad c_g : g^* \mathcal{F} \xrightarrow{\sim} \mathcal{F}$$

vérifiant la condition de cocycle $\forall g, g' \in G \quad c_{g'} \circ g'^* c_g = c_{gg'}$.

Si \mathcal{F} est un G -faisceau (resp. préfaisceau) et $U \in \mathcal{C}$

$$\forall k \in K_U \quad (k^* \mathcal{F})(U) = \mathcal{F}(k(U)) = \mathcal{F}(U)$$

et donc K_U agit sur $\mathcal{F}(U)$. De plus si $V \rightarrow U$ est un morphisme dans \mathcal{C} l’application de restriction $\mathcal{F}(U) \rightarrow \mathcal{F}(V)$ est K -équivariante pour K compact ouvert suffisamment petit.

Définition 8.1. — Un G -faisceau (resp. préfaisceau) \mathcal{F} sera dit lisse si $\forall U \in \mathcal{C}$ l’action de K_U sur $\mathcal{F}(U)$ est lisse, i.e. le stabilisateur de tout élément est un sous-groupe ouvert.

Définition 8.2. — On note $\tilde{\mathcal{C}}_G$, resp. $\tilde{\mathcal{C}}_{G\text{-lss}}$, la catégorie des G -faisceaux, resp. des G -faisceaux lisses. On note $\Lambda - \tilde{\mathcal{C}}_G$, $\Lambda - \tilde{\mathcal{C}}_{G\text{-lss}}$ les catégories de faisceaux de Λ -modules associées.

Exemple 8.3. — Si l’action de G sur X est triviale $\Lambda - \tilde{\mathcal{C}}_G$ s’identifie à la catégorie $\Lambda[G] - \tilde{\mathcal{C}}$ et $\Lambda - \tilde{\mathcal{C}}_{G\text{-lss}}$ à la sous-catégorie de $\Lambda[G] - \tilde{\mathcal{C}}$ des faisceaux \mathcal{F} tels que $\forall U \in \mathcal{C} \mathcal{F}(U)$ soit un G -module lisse. Lorsque \mathcal{R} est la catégorie à un seul élément et un seul morphisme on retrouve les G -modules lisses utilisés dans la théorie de la représentation des groupes p -adiques ou en cohomologie galoisienne.

8.3. Les différentes opérations reliant G -faisceaux, G -faisceaux lisses et faisceaux. —

On notera

$$\begin{array}{ccc} \tilde{\mathcal{C}}_{G\text{-lss}} & \xrightarrow{i} & \tilde{\mathcal{C}}_G \\ & \searrow k & \swarrow j \\ & \tilde{\mathcal{C}} & \end{array}$$

les foncteurs évidents où k et j sont l’oubli de l’action de G et i est le plongement tautologique. On notera de la même façon le diagramme associé pour les faisceaux de Λ -modules.

8.3.1. Faisceau associé à un préfaisceau. — Bien sûr si \mathcal{F} est un G -préfaisceau le faisceau associé est un G -faisceau.

Lemme 8.4. — *Le faisceau associé à un G -préfaisceau lisse est un G -faisceau lisse.*

Démonstration. Par définition (cf. SGA4 exposé II section 3) le faisceau associé à \mathcal{F} est $L(L\mathcal{F})$ où l’opération $\mathcal{F} \mapsto L\mathcal{F}$ est

$$L\mathcal{F}(U) = \varinjlim_{R \in J(U)} \text{Hom}(R, \mathcal{F})$$

où $J(U)$ désigne l’ensemble des cribles couvrants de U . Mais U étant quasicompact l’ensemble des cribles engendrés par des familles couvrantes finies est cofinal dans $J(X)$. La limite inductive

précédente peut donc se calculer sur ces cribles là. Or si le crible R est engendré par la famille finie $(V_\alpha \rightarrow U)_\alpha$ alors

$$\mathrm{Hom}(R, \mathcal{F}) \subset \prod_{\alpha} \mathcal{F}(V_\alpha)$$

et étant donné $(s_\alpha)_\alpha \in \prod_{\alpha} \mathcal{F}(V_\alpha)$ il existe un sous-groupe ouvert agissant discrètement sur tous les s_α . \square

Exemple 8.5. — Sous l'hypothèse du lemme précédent le faisceau constant $\underline{\Lambda}$ est lisse.

Il est clair que la catégorie $\Lambda - \mathcal{C}_G^\sim$ est abélienne et que le foncteur $j : \Lambda - \mathcal{C}_G^\sim \rightarrow \Lambda - \mathcal{C}^\sim$ est exact i.e. les noyaux et conoyaux de morphismes de G -faisceaux sont les noyaux et conoyaux des morphismes de faisceaux sous-jacents qui sont naturellement munis d'une structure de G -faisceau.

Corollaire 8.6. — *La catégorie $\Lambda - \mathcal{C}_{G-lss}^\sim$ des G -faisceaux de Λ -modules lisses est une sous-catégorie abélienne de $\Lambda - \mathcal{C}_G^\sim$ la catégorie de G -faisceaux de Λ -modules.*

Démonstration. Il est clair qu'un sous- G -faisceau d'un G -faisceau lisse est lisse et que donc les noyaux de morphismes dans \mathcal{C}_G^\sim entre deux G -faisceaux lisses dans sont lisses. Pour les conoyaux il suffit d'appliquer le lemme précédent. \square

8.3.2. *Inductions brutales.* — Soit \mathcal{F} un faisceau. On note

$$\mathrm{Ind}\mathcal{F} = \prod_{g \in G} \mathcal{F} \quad \mathrm{ind}\mathcal{F} = \bigoplus_{g \in G} \mathcal{F}$$

les G -faisceaux munis de l'action de G par permutations (la somme directe définissant $\mathrm{ind}\mathcal{F}$ est prise dans la catégorie des faisceaux, c'est le faisceau associé au préfaisceau somme directe). Cela définit des foncteurs $\mathcal{C}^\sim \xrightleftharpoons[\mathrm{ind}]{\mathrm{Ind}} \mathcal{C}_G^\sim$. Ils forment avec j un triplet de foncteurs adjoints

$$\begin{aligned} \forall \mathcal{F} \in \mathcal{C}^\sim \quad \forall \mathcal{G} \in \mathcal{C}_G^\sim \quad \mathrm{Hom}_{\mathcal{C}^\sim}(j\mathcal{G}, \mathcal{F}) &\simeq \mathrm{Hom}_{\mathcal{C}_G^\sim}(\mathcal{G}, \mathrm{Ind}\mathcal{F}) \\ \mathrm{Hom}_{\mathcal{C}^\sim}(\mathcal{F}, j\mathcal{G}) &\simeq \mathrm{Hom}_{\mathcal{C}_G^\sim}(\mathrm{ind}\mathcal{F}, \mathcal{G}) \end{aligned}$$

Il en est de même avec les faisceaux de Λ -modules. En particulier on déduit de ces adjonctions que Ind et j transforment faisceaux injectifs de Λ -modules en faisceaux injectifs. De plus Ind est exact à gauche (mais pas exact en général). De cela on déduit que la catégorie abélienne $\Lambda - \mathcal{C}_G^\sim$ possède suffisamment d'injectifs (bien sûr le lecteur avisé sait que $(\mathcal{C}_G^\sim, \underline{\Lambda})$ est un topos annelé et que donc $\Lambda - \mathcal{C}_G^\sim$ possède suffisamment d'injectifs, mais Ind permet de construire explicitement de tels objets injectifs à partir de ceux de \mathcal{C}^\sim).

Si $\mathcal{F} \in \Lambda - \mathcal{C}_G^\sim$ et e désigne un objet de \mathcal{C}^\sim auquel l'action de G se relève i.e. un élément de \mathcal{C}_G^\sim (par exemple l'objet final) le complexe $R\Gamma(e, j\mathcal{F}) \in \mathbb{D}^+(\Lambda)$ est muni d'une action de G . Cependant si

$$F = \Gamma(e, -) \circ j : \Lambda - \mathcal{C}_G^\sim \rightarrow \Lambda[G] - \mathrm{Mod}$$

étant donné que j est exact et transforme injectifs en injectifs $RF = R\Gamma(e, -) \circ j$ et donc le complexe $R\Gamma(e, j\mathcal{F})$ provient canoniquement d'un complexe dans $\mathbb{D}^+(\Lambda[G])$ via le foncteur $\mathbb{D}^+(\Lambda[G]) \rightarrow G - \mathbb{D}^+(\Lambda)$, $G - \mathbb{D}^+(\Lambda)$ désignant les objets de la catégorie dérivée $\mathbb{D}^+(\Lambda)$ munis d'une action de G .

L'un des buts de ce chapitre est de faire de même avec les faisceaux lisses.

8.3.3. *Lissification.* — Soit $\mathcal{F} \in \mathcal{C}_G^\sim$. On note $\mathcal{F}^{\mathrm{lss}}$ le préfaisceau

$$U \mapsto \{\text{sections lisses de } \mathcal{F}(U)\}$$

dont on vérifie facilement en utilisant l'hypothèse de quasicompacité des objets de \mathcal{C} que c'est un faisceau. Cela définit un foncteur

$$(-)^{\mathrm{lss}} : \mathcal{C}_G^\sim \rightarrow \mathcal{C}_{G-lss}^\sim$$

adjoint à droite au foncteur i

$$\forall \mathcal{F} \in \mathcal{C}_{G-lss}^\sim \quad \forall \mathcal{G} \in \mathcal{C}_G^\sim \quad \mathrm{Hom}_{\mathcal{C}_G^\sim}(i\mathcal{F}, \mathcal{G}) \simeq \mathrm{Hom}_{\mathcal{C}_{G-lss}^\sim}(\mathcal{F}, \mathcal{G}^{\mathrm{lss}})$$

De cela on déduit que pour les faisceaux de Λ -modules $(-)^{\text{lss}}$ transforme les injectifs en injectifs et est exact à gauche. On en déduit le lemme suivant.

Lemme 8.7. — *La catégorie abélienne $\Lambda - \mathcal{C}_{G-\text{lss}}^{\sim}$ possède suffisamment d'injectifs.*

En résumé il y a un diagramme

$$\begin{array}{ccc}
 & & (-)^{\text{lss}} \\
 & \curvearrowright & \\
 \mathcal{C}_{G-\text{lss}}^{\sim} & \xrightarrow{i} & \mathcal{C}_G^{\sim} \\
 & \searrow k & \swarrow \text{Ind} \\
 & & \mathcal{C}^{\sim} \\
 & & \swarrow \text{ind} \\
 & & \mathcal{C}_G^{\sim}
 \end{array}$$

Remarque 8.8. — Le foncteur composé $(-)^{\text{lss}} \circ \text{Ind}$ permet donc de construire suffisamment d'injectifs dans $\Lambda - \mathcal{C}_{G-\text{lss}}^{\sim}$. Néanmoins en général l'image par k d'un tel objet injectif n'est pas un faisceau injectif.

8.3.4. Induction/restriction. — Soit $F \in \widehat{\mathcal{C}}$ un préfaisceau. Rappelons (SGA4 exposé III section 5) que l'on a un site \mathcal{C}/F dont la topologie est induite par celle de \mathcal{C} via le foncteur canonique $\mathcal{C}/F \rightarrow \mathcal{C}$. Rappelons également que \mathcal{C}^{\sim}/F s'identifie à $(\mathcal{C}/F)^{\sim}$. Il y a un triplet de foncteurs adjoints

$$\mathcal{C}^{\sim}/F = (\mathcal{C}/F)^{\sim} \begin{array}{c} \xrightarrow{j_*} \\ \xleftarrow{j^*} \\ \xrightarrow{j_!} \end{array} \mathcal{C}^{\sim}$$

où j^* est le foncteur de restriction aux objets au dessus de F et $j_!\mathcal{F}$ est le faisceau associé au préfaisceau

$$U \mapsto \varinjlim_{m \in F(U)} \mathcal{F}(U, m)$$

Soit maintenant K un sous-groupe compact ouvert de G et $F \in \widehat{\mathcal{C}}_K$ un K -préfaisceau i.e. l'action de K sur X s'étend en une action sur F via $F \rightarrow X$. On prendra par exemple $U \in \mathcal{C}$, un sous-groupe compact K tel que l'action de K se relève à U et $F = h_U$ le préfaisceau représenté par U . Supposons de plus que F soit un K -préfaisceau lisse. Alors la catégorie \mathcal{C}/F vérifie les mêmes hypothèses que celle de \mathcal{C} : pour tout $U \rightarrow F$ (i.e. un élément de $F(U)$) l'action de K sur F se relève "canoniquement" à U sur un sous-groupe ouvert de K et de plus quitte à se restreindre à des sous-groupes ouverts plus petits cette action relevée est fonctorielle dans \mathcal{C}/F .

On peut donc définir la catégorie $(\mathcal{C}/F)_{K-\text{lss}}^{\sim}$ des K -faisceaux lisses au dessus de F . Il y a alors un triplet de foncteurs adjoints

$$(\mathcal{C}/F)_{K-\text{lss}}^{\sim} \begin{array}{c} \xrightarrow{j_{K*}} \\ \xleftarrow{j_K^*} \\ \xrightarrow{j_{K!}} \end{array} \mathcal{C}_{G-\text{lss}}^{\sim}$$

où

- Le foncteur j_K^* est le foncteur de restriction du faisceau aux objets au dessus de F et de l'action de G à K
- Le foncteur $j_{K!}$ est celui qui à $\mathcal{F} \in K - (\mathcal{C}/F)_{\text{disc}}^{\sim}$ associe

$$\bigoplus_{\Omega} j_!\mathcal{F}$$

où Ω désigne un ensemble de représentants dans G de $K \backslash G$, dont on vérifie aisément qu'il est muni d'une action lisse de G par "permutations" des éléments de Ω .

- Le foncteur j_{K*} associe à \mathcal{F} le G -faisceau lisse $(\prod_{\Omega} j_*\mathcal{F})^{\text{lss}}$ où Ω est comme précédemment.

Définition 8.9. — On notera $j_K^*(-) = \text{Res}_{K/F}^{G/X}(-)$ la restriction, $j_{K!}(-) = \text{c-ind}_{K/F}^{G/X}(-)$ l'induction compacte et $j_{K*} = \text{Ind}_{K/F}^{G/X}(-)$ l'induite lisse.

On a les formules usuelles de réciprocity de Frobenius qui traduisent les adjonctions entre nos trois foncteurs

$$\begin{aligned} \text{Hom}_{\mathcal{C}_G}(\text{c-ind}_{K/F}^{G/X} \mathcal{F}, \mathcal{G}) &\simeq \text{Hom}_{(\mathcal{C}/F)_K}(\mathcal{F}, \text{Res}_{K/F}^{G/X} \mathcal{G}) \\ \text{Hom}_{\mathcal{C}_G}(\mathcal{G}, \text{Ind}_{K/F}^{G/X} \mathcal{F}) &\simeq \text{Hom}_{(\mathcal{C}/F)_K}(\text{Res}_{K/F}^{G/X} \mathcal{G}, \mathcal{F}) \end{aligned}$$

et les propriétés de transitivité usuelles lorsque $K' \subset K$, $F' \rightarrow F$, l'action de K' se relève à F' en une action discrète et est compatible à celle de K sur F , qu'on laisse en exercice au lecteur.

Exemple 8.10. — Considérons les faisceaux de Λ -modules. Les G -faisceaux lisses $\text{c-ind}_{K/U}^{G/X}(\underline{\Delta})$, pour U dans \mathcal{C} et K agissant sur U relevant l'action de G sur X , vérifient

$$\text{Hom}_G(\text{c-ind}_{K/U}^{G/X}(\underline{\Delta}), \mathcal{F}) \simeq \mathcal{F}(U)^K$$

Ainsi si \mathcal{F} est lisse, $\mathcal{F}(U) = \varinjlim_K \mathcal{F}(U)^K$ et donc les objets $\text{c-ind}_{K/U}^{G/X}(\underline{\Delta})$ forment un système de générateurs de la catégorie abélienne $\Lambda - \tilde{\mathcal{C}}_{G-\text{lss}}$.

Exemple 8.11. — Soit $(U_i \rightarrow Y)_{i \in I}$ une famille finie de morphismes dans \mathcal{C} . On vérifie aisément que le produit fibré $F = \times_{i \in I} h_{U_i} \in \tilde{\mathcal{C}}$ est un K -préfaisceau lisse pour K suffisamment petit. Alors $\text{c-Ind}_{K/F}^{G/X} \underline{\Delta}$ vérifie

$$\text{Hom}_G(\text{c-Ind}_{K/F}^{G/X} \underline{\Delta}, \mathcal{F}) \simeq \text{Hom}(F, \mathcal{F})^K$$

8.4. Les G -faisceaux lisses forment un topos. —

Proposition 8.12. — La catégorie des G -faisceaux lisses $\tilde{\mathcal{C}}_{G-\text{lss}}$ est un topos.

Démonstration. On applique le critère de Giraud (théorème 1.2 de l'exposé IV de SGA4). L'existence de limites projectives finies ne pose pas de problème puisque les limites projectives finies de G -faisceaux lisses dans la catégorie des faisceaux sont encore des G -faisceaux lisses. L'existence de sommes directes quelconques ainsi que de quotients par les relations d'équivalence est une conséquence du lemme 8.4. L'existence d'une petite famille génératrice se déduit des résultats de la sous-section précédente : les faisceaux lisses $\text{c-ind}_{K/U}^{G/X} e$ où e est l'objet final du topos $(\mathcal{C}/U)_{K-\text{lss}}$ forment un système de générateurs de $\tilde{\mathcal{C}}_{G-\text{lss}}$ puisque pour tout $\mathcal{F} \in \tilde{\mathcal{C}}_{G-\text{lss}}$

$$\text{Hom}(\text{c-ind}_{K/U}^{G/X} e, \mathcal{F}) = \mathcal{F}(U)^K$$

et $\mathcal{F}(U) = \varinjlim_K \mathcal{F}(U)^K$. □

Remarque 8.13. — Le topos $\tilde{\mathcal{C}}_{G-\text{lss}}$ est annelé par $\underline{\Delta}$. On en déduit donc d'une autre façon que la catégorie $\Lambda - \tilde{\mathcal{C}}_{G-\text{lss}}$ possède suffisamment d'injectifs.

Remarque 8.14. — Les limites projectives quelconques, non-finies, dans le topos $\tilde{\mathcal{C}}_{G-\text{lss}}$ se calculent de la façon suivante : $\varprojlim_{i \in I} \mathcal{F}_i$ dans $\tilde{\mathcal{C}}_{G-\text{lss}}$ est égal à $(\varprojlim_{i \in I} \mathcal{F}_i)^{\text{lss}}$, la partie lisse de la limite projective des faisceaux usuels.

8.5. Le complexe de cohomologie d'un G -faisceau lisse. —

8.5.1. *Compléments sur la cohomologie de Čech.* — Dans cette sous-section on oublie momentanément les notations précédentes. On reprend ici le formalisme du complexe de Čech développé dans l'exposé V de SGA4 au cas d'un recouvrement $(U_i \rightarrow X)$ pour lequel les produits fibrés $U_{i_1} \times_X \cdots \times_X U_{i_p}$ n'existent pas.

Soit donc \mathcal{C} une catégorie, Λ un anneau et $(U_i \rightarrow X)_i$ une famille finie de morphismes dans \mathcal{C} . On note $R \in \widehat{\mathcal{C}}$ le crible de X engendré par cette famille. Il y a un couple de foncteurs adjoints

$$(j_!, j^*) : \prod_{i \in I} \widehat{\mathcal{C}}/U_i \rightarrow \widehat{\mathcal{C}}/R$$

On note $\Lambda \in \widehat{\mathcal{C}}/R$ le préfaisceau constant.

À un tel couple de foncteurs adjoints est associé un complexe simplicial de Λ -modules (cf. [19] chapitre I section 1.5) D^\bullet

$$\begin{array}{c} D^p \rightrightarrows D^{p+1} \quad \cdots \rightrightarrows D^0 \\ D^p = \underbrace{(j_! j^*) \circ \cdots \circ (j_! j^*)}_{-p+1 \text{ fois}} \Lambda \end{array}$$

dont les flèches simpliciales sont données par les applications d'adjonction. De plus ce complexe est augmenté ver Λ , $D^\bullet \rightarrow \Lambda$.

Lemme 8.15. — $D^\bullet \rightarrow \Lambda$ est une résolution projective de Λ dans $\widehat{\mathcal{C}}/R$.

Démonstration. La famille $(U_i \rightarrow R)_{i \in I}$ étant épimorphique vers l'objet final de $\widehat{\mathcal{C}}/R$ il suffit de montrer que $j^* D^\bullet \rightarrow j^* \Lambda$ est une résolution. Mais le complexe $[j^* D^\bullet \rightarrow j^* \Lambda]$ est homotope à zéro (cf. [19] chapitre I section 1.5). Les D^p sont projectifs car $j_!$ et j^* , possédant tous deux un adjoint à droite, envoient projectifs sur projectifs. \square

Si $\kappa : \widehat{\mathcal{C}}/R \rightarrow \widehat{\mathcal{C}}$, $\Lambda_R = \kappa_! \Lambda$ on obtient donc une résolution projective

$$[C^\bullet \rightarrow \Lambda_R] = \kappa_! [D^\bullet \rightarrow \Lambda]$$

On a concrètement en notant $\forall \{i_1, \dots, i_p\} \subset I$

$$\Lambda_{h_{U_{i_1} \times_R \cdots \times_R h_{U_{i_p}}}} = \delta_! \Lambda \quad \text{où } \delta : \widehat{\mathcal{C}}/h_{U_{i_1} \times_R \cdots \times_R h_{U_{i_p}}} \rightarrow \widehat{\mathcal{C}}$$

où comme d'habitude h_Y désigne le préfaisceau représenté par Y , ce qui peut encore se récrire

$$\begin{aligned} \Lambda_{h_{U_{i_1} \times_R \cdots \times_R h_{U_{i_1}}}} &= \Lambda_{U_{i_1}} \otimes_{\Lambda_R} \cdots \otimes_{\Lambda_R} \Lambda_{U_{i_p}} \\ C^{-p+1} &= \bigoplus_{\{i_1, \dots, i_p\} \subset I} \Lambda_{h_{U_{i_1} \times_R \cdots \times_R h_{U_{i_p}}}} \end{aligned}$$

Si $F \in \Lambda - \widehat{\mathcal{C}}$ est un préfaisceau de Λ -modules on peut donc calculer

$$\forall q \geq 0 \quad H^q(R, F) = \text{Ext}_\Lambda^q(\Lambda_R, F) = H^q(\text{Hom}_\Lambda(C^\bullet, F))$$

où $H^q(R, -)$ désigne la cohomologie dans le topos $\widehat{\mathcal{C}}$.

Supposons maintenant que \mathcal{C} est un site et soit $\mathcal{F} \in \Lambda - \widehat{\mathcal{C}}$ un faisceau de Λ -modules. On note comme dans l'exposé V de SGA4 $\mathcal{H}^0 : \widehat{\mathcal{C}} \rightarrow \widehat{\mathcal{C}}$ le plongement canonique. On a alors

$$H^q(R, \mathcal{H}^0(\mathcal{F})) = H^q(\text{Hom}(C^\bullet, \mathcal{H}^0(\mathcal{F}))) = H^q(\text{Hom}(aC^\bullet, \mathcal{F}))$$

où aC^\bullet est le complexe de faisceaux associé au complexe de préfaisceaux C^\bullet . Ce complexe se calcule comme précédemment en remplaçant $\widehat{\mathcal{C}}$ par $\widetilde{\mathcal{C}}$, les catégories $\widehat{\mathcal{C}}/(-)$ par $\widetilde{\mathcal{C}}/(-)$ et les foncteurs $(j_!, j^*)$ par leurs analogues faisceautiques.

Rappelons que si $F \in \widehat{\mathcal{C}}$ alors $\widetilde{\mathcal{C}}/F = \widetilde{\mathcal{C}}/aF$. Étant donné que $aR = X$ on en déduit que

$$aC^{-p+1} = \bigoplus_{\{i_1, \dots, i_p\} \subset I} \underline{\Lambda}_{h_{U_{i_1} \times_{h_X} \cdots \times_{h_X} h_{U_{i_p}}}} = \bigoplus_{\{i_1, \dots, i_p\} \subset I} \underline{\Lambda}_{U_{i_1}} \otimes_{\underline{\Lambda}_X} \cdots \otimes_{\underline{\Lambda}_X} \underline{\Lambda}_{U_{i_p}}$$

8.6. Le théorème d'acyclicité. — On reprend maintenant les hypothèses des sections antérieures.

Hypothèses : On suppose que si $(U_i \rightarrow Y)_{i \in I}$ est une famille couvrante finie alors $\forall p \ \forall \{i_1, \dots, i_p\} \subset I$ le préfaisceau $h_{U_{i_1}} \times_{h_Y} \cdots \times_{h_Y} h_{U_{i_p}}$ est quasicompact dans $\tilde{\mathcal{C}}$ muni de la topologie définie dans la section 5 de l'exposé II de SGA4. Cette dernière condition, vérifiée par exemple si la topologie sur \mathcal{C} est induite par une prétopologie, signifie qu'il existe une famille finie $(V_\alpha \rightarrow h_{U_{i_1}} \times_{h_Y} \cdots \times_{h_Y} h_{U_{i_p}})_\alpha$ où $V_\alpha \in \mathcal{C}$ telle que $\forall \mathcal{F} \in \tilde{\mathcal{C}} \ \text{Hom}(h_{U_{i_1}} \times_{h_Y} \cdots \times_{h_Y} h_{U_{i_p}}, \mathcal{F}) \hookrightarrow \prod_\alpha \mathcal{F}(V_\alpha)$.

Théorème 8.16. — Sous les hypothèses précédentes si $\mathcal{F} \in \Lambda - \tilde{\mathcal{C}}_{G-lss}$ est un G -faisceau lisse de Λ -modules injectif alors le faisceau sous-jacent de Λ -modules est flasque.

Démonstration. Soit $(U_i \rightarrow Y)_{i \in I}$ une famille couvrante finie. Soit R le crible de Y engendré par cette famille. D'après la proposition 4.3 de l'exposé V de SGA4 on doit montrer que

$$\forall q > 0 \ H^q(R, \mathcal{H}^0(\mathcal{F})) = 0$$

Utilisons les résultats et notations de la sous-section précédente pour écrire

$$H^q(R, \mathcal{H}^0(\mathcal{F})) = H^q(\text{Hom}_{\Lambda - \tilde{\mathcal{C}}}(\underline{aC}^\bullet, \mathcal{F}))$$

où $\underline{aC}^{-p+1} = \bigoplus_{\{i_1, \dots, i_p\} \subset I} \underline{\Delta}_{h_{U_{i_1}} \times_{h_X} \cdots \times_{h_X} h_{U_{i_p}}}$. Soit donc $\{i_1, \dots, i_p\} \subset I$ et $F = h_{U_{i_1}} \times_{h_X} \cdots \times_{h_X} h_{U_{i_p}} \in \tilde{\mathcal{C}}$. Considérons des sous-groupes compacts ouverts K suffisamment petits tels que l'action de K sur X s'étende à chacun des U_i et donc à F . Un tel sous-groupe K agit sur

$$\mathcal{F}(F) = \text{Hom}_{\Lambda - \tilde{\mathcal{C}}}(\underline{\Delta}_F, \mathcal{F})$$

Il y a une application injective

$$\lim_{\substack{\longrightarrow \\ K}} \mathcal{F}(F) \hookrightarrow \mathcal{F}(F)$$

Cette application est bijective car si $(V_\alpha \rightarrow F)_\alpha$ est une famille finie comme dans les hypothèses de cette section alors $\mathcal{F}(F) \hookrightarrow \prod_\alpha \mathcal{F}(V_\alpha)$ et $\forall \alpha \ \mathcal{F}(V_\alpha) = \bigcup_K \mathcal{F}(V_\alpha)^K$. . Donc

$$\text{Hom}(\underline{aC}^\bullet, \mathcal{F}) = \lim_{\substack{\longrightarrow \\ K}} \text{Hom}(\underline{aC}^\bullet, \mathcal{F})^K$$

La limite inductive étant filtrante il suffit de montrer que $\forall K$ suffisamment petit $\text{Hom}(\underline{aC}^\bullet, \mathcal{F})^K$ est acyclique en degré > 0 .

Soit donc K petit. On a un couple de foncteurs adjoints comme dans la section 8.3.4

$$(j_{K!}, j_K^*) : \prod_{i \in I} (\mathcal{C}/U_i)_{K-lss} \longrightarrow \tilde{\mathcal{C}}_{G-lss}$$

d'où une résolution dans $\Lambda - \tilde{\mathcal{C}}_{G-lss}$

$$N^\bullet \longrightarrow \underline{\Delta}$$

$$N^{-p+1} = \underbrace{(j_{K!} j_K^*) \circ \cdots \circ (j_{K!} j_K^*)}_{p \text{ fois}} = \bigoplus_{\{i_1, \dots, i_p\} \subset I} \text{c-ind}_{K/h_{U_{i_1}} \times_{h_X} \cdots \times_{h_X} h_{U_{i_p}}}^{G/X} \underline{\Delta}$$

et $\text{Hom}_{\Lambda - \tilde{\mathcal{C}}}(\underline{aC}^\bullet, \mathcal{F})^K = \text{Hom}_{\Lambda - \tilde{\mathcal{C}}_{G-lss}}(N^\bullet, \mathcal{F})$. D'où le résultat. \square

8.7. Cohomologie des G -faisceaux lisses. —

Théorème 8.17. — Supposons les hypothèses de la section précédente vérifiées. Soit $\mathcal{F} \in \Lambda - \tilde{\mathcal{C}}_{G-lss}$ un G -faisceau de Λ -modules lisse. Alors $\forall U \in \mathcal{C} \ \forall q \geq 0$ le $\Lambda[G]$ -module $H^q(U, \mathcal{F})$ est lisse. De plus le foncteur

$$\begin{aligned} \Lambda - \tilde{\mathcal{C}}_{G-lss} &\longrightarrow G - \mathbb{D}^+(\Lambda) \\ \mathcal{F} &\longmapsto R\Gamma(U, \mathcal{F}) \end{aligned}$$

se factorise de façon canonique par $\mathbb{D}^+(\Lambda[G]_{lss})$ en un foncteur $\mathcal{F} \longmapsto R\Gamma_G(U, \mathcal{F})$.

Démonstration. Il suffit d'appliquer le théorème précédent et d'écrire le foncteur dérivé comme foncteur composé. Plus précisément, le foncteur

$$\begin{aligned} F : \Lambda - \widetilde{\mathcal{C}}_{G-\text{lss}} &\longrightarrow \Lambda[G] - \text{Mod}_{\text{lss}} \\ \mathcal{F} &\longmapsto \Gamma(U, \mathcal{F}) \end{aligned}$$

se factorise en $F = G \circ k$ où k est le foncteur exact de l'inclusion de $\Lambda - \widetilde{\mathcal{C}}_{G-\text{lss}}$ dans $\Lambda - \widetilde{\mathcal{C}}$ et $G = \Gamma(U, -)$. D'après le théorème précédent $RF = RG \circ k$. \square

8.8. Faisceaux lisses sur une tour formée par un pro-torseur. —

Soit \mathcal{C} un site. Soit G un groupe fini et $Y \xrightarrow{p} X$ un G -torseur au dessus de X dans \mathcal{C} . Rappelons qu'il y a une équivalence

$$\begin{aligned} \text{Faisceaux sur } X &\xrightarrow{\sim} \text{Faisceaux } G\text{-équivariants sur } Y \\ \mathcal{F} &\longmapsto p^* \mathcal{F} \end{aligned}$$

où G -équivariant signifie une action compatible à celle de G sur Y (ce que les adeptes des champs notent $[G \backslash Y] = X$). L'équivalence inverse est donnée par

$$\mathcal{G} \longmapsto (p_* \mathcal{G})^G$$

Le but de cette section est de généraliser cela aux pro-torseur sous un groupe profini.

Exemple 8.18. — Avant de nous lancer expliquons de que l'on veut faire dans un cas particulièrement simple. Soit k un corps de clôture séparable \bar{k} et X un k -schéma de type fini. Le topos étale de $X_{\bar{k}}$ s'identifie à la limite projective des topos étales X_L où $L|k$ parcourt les extensions galoisiennes de degré fini. En effet, le site étale de $X_{\bar{k}}$ s'identifie à la limite inductive des sites X_L , $L|k$ galois finie, au sens où les $X_{\bar{k}}$ -schémas étales (quasicompacts) sont les germes de X_L -schémas étales lorsque L varie et un morphisme de germe est couvrant en un niveau suffisamment grand ssi il le devient sur $X_{\bar{k}}$. Les faisceaux étales sur X s'identifient alors via p^* où $p : X_{\bar{k}} \rightarrow X$ aux faisceaux étales sur $X_{\bar{k}}$ munis d'une action de $\text{Gal}(\bar{k}|k)$ compatible à celle de $\text{Gal}(\bar{k}|k)$ sur $X_{\bar{k}}$ qui est discrète au sens où les sections sur un schéma étale quasicompact ont un stabilisateur ouvert. La condition est une condition de continuité sur la donnée de descente relativement au pro- $\text{Gal}(\bar{k}|k)$ -torseur $X_{\bar{k}} \rightarrow X$.

Soit donc G un groupe profini et $(G_i)_{i \geq 0}$ une famille décroissante de sous-groupes ouverts distingués dans G telle que $\bigcap_{i \geq 0} G_i = \{e\}$ et $G_0 = G$. Supposons nous donné une tour dans \mathcal{C}

$$\dots \rightarrow X_{i+1} \rightarrow X_i \rightarrow \dots \rightarrow X_0$$

où l'on notera $\forall i \geq j$ $\varphi_{ij} : X_i \rightarrow X_j$. Supposons que cette tour est munie d'une action de G au sens où $\forall i$ G/G_i agit sur X_i et $\forall i \geq j$ le morphisme $X_i \rightarrow X_j$ est compatible à ces actions via $G/G_i \rightarrow G/G_j$.

Supposons de plus que $\forall i$ l'action de G/G_i sur X_i fasse de X_i un G/G_i -torseur au dessus de X_0 (et donc $\forall i \geq j$ $X_i \rightarrow X_j$ est un G_i/G_j -torseur).

Considérons le système projectif de topos

$$\dots \rightarrow \widetilde{\mathcal{C}}/X_{i+1} \rightarrow \widetilde{\mathcal{C}}/X_i \rightarrow \dots \rightarrow \widetilde{\mathcal{C}}/X_0$$

où rappelons que les topos $\widetilde{\mathcal{C}}/U_i$ s'identifient aux $(\mathcal{C}/U_i)^\sim$. La limite projective de ce système $\mathcal{T}_\infty = \varprojlim_{i \geq 0} (\widetilde{\mathcal{C}}/X_i)$ est la catégories des système $(\mathcal{F}_i)_{i \geq 0}$, $\mathcal{F}_i \in \widetilde{\mathcal{C}}/X_i$, munis d'isomorphisme

$c_{ij} : \forall i \geq j$ $\varphi_{ij*} \mathcal{F}_i \xrightarrow{\sim} \mathcal{F}_j$ vérifiant une condition de cocycle.

Il y a une "action" de G sur \mathcal{T}_∞ au sens où pour tout $g \in G$ il y a une équivalence de topos $\alpha_g : \mathcal{T}_\infty \rightarrow \mathcal{T}_\infty$ définie par $\alpha_g = (g^*, g_*)$ où $g^*((\mathcal{F}_i)_i, (c_{ij})_{i \geq j}) = ((g^* \mathcal{F}_i)_i, (g^*(c_{ij}))_{i \geq j})$ vérifiant $\forall g, g' \in G$ il a une transformation naturelle $\alpha_{gg'} \xrightarrow{\sim} \alpha_g \circ \alpha_{g'}$ satisfaisant la condition une condition de cocycle. On peut donc définir

$$G - \mathcal{T}_\infty$$

la catégorie des G -objets dans \mathcal{T}_∞ comme étant les $A \in \mathcal{T}_\infty$ munis d'isomorphismes $\forall g \in G \ g^* A \xrightarrow{\sim} A$ satisfaisant une condition de cocycle. On vérifie qu'en fait

$$G - \mathcal{T}_\infty \xrightarrow{\sim} \varprojlim_{i \geq 0} (\mathcal{C}/X_i)_{\widetilde{G}}$$

On remarquera qu'il faudra faire attention à ne pas prendre $(\mathcal{C}/X_i)_{\widetilde{G}/G_i}$ mais bien $(\mathcal{C}/X_i)_{\widetilde{G}}$ et que $(\mathcal{C}/X_i)_{\widetilde{G}}$ est par définition la catégorie des faisceaux G -équivariants au dessus de X_i au sens où l'action est compatible l'action de G sur X_i via $G \rightarrow G/G_i$; en particulier un $\mathcal{F} \in (\mathcal{C}/X_i)_{\widetilde{G}}$ est muni d'une action "abstraite" de G_i .

Pour tout $i \geq 0$ l'objet X_i muni de son action de G via $G \rightarrow G/G_i$ vérifie les hypothèses de la section 8.1 puisque G_i agit trivialement sur X_i . On peut donc définir $(\mathcal{C}/X_i)_{\widetilde{G}\text{-lss}}$ la catégorie des G -faisceaux lisses. Un $\mathcal{F} \in (\mathcal{C}/X_i)_{\widetilde{G}\text{-lss}}$ est lisse ssi le faisceau muni d'une action de $G_i \text{ Res}_{G_i/X_i}^{G/X_i} \mathcal{F}$ l'est.

Lemme 8.19. — Soit $(\mathcal{F}_i)_{i \geq 0} \in G - \mathcal{T}_\infty$ où $\forall i \ \mathcal{F}_i \in (\mathcal{C}/X_i)_{\widetilde{G}}$. Sont équivalents

- $\forall i \ \mathcal{F}_i$ est lisse
- \mathcal{F}_0 est lisse

Démonstration. Supposons \mathcal{F}_0 lisse. On a un isomorphisme $\forall i \ \mathcal{F}_0 \xrightarrow{\sim} \varphi_{i0*} \mathcal{F}_i$. Donc, si $K \subset G_i$, K agissant trivialement sur U_i

$$\mathcal{F}_0^K \xrightarrow{\sim} \varphi_{i0*}(\mathcal{F}_i^K)$$

(puisque φ_{i0*} est le foncteur image directe d'un morphisme de topos il commute aux limites projectives quelconques et donc aux invariants sous K). Le faisceau \mathcal{F}_i est lisse ssi

$$\alpha : \varinjlim_{K \subset G_i} \mathcal{F}_i^K \hookrightarrow \mathcal{F}_i$$

est un isomorphisme. Il y a un diagramme

$$\begin{array}{ccccc} \varinjlim_K \mathcal{F}_0^K & \xrightarrow{\simeq} & \varinjlim_K \varphi_{i0*}(\mathcal{F}_i^K) & \xrightarrow{\simeq} & \varphi_{i0*}(\varinjlim_K \mathcal{F}_i^K) \\ & \searrow \simeq & & & \downarrow \varphi_{i0*}(\alpha) \\ & & \mathcal{F}_0 & \xrightarrow{\simeq} & \varphi_{i0*} \mathcal{F}_i \end{array}$$

(où φ_{i0*} commute aux limites inductives car $X_i \rightarrow X_0$ étant un toseur sous un groupe fini $\varphi_{i0*} = \varphi_{i0}!$ "est adjoint à gauche de $\varphi_{i0}^* = \varphi_{i0}^1$ ".) Donc $\varphi_{i0*}(\alpha)$ est un isomorphisme ce qui implique que α en est un puisque φ_{i0} est couvrant. \square

Par définition on notera $(G - \mathcal{T}_\infty)_{\text{lss}}$ les systèmes projectifs de faisceaux satisfaisant les hypothèses du lemme précédent.

Théorème 8.20. — Supposons que tout objet de \mathcal{C} est quasicompact. Il y a alors une équivalence de catégories entre $(G - \mathcal{T}_\infty)_{\text{lss}}$, les faisceaux en niveau infini munis d'une action lisse de G compatible à l'action sur la tour, et $(\mathcal{C}/X_0)_{\widetilde{G}}$, les faisceaux sur la base de la tour.

Démonstration. Soit $(\mathcal{F}_i)_{i \geq 0}$ un objet de $(G - \mathcal{T}_\infty)_{\text{lss}}$ où $\forall i \ \mathcal{F}_i$ est muni d'une action de G compatible à celle de G/G_i sur X_i . Associons lui $\mathcal{F}_0^G \in (\mathcal{C}/X_0)_{\widetilde{G}}$ le faisceau des invariants de \mathcal{F}_0 sous G .

Réciproquement, étant donné $\mathcal{G} \in (\mathcal{C}/X_0)_{\widetilde{G}}$ posons

$$\forall i \geq 0 \ \mathcal{F}_i = \varinjlim_{j \geq i} \varphi_{ji*} \varphi_{j0}^* \mathcal{G}$$

Étant donné que $\varphi_{j0}^* \mathcal{G}$ est muni d'une action de G/G_j compatible à celle de sur X_j si $j \geq i$ le faisceau $\varphi_{ji*} \varphi_{j0}^* \mathcal{G}$ est muni d'une action de G/G_j compatible à l'action de G/G_j sur X_i via $G/G_j \rightarrow G/G_i$. De plus \mathcal{F}_i est lisses comme limite inductive de faisceaux lisses (lemme 8.4).

Reste à voir que cela définit bien des équivalences inverses.
Si $(\mathcal{F}_i)_i \in (G - \mathcal{T}_\infty)_{\text{lss}}^\sim$, \mathcal{F}_i étant lisse

$$\mathcal{F}_i = \varinjlim_{j \geq i} \mathcal{F}_i^{G_j}$$

L'isomorphisme $\mathcal{F}_i \xrightarrow{\sim} \varphi_{ji*} \mathcal{F}_j$ induit $\mathcal{F}_i^{G_j} \xrightarrow{\sim} \varphi_{ji*}(\mathcal{F}_j^{G_j})$. Le faisceau $\mathcal{F}_j^{G_j}$ sur X_j est muni d'une action de G/G_j compatible à celle sur X_j . D'après les rappels du début de cette section, puisque $X_j \rightarrow X_0$ est un G/G_j -torseur, cela implique

$$\begin{aligned} \mathcal{F}_j^{G_j} &\simeq \varphi_{j0}^* \left[\varphi_{j0*}(\mathcal{F}_j^{G_j}) \right]^{G/G_j} = \varphi_{j0}^* ((\varphi_{j0*} \mathcal{F}_j)^G) \\ &\simeq \varphi_{j0}^*(\mathcal{F}_0^G) \end{aligned}$$

Donc au final

$$\mathcal{F}_i \simeq \varinjlim_{j \geq i} \varphi_{ji*} \varphi_{j0}^*(\mathcal{F}_0^G)$$

Dans l'autre sens si $\mathcal{G} \in (\mathcal{C}/X_0)^\sim$, soit

$$\mathcal{F}_0 = \varinjlim_{i \geq 0} \varphi_{i0*} \varphi_{i0}^* \mathcal{G}$$

Utilisant l'hypothèse de quasicompacité on vérifie que le préfaisceau limite inductive précédent est séparé. On en déduit alors en utilisant la définition du faisceau associé à un préfaisceau séparé couplée à l'hypothèse de quasicompacité que

$$\begin{aligned} \mathcal{F}_0^G &= \varinjlim_{i \geq 0} [(\varphi_{i0*} \varphi_{i0}^* \mathcal{G})^G] = \varinjlim_{i \geq 0} [(\varphi_{i0*} \varphi_{i0}^* \mathcal{G})^{G/G_i}] \\ &= \varinjlim_{i \geq 0} \mathcal{G} = \mathcal{G} \end{aligned}$$

□

9. Cohomologie à support compacte équivariante-lisse des espaces analytiques de Berkovich

Soit X un K -espace analytique de Berkovich paracompact. L'espace X vérifie cette hypothèse si par exemple $X = \mathfrak{X}^{an}$ où \mathfrak{X} est un schéma formel localement formellement de type fini sur $\text{Spf}(\mathcal{O}_K)$. On fixe un anneau Λ qui servira comme coefficients.

9.1. Les quatre suites spectrales de cohomologie de Čech permettant de calculer la cohomologie à support compact. — On note $X_{\text{ét}}$ le site étale de X tel que défini dans [4].

Théorème 9.1. — *Soit \mathcal{F} un faisceau de Λ -modules sur $X_{\text{ét}}$.*

- *Soit $(U_i)_{i \in I}$ un recouvrement ouvert de X tel que $\forall i \{j \mid U_j \cap U_i \neq \emptyset\}$ soit fini. Il y a alors une suite spectrale concentrée dans le quadrant ($p \leq 0, q \geq 0$)*

$$E_1^{pq} = \bigoplus_{\substack{\alpha \subset I \\ |\alpha| = -p+1}} H_c^q(U(\alpha), \mathcal{F}) \implies H_c^{p+q}(X, \mathcal{F})$$

où $U(\alpha) = \bigcap_{i \in \alpha} U_i$.

- *Soit $(U_i)_{i \in I}$ un recouvrement ouvert localement fini de X tel que $\forall i \overline{U_i}$ soit compact. Il y a alors une suite spectrale concentrée dans le quadrant ($p \geq 0, q \geq 0$)*

$$E_1^{pq} = \bigoplus_{\substack{\alpha \subset I \\ |\alpha| = p+1}} H^q(U(\alpha), \mathcal{F}) \implies H_c^{p+q}(X, \mathcal{F})$$

où $U(\alpha) = \bigcap_{i \in \alpha} U_i$.

- Soit $(W_i)_{i \in I}$ un recouvrement localement fini de X formé de domaines analytiques fermés compacts. Il y a alors une suite spectrale concentrée dans le cadran $(p \geq 0, q \geq 0)$

$$E_1^{pq} = \bigoplus_{\substack{\alpha \subset I \\ |\alpha| = p+1}} H^q(W(\alpha), \mathcal{F}) \implies H_c^{p+q}(X, \mathcal{F})$$

où $W(\alpha) = \bigcap_{i \in \alpha} W_i$.

- Sous les mêmes hypothèses que précédemment, supposant de plus que les intérieurs $\overset{\circ}{W}_i$ recouvrent X , il y a une suite spectrale concentrée dans le cadran $(p \leq 0, q \geq 0)$

$$E_1^{pq} = \bigoplus_{\substack{\alpha \subset I \\ |\alpha| = -p+1}} H_{W(\alpha)}^q(X, \mathcal{F}) \implies H_c^{p+q}(X, \mathcal{F})$$

Démonstration. On considère les deux morphismes surjectifs

$$j : \prod_{i \in I} U_i \longrightarrow X \quad i : \prod_{i \in I} W_i \longrightarrow X$$

auxquels sont associés quatre couples de foncteurs adjoints $(j_!, j^*)$ pour la première suite spectrale, (j^*, j_*) pour la seconde, (i^*, i_*) pour la troisième et $(i_*, i^!)$ pour la dernière. Soit \mathcal{G} un faisceau de Λ -modules sur $X_{\text{ét}}$. À chacun de ces couples de foncteurs adjoints est associé une résolution simpliciale, $C^\bullet \longrightarrow \mathcal{F}$, ou co-simpliciale, $\mathcal{G} \longrightarrow C^\bullet$ où si $j_\alpha : U(\alpha) \longrightarrow X$, $i_\alpha : W(\alpha) \longrightarrow X$,

$$C^p = \bigoplus_{\substack{\alpha \subset I \\ |\alpha| = -p+1}} j_{\alpha!} j_\alpha^* \mathcal{G} \quad \Gamma_c(X, C^p) = \bigoplus_{\substack{\alpha \subset I \\ |\alpha| = -p+1}} \Gamma_c(U(\alpha), \mathcal{G})$$

pour la première suite spectrale

$$C^p = \prod_{\substack{\alpha \subset I \\ |\alpha| = p+1}} j_{\alpha*} j_\alpha^* \mathcal{G} \quad \Gamma_c(X, C^p) = \bigoplus_{\substack{\alpha \subset I \\ |\alpha| = p+1}} \Gamma(U(\alpha), \mathcal{G})$$

pour la seconde (utiliser l'hypothèse que les \overline{U}_i sont compacts et les U_i localement finis pour voir que $\Gamma_c(X, C^p) \subset \Gamma(X, C^p) = \prod_{|\alpha| = p+1} \Gamma(U(\alpha), \mathcal{G})$ est le sous-module formé par la somme directe),

$$C^p = \prod_{\substack{\alpha \subset I \\ |\alpha| = p+1}} i_{\alpha*} i_\alpha^* \mathcal{G} \quad \Gamma_c(X, \mathcal{G}) = \bigoplus_{\substack{\alpha \subset I \\ |\alpha| = p+1}} \Gamma(W(\alpha), \mathcal{G})$$

pour la troisième,

$$C^p = \prod_{\substack{\alpha \subset I \\ |\alpha| = -p+1}} i_{\alpha*} i_\alpha^! \mathcal{G} \quad \Gamma_c(X, C^p) = \bigoplus_{\substack{\alpha \subset I \\ |\alpha| = -p+1}} \Gamma_{W(\alpha)}(X, \mathcal{G})$$

pour la dernière (pour vérifier que cette dernière est une résolution il faut utiliser que lorsqu'on lui applique $i^!$ elle devient une résolution et que puisque les intérieurs des W_i recouvrent X cela implique que c'est une résolution).

Soit $\pi : X_{\text{ét}}^\sim \longrightarrow |X|^\sim$ la projection du topos étale sur celui de l'espace paracompact $|X|$. Rappelons qu'un faisceau \mathcal{H} sur $X_{\text{ét}}$ est dit mou si sa projection $\pi_* \mathcal{H}$ est un faisceau mou au sens de Godement et si $\forall x \in X$ le module galoisien lisse $\mathcal{H}_x = i_x^* \mathcal{H}$, $i_x : \mathcal{M}(\mathcal{K}(x)) \longrightarrow X$, est flasque. Si \mathcal{H} est mou alors $\forall i > 0$ $R^i \pi_* \mathcal{H} = 0$ grâce à l'hypothèse sur les fibres, et $\pi_* \mathcal{H}$ est $\Gamma_c(|X|, -)$ -acyclique. Les faisceaux mous sur $X_{\text{ét}}$ sont donc $\Gamma_c(X, -)$ -acycliques. Tout faisceau injectif est mou. On notera également que la notion d'être mou est une notion locale sur $|X|$.

Soit \mathcal{G} un faisceau de Λ -modules injectif.

- Pour la première suite spectrale $\bigoplus_{\substack{\alpha \subset I \\ |\alpha| = -p+1}} j_{\alpha!} j_\alpha^* \mathcal{G}$ est un faisceau mou car une somme directe

finie de faisceaux mous est molle, la notion de mollesse est locale sur $|X|$, les $(U_i)_i$ sont localement finis donc la somme directe précédente est localement une somme finie et enfin pour une immersion ouverte $\varphi : V \hookrightarrow X$ φ^* et $\varphi_!$ transforment faisceaux mous en faisceaux mous. On déduit également de ces arguments que $\forall \alpha$ $j_\alpha^* \mathcal{G}$ étant mou est $\Gamma_c(U(\alpha), -)$ -acyclique.

- Pour la seconde suite spectrale $\prod_{\substack{\alpha \subset I \\ |\alpha|=p+1}} j_{\alpha*} j_{\alpha}^* \mathcal{G}$ est un faisceau injectif comme produit de faisceaux injectifs (si $\varphi : V \hookrightarrow X$ est une immersion ouverte alors φ^* , resp. φ_* , a comme adjoint à gauche $\varphi_!$, resp. φ^* , donc φ^* et φ_* envoient les injectifs sur des injectifs). De même $\forall \alpha j_{\alpha}^* \mathcal{G}$ est injectif.
- Pour la troisième $C^p = \prod_{\substack{\alpha \subset I \\ |\alpha|=p+1}} i_{\alpha*} i_{\alpha}^* \mathcal{G}$ est mou car la notion de mollesse est locale sur $|X|$, localement sur $|X|$ le produit précédent est fini, si $\varphi : Z \hookrightarrow X$ est l’immersion définie par un domaine analytique compact alors φ^* et $\varphi_* = \varphi_!$ conservent la mollesse. De même $\forall \alpha i_{\alpha}^* \mathcal{G}$ étant mou et $W(\alpha)$ compact il est $\Gamma(W(\alpha), -)$ -acyclique.
- Enfin pour la dernière suite spectrale $C^p = \prod_{\substack{\alpha \subset I \\ |\alpha|=p+1}} i_{\alpha*} i_{\alpha}^! \mathcal{G}$ est injectif comme produit d’injectifs puisque si $\varphi : Z \hookrightarrow X$ alors φ_* et $\varphi^!$, qui possèdent tous deux des adjoints à gauche, envoient injectifs sur injectifs. De même $\forall \alpha i_{\alpha}^! \mathcal{G}$ est injectif.

Les résolutions $C^\bullet(\mathcal{G})$ sont fonctorielles en \mathcal{G} . Si $\mathcal{F} \rightarrow \mathcal{I}^\bullet$ est une résolution injective le complexe total du complexe double $\Gamma_c(X, C^\bullet(\mathcal{I}^\bullet))$ fournit les suites spectrales voulues. \square

9.2. Le site quasi-étale de X et cohomologie à support compact. — On note $X_{\text{ét}}$ le site étale de X , $X_{\text{qét}}$ son site quasi-étale ([5]) et enfin $X_{\text{qétc}}$ le site quasi-étale compact qui est le “sous-site” de $X_{\text{qét}}$ formé des morphismes quasi-étales $U \rightarrow X$ avec U compact.

Il y a un morphisme de sites $X_{\text{qét}} \rightarrow X_{\text{ét}}$ qui induit un morphisme de topos ([5] section 3)

$$(\mu^*, \mu_*) : X_{\text{qét}} \rightarrow X_{\text{ét}}$$

Il y a également un morphisme de sites $X_{\text{qét}} \rightarrow X_{\text{qétc}}$ qui induit une équivalence de topos

$$X_{\text{qét}} \xrightarrow{\sim} X_{\text{qétc}}$$

On en déduit un morphisme de topos

$$(\nu^*, \nu_*) : X_{\text{qétc}} \rightarrow X_{\text{ét}}$$

auquel s’appliquent tous les résultats de la section 3 de [5] concernant (μ^*, μ_*) .

Concrètement si \mathcal{F} est un faisceau sur $X_{\text{ét}}$ et $f : W \rightarrow X$ quasi-étale avec W compact on a $\Gamma(W, \nu^* \mathcal{F}) = \Gamma(W, f^* \mathcal{F})$. Si \mathcal{G} est un faisceau sur $X_{\text{qétc}}$ et $f : U \rightarrow X$ est étale alors $\Gamma(U, \nu_* \mathcal{G}) = \varprojlim_{W \subset U} \Gamma(W, \mathcal{F})$ où W parcourt les domaines analytiques compacts dans U .

Remarque 9.2. — Si X^{rig} est l’espace rigide associé à X ([4] section 1.6) alors $X_{\text{qét}}^{\sim}$ s’identifie au topos rig-étale de X^{rig} . Le foncteur μ^* est pleinement fidèle d’image essentielle les faisceaux rig-étale surconvergentes. De même si X^{ad} désigne l’espace adique sur $\text{Spa}(\mathcal{O}_K, K)$ associé à X ([17] section 8.3) alors $X_{\text{qét}}^{\sim}$ s’identifie au topos étale de X^{ad} et $X_{\text{ét}}^{\sim}$ au topos étale partiellement propre de X^{ad} . Dans le cadre des espaces adiques le morphisme de topos (μ^*, μ_*) est alors celui noté θ_X dans le chapitre 8 de [17].

Proposition 9.3. — *Soit \mathcal{F} un faisceau de Λ -modules sur $X_{\text{ét}}$ tel que $\nu^* \mathcal{F}$ soit flasque sur $X_{\text{qétc}}$. Alors \mathcal{F} est $\text{R}\Gamma_c(X, -)$ -acyclique.*

Démonstration. Appliquons la troisième suite spectrale du théorème 9.1 dont on reprend les notations. L’espace X étant paracompact il existe un recouvrement $(W_i)_{i \in I}$ tel que dans les hypothèses de ce théorème. De plus $\forall \alpha \subset I$ de cardinal fini

$$\forall q > 0 \ H^q(W(\alpha), \mathcal{F}) = H^q(W(\alpha), \nu^* \mathcal{F})$$

([5] théorème 3.3) qui est nul puisque $W(\alpha)$ est dans $X_{\text{qétc}}$. \square

Proposition 9.4. — *Soit \mathcal{F} un faisceau flasque sur $X_{\text{qétc}}$. Alors \mathcal{F} est ν_* -acyclique.*

Démonstration. Pour $q > 0$ le faisceau $R^q \nu_* \mathcal{F}$ est le faisceau associé au préfaisceau qui à $f : U \rightarrow X$ étale associe $H^q(U_{\text{qétc}}, f^* \mathcal{F})$. Mais tout point d'un tel U possède un voisinage $W \subset U$ où $W \rightarrow X$ est dans $X_{\text{qétc}}$. Alors $H^q(W_{\text{qétc}}, (f^* \mathcal{F})|_W) = H^q(W, \mathcal{F}) = 0$. \square

Proposition 9.5. — *Soit \mathcal{F} un faisceau flasque sur $X_{\text{qétc}}$. Alors $\nu_* \mathcal{F}$ est $R\Gamma_c(X, -)$ -acyclique et $\nu^* \nu_* \mathcal{F}$ est flasque sur $X_{\text{qétc}}$.*

Démonstration. D'après la proposition 9.9 il suffit de montrer que $\nu^* \nu_* \mathcal{F}$ est flasque. Mais si $f : W \rightarrow X$ est un morphisme dans $X_{\text{qétc}}$ alors $H^q(W, \nu^* \nu_* \mathcal{F}) = H^q(W, \nu_*(f^* \mathcal{F})) = H^q(W, \mathcal{F})$ d'après la proposition précédente. \square

Corollaire 9.6. — *Soit \mathcal{F} un faisceau de groupes abéliens sur $X_{\text{ét}}$ tel que $\nu^* \mathcal{F}$ soit flasque sur $X_{\text{qétc}}$. Alors \mathcal{F} est mou.*

Démonstration. Soit $x \in X$ et $i_x : \mathcal{M}(\mathcal{K}(x)) \rightarrow X$. Alors on a une égalité de modules galoisiens $i_x^* \mathcal{F} = i_x^* \nu^* \mathcal{F}$ qui est donc flasque. Soit maintenant U un ouvert de X et $K \subset |U|$ un compact. On doit montrer que l'application $\Gamma(U, \mathcal{F}) \rightarrow \Gamma(K, \mathcal{F})$ est surjective où K est vu comme germe d'espace analytique dans X au sens de la section 3.4 de [5]. Mais il y a une suite exacte

$$0 \rightarrow \Gamma_c(U \setminus K, \mathcal{F}) \rightarrow \Gamma_c(U, \mathcal{F}) \rightarrow \Gamma(K, \mathcal{F}) \rightarrow H_c^1(U \setminus K, \mathcal{F})$$

Le terme de droite est nul d'après la proposition précédente. \square

9.3. Faisceaux équivariants lisses. — On applique maintenant le formalisme de la section 8. Soit G un groupe topologique possédant un sous-groupe ouvert profini et agissant continûment sur X au sens de la section 6 de [5]. D'après le théorème 7.1 de [5] le site $X_{\text{qétc}}$ satisfait aux hypothèses de la section 8. On note $X_{\text{qétc}-G-\text{lss}}$ le topos des faisceaux G -équivariants lisses sur $X_{\text{qétc}}$.

Définition 9.7. — On note $X_{\text{ét}-G-\text{lss}}$ la catégorie des G -faisceaux sur $X_{\text{ét}}$ tels que $\nu^* \mathcal{F}$ soit lisse.

En d'autres termes un G -faisceau étale \mathcal{F} est lisse ssi $\forall f : W \rightarrow X$ quasi-étale avec W compact et K un sous-groupe compact ouvert de G dont l'action se relève à W le K -ensemble $\Gamma(W, f^* \mathcal{F})$ est lisse.

Lemme 9.8. — *La catégorie $\Lambda - X_{\text{ét}-G-\text{lss}}$ est abélienne et possède suffisamment d'injectifs. Elle s'identifie à l'image essentielle par ν_* de $\Lambda - X_{\text{qétc}-G-\text{lss}}$.*

Démonstration. Le fait que la catégorie soit abélienne résulte de l'exactitude de ν^* et de ce que $\Lambda - X_{\text{qétc}-G-\text{lss}}$ est abélienne (corollaire 8.6). L'assertion concernant l'image essentielle résulte de ce que l'adjonction $Id \rightarrow \nu_* \nu^*$ est un isomorphisme ([5] corollaire 3.5). L'assertion concernant les injectifs résulte de ce que $\Lambda - X_{\text{qétc}-G-\text{lss}}$ possède suffisamment d'injectifs (lemme 8.7), si $\mathcal{F} \in \Lambda - X_{\text{qétc}-G-\text{lss}}$ et $u : \nu^* \mathcal{F} \hookrightarrow \mathcal{I}$ est un plongement de $\nu^* \mathcal{F}$ dans un injectif alors $\mathcal{F} \xrightarrow{\sim} \nu_* \nu^* \mathcal{F} \rightarrow \nu_* \mathcal{I}$ est un morphisme vers un objet injectif. Ce morphisme est un monomorphisme car si $\mathcal{H} = \ker \nu_* u$ alors ν^* étant exact il y a une suite exacte

$$0 \rightarrow \nu^* \mathcal{H} \rightarrow \nu^* \mathcal{F} \rightarrow \nu^* \nu_* \mathcal{I} \rightarrow \mathcal{I}$$

et donc $\nu^* \mathcal{H} = 0$ ce qui implique $\mathcal{H} = 0$. \square

Comme corollaire de la démonstration précédente on a.

Corollaire 9.9. — *Si $\mathcal{F} \in \Lambda - X_{\text{ét}-G-\text{lss}}$ et $\nu^* \mathcal{F} \rightarrow \mathcal{I}^\bullet$ est une résolution injective dans $\Lambda - X_{\text{qétc}-G-\text{lss}}$ alors*

$$\mathcal{F} \rightarrow \nu_* \mathcal{I}^\bullet$$

en est une dans $\Lambda - X_{\text{ét}-G-\text{lss}}$ et de plus les faisceaux $\nu_ \mathcal{I}^\bullet$ sont mous.*

Proposition 9.10. — *La catégorie $X_{\text{ét}-G-\text{lss}}$ est un topos.*

Démonstration. L’assertion concernant l’existence de limites projectives finies, de limites inductives quelconques et de “bons” quotients par des relations d’équivalence résulte du cas de $X_{\text{qétc}-G-\text{lss}}$ puisque ν^* commute à ces opérations. Reste à exhiber un petit système de générateurs. Pour cela remarquons que les ouverts étales distingués engendrent la topologie de $X_{\text{ét}}$. Maintenant si $f : U \rightarrow X$ est un morphisme étale avec U distingué, c’est à dire il existe une factorisation $U \hookrightarrow W \rightarrow X$ avec $W \rightarrow X$ quasi-étale, W compact et $W \setminus U$ un domaine analytique compact alors pour un sous-groupe compact-ouvert K suffisamment petit dans G l’action de K se prolonge à U et $\mathcal{F}(U) = \varinjlim_K \mathcal{F}(U)^K$. Si h_U désigne le faisceau représenté par U sur $X_{\text{ét}}$ on peut alors

former comme dans la section 8.3.4 le faisceau induit

$$\text{c-ind}_{K/U}^{G/X} h_U = \bigoplus_{K \setminus G} f_! h_U$$

où $f_!$ désigne les images à support propre au sens de [4]. Il est alors aisé de voir que cela forme un système de générateurs. \square

Remarque 9.11. — Les limites projectives quelconques, non-finies, dans $X_{\text{ét}-H-\text{lss}}^{\sim}$ se calculent de la façon suivante : si $(\mathcal{F}_i)_{i \in I}$ est un système projectif de G -faisceau étales lisses alors sa limite projective est

$$\nu_* \left[\left(\varprojlim_{i \in I} \nu^* \mathcal{F}_i \right)^{\text{lss}} \right]$$

où la limite projective dans l’expression précédente est prise dans la catégorie des faisceaux sur le site quasi-étale.

9.4. Le complexe de cohomologie lisse. — Reprenons les hypothèses de la section précédente.

Théorème 9.12. — Soit \mathcal{F} un G -faisceau de Λ -modules lisse sur $X_{\text{ét}}$. Alors $\forall q \geq 0$ $H_c^q(X, \mathcal{F})$ est un G -module lisse. De plus le foncteur

$$\begin{aligned} \Lambda - X_{\text{ét}-G-\text{lss}}^{\sim} &\longrightarrow G - \mathbb{D}^+(\Lambda) \\ \mathcal{F} &\longrightarrow R\Gamma_c(X, \mathcal{F}) \end{aligned}$$

où $G - \mathbb{D}^+(\Lambda)$ est la catégorie formée des objets de $\mathbb{D}^+(\Lambda)$ munis d’une action de G , se factorise de façon canonique en un foncteur

$$R\Gamma_{c-G}(X, -) : \Lambda - X_{\text{ét}-G-\text{lss}}^{\sim} \longrightarrow \mathbb{D}^+(\Lambda[G]_{\text{lss}})$$

où $\mathbb{D}^+(\Lambda[G]_{\text{lss}})$ désigne la catégorie dérivée des Λ -modules munis d’une action lisse de G . Ce foncteur est le foncteur dérivé de $\Gamma_c(X, -) : \Lambda - X_{\text{ét}-G-\text{lss}}^{\sim} \longrightarrow \Lambda[G]_{\text{lss}}$.

Démonstration. Comme dans la troisième suite spectrale du théorème 9.1 si $(W_i)_i$ est comme dans l’énoncé de ce même théorème il y a un plongement

$$\Gamma_c(X, \mathcal{F}) \hookrightarrow \bigoplus_{i \in I} \Gamma(W_i, \mathcal{F}) = \bigoplus_{i \in I} \Gamma(W_i, \nu^* \mathcal{F})$$

et donc si \mathcal{F} est lisse $\Gamma_c(X, \mathcal{F})$ est un G -module lisse. D’après le corollaire 9.9 il suffit alors de montrer que si \mathcal{I} est un injectif de $\Lambda - X_{\text{qétc}-G-\text{lss}}^{\sim}$ alors $\nu_* \mathcal{I}$ est $\Gamma_c(X, -)$ -acyclique. Mais d’après le théorème 8.16 le faisceau \mathcal{I} sur $X_{\text{qétc}}$ est flasque. Il suffit alors d’appliquer la proposition 9.5. \square

9.5. Les quatre résolutions/suites spectrales permettant de calculer la cohomologie à support compact équivariantes lisse. — Comme précédemment X est muni d’une action continue de G . Rappelons qu’un ouvert U de X est dit distingué s’il s’écrit $U = W_1 \setminus W_2$ où W_1, W_2 sont deux domaines analytiques compacts dans X . Un tel ouvert est stabilisé par un sous-groupe ouvert de G .

Le théorème qui suit fait suite au théorème 9.1.

Théorème 9.13. — Soit \mathcal{F} un G -faisceau lisse de Λ -modules sur $X_{\text{ét}}$. Soit $\nu^*\mathcal{F} \rightarrow \mathcal{I}^\bullet$ une résolution injective de \mathcal{F} dans $\Lambda - X_{\text{qétc-}G\text{-lss}}$ et $\mathcal{F} \rightarrow \nu_*\mathcal{I}^\bullet$ la résolution injective associée dans $\Lambda - X_{\text{ét-}G\text{-lss}}$ (proposition 9.9). Notons $\mathcal{F} \rightarrow \mathcal{J}^\bullet$ cette résolution.

- Soit $(U_i)_{i \in I}$ un recouvrement ouvert de X tel que $\forall i \{j \mid U_j \cap U_i \neq \emptyset\}$ soit fini. Supposons ce recouvrement invariant sous G au sens où $\forall g \in G \forall i \in I \exists j \in I g.U_i = U_j$. Il y a alors un isomorphisme dans $\mathbb{D}^+(\Lambda[G]_{\text{lss}})$

$$R\Gamma_{c-G}(X, \mathcal{F}) \simeq \text{Tot } D^\bullet(\mathcal{J}^\bullet)$$

où $\mathcal{G} \mapsto D^\bullet(\mathcal{G})$ est le complexe simplicial fonctoriel en \mathcal{G}

$$D^p(\mathcal{G}) = \bigoplus_{\substack{\alpha \subset I \\ |\alpha| = -p+1}} \Gamma_c(U(\alpha), \mathcal{G})$$

À cette résolution est associé la suite spectrale de $\Lambda[G]$ -modules lisses

$$E_1^{pq} = H_c^q(U(\alpha), \mathcal{F}) \implies H_c^{p+q}(X, \mathcal{F})$$

- Soit $(U_i)_{i \in I}$ un recouvrement invariant sous G localement fini de X par des ouverts distingués. Il y a alors un isomorphisme dans $\mathbb{D}^+(\Lambda[G]_{\text{lss}})$

$$R\Gamma_{c-G}(X, \mathcal{F}) \simeq \text{Tot } D^\bullet(\mathcal{J}^\bullet)$$

où $\mathcal{G} \mapsto D^\bullet(\mathcal{G})$ est le complexe co-simplicial fonctoriel en \mathcal{G}

$$D^p(\mathcal{G}) = \bigoplus_{\substack{\alpha \subset I \\ |\alpha| = p+1}} \Gamma(U(\alpha), \mathcal{G})$$

À cette résolution est associé la suite spectrale de $\Lambda[G]$ -modules lisses

$$E_1^{pq} = H^q(U(\alpha), \mathcal{F}) \implies H_c^{p+q}(X, \mathcal{F})$$

- Soit $(W_i)_{i \in I}$ un recouvrement invariant sous G localement fini de X par des domaines analytiques compacts. Il y a alors un isomorphisme dans $\mathbb{D}^+(\Lambda[G]_{\text{lss}})$

$$R\Gamma_{c-G}(X, \mathcal{F}) \simeq \text{Tot } D^\bullet(\mathcal{J}^\bullet)$$

où $\mathcal{G} \mapsto D^\bullet(\mathcal{G})$ est le complexe co-simplicial fonctoriel en \mathcal{G}

$$D^p(\mathcal{G}) = \bigoplus_{\substack{\alpha \subset I \\ |\alpha| = p+1}} \Gamma(W(\alpha), \mathcal{G})$$

À cette résolution est associé la suite spectrale de $\Lambda[G]$ -modules lisses

$$E_1^{pq} = H^q(W(\alpha), \mathcal{F}) \implies H_c^{p+q}(X, \mathcal{F})$$

- Soit $(W_i)_{i \in I}$ un recouvrement invariant sous G localement fini de X par des domaines analytiques compacts tel que les $(\overset{\circ}{W}_i)_i$ recouvrent X . Il y a alors un isomorphisme dans $\mathbb{D}^+(\Lambda[G]_{\text{lss}})$

$$R\Gamma_{c-G}(X, \mathcal{F}) \simeq \text{Tot } D^\bullet(\mathcal{J}^\bullet)$$

où $\mathcal{G} \mapsto D^\bullet(\mathcal{G})$ est le complexe simplicial fonctoriel en \mathcal{G}

$$D^p(\mathcal{G}) = \bigoplus_{\substack{\alpha \subset I \\ |\alpha| = p+1}} \Gamma_{W(\alpha)}(X, \mathcal{G})$$

À cette résolution est associé la suite spectrale de $\Lambda[G]$ -modules lisses

$$E_1^{pq} = H_{W(\alpha)}^q(X, \mathcal{F}) \implies H_c^{p+q}(X, \mathcal{F})$$

Démonstration. Reprenons la démonstration du théorème 9.1 ainsi que ses notations. On utilise le corollaire 9.9 qui nous dit que nos faisceaux \mathcal{J}^\bullet sont mous.

Pour la première suite spectrale l'argument donné dans la démonstration du théorème 9.1 fonctionne donc encore puisque comme expliqué si \mathcal{G} est mou $\bigoplus_{\substack{\alpha \subset I \\ |\alpha| = -p+1}} j_{\alpha!} \mathcal{J}_\alpha^* \mathcal{G}$ l'est encore. De plus

si \mathcal{G} est G -équivariant lisse ce faisceau G -équivariant est lisse puisque si $f : W \rightarrow X$ est quasi-étale avec W compact alors

$$\Gamma(W, f^* \bigoplus_{\substack{\alpha \subset I \\ |\alpha| = -p+1}} j_{\alpha!} j_{\alpha}^* \mathcal{G}) = \bigoplus_{\substack{\alpha \subset I \\ |\alpha| = -p+1}} \Gamma_c(f^{-1}(U(\alpha)), f^* \mathcal{F})$$

et d'après le théorème 9.12 les sections à support compact sont lisses.

Pour la seconde suite spectrale par contre en général si \mathcal{G} est mou $\prod_{\substack{\alpha \subset I \\ |\alpha| = p+1}} j_{\alpha*} j_{\alpha}^* \mathcal{G}$ n'est pas mou. Cependant il est $\Gamma_c(X, -)$ -acyclique. En effet, si $\varphi : U \hookrightarrow X$ est une immersion ouverte et \mathcal{H} un faisceau mou sur $U_{\text{ét}}$ alors \mathcal{H} est φ_* -acyclique puisque $R^q \varphi_* \mathcal{H}$ est le faisceau associé au préfaisceau qui à $f : V \rightarrow X$ étale associe $H^q(f^{-1}(U), f^* \mathcal{H})$ et $f^* \mathcal{H}$ est mou. Donc si V est un ouvert relativement compact de X , donc ne rencontrant qu'un nombre fini de U_i ,

$$H^q(V, \prod_{\substack{\alpha \subset I \\ |\alpha| = p+1}} j_{\alpha*} j_{\alpha}^* \mathcal{G}) = \bigoplus_{\substack{\alpha \subset I \\ |\alpha| = p+1}} H^q(V \cap U(\alpha), \mathcal{G}) = 0$$

On conclut alors en appliquant la deuxième suite spectrale du théorème 9.1 que l'on a un faisceau $\Gamma_c(X, -)$ -acyclique. De plus, utilisant l'hypothèse que les ouverts U_i sont distingués on vérifie aisément que si \mathcal{G} est équivariant lisse alors $\prod_{\substack{\alpha \subset I \\ |\alpha| = p+1}} j_{\alpha*} j_{\alpha}^* \mathcal{G}$ l'est également.

La troisième suite spectrale ne pose pas de problème puisque tous les faisceaux sont mous et lisses.

La quatrième suite spectrale est laissée en exercice au lecteur. \square

10. Cohomologie à support compact équivariante-lisse des espaces rigides généralisés

Soit \mathfrak{X} un schéma formel π -adique sans π -torsion. Supposons le muni d'une action continue d'un groupe topologique G . La condition de continuité signifie que pour tout ouvert quasicompact \mathfrak{U} de \mathfrak{X} tout entier n et tout $f \in \Gamma(\mathfrak{U}, \mathcal{O}_{\mathfrak{X}} \otimes \mathcal{O}_K / \pi^n \mathcal{O}_K)$ il existe un sous-groupe ouvert de G stabilisant \mathfrak{U} et laissant la section f invariante : $\forall k \in K \quad k^* f = f$.

Remarque 10.1. — Une définition naïve de la notion d'action continue consisterait à dire que pour tout \mathfrak{U} quasicompact et tout n il existe un sous-groupe compact ouvert K agissant trivialement sur $\mathfrak{U} \otimes \mathcal{O}_K / \pi^n \mathcal{O}_K$, c'est à dire G agit continuellement pour "la topologie forte" alors que la définition qu'on a donnée est au sens "faible". Cependant avec cette définition le groupe topologique $\text{Gal}(\overline{\mathbb{F}}_p | \mathbb{F}_p)$ n'agirait pas continûment sur $\text{Spec}(\overline{\mathbb{F}}_p)$ et plus généralement si X est un schéma sur $\text{Spec}(\mathbb{F}_p)$ le groupe $\text{Gal}(\overline{\mathbb{F}}_p | \mathbb{F}_p)$ n'agirait pas continûment sur $X_{\overline{\mathbb{F}}_p}$. Par exemple si X est un espace rigide sur \mathbb{Q}_p $\text{Gal}(\overline{\mathbb{Q}}_p | \mathbb{Q}_p)$ n'agirait pas continûment sur $X_{\hat{\mathbb{C}}_p}$. Plus généralement si G est un groupe profini et $(\mathfrak{X}_K)_{K \subset G}$ est une "tour" de schémas formels π -adiques munie d'une action de G , G n'agirait pas continûment sur $\varprojlim_K \mathfrak{X}_K$ en général.

Commençons par vérifier que le site $\mathfrak{X}_{\mathcal{E}\text{-rig-ét}}$ satisfait aux différentes hypothèses de la section 8. Tout d'abord d'après le corollaire 6.10 tout objet de ce site est quasicompact.

Proposition 10.2. — *le site $\mathfrak{X}_{\mathcal{E}\text{-rig-ét}}$ satisfait à l'hypothèse de continuité de la section 8.1.*

Démonstration. Soit $\mathfrak{Y} \rightarrow \mathfrak{X}$ un morphisme de type (\mathcal{E}) . Ce morphisme se factorisant par un ouvert quasicompact, ouvert stabilisé par un sous-groupe ouvert de G , on peut supposer \mathfrak{X} quasicompact.

Supposons d'abord \mathfrak{X} affine. Écrivons $\mathfrak{X} = \varprojlim_{i \in I} \mathfrak{X}_i$ où les \mathfrak{X}_i sont admissibles affines et $\mathcal{O}_{\mathfrak{X}_i} \subset \mathcal{O}_{\mathfrak{X}}$. D'après le théorème 5.8 il existe $i_0 \in I$ ainsi que $\mathfrak{Y}' \rightarrow \mathfrak{X}_{i_0}$ de type (\mathcal{E}) et un isomorphisme

$$\mathfrak{Y} \simeq \mathfrak{Y}' \times_{\mathfrak{X}_{i_0}} \mathfrak{X}$$

On applique le théorème de rigidité, la proposition 5.6. Soit N un entier associé à $\mathfrak{Y} \rightarrow \mathfrak{X}$ comme dans cette proposition. Par hypothèse, \mathfrak{X}_{i_0} étant topologiquement de type fini sur $\mathrm{Spf}(\mathcal{O}_K)$, il existe un sous-groupe ouvert K dans G tel que $\forall k \in K$ le diagramme

$$\begin{array}{ccc} \mathfrak{X} \otimes \mathcal{O}_K / \pi^N \mathcal{O}_K & \xrightarrow{k} & \mathfrak{X} \otimes \mathcal{O}_K / \pi^N \mathcal{O}_K \\ \downarrow q & & \downarrow q \\ \mathfrak{X}_{i_0} \otimes \mathcal{O}_K / \pi^N \mathcal{O}_K & \xrightarrow{Id} & \mathfrak{X}_{i_0} \otimes \mathcal{O}_K / \pi^N \mathcal{O}_K \end{array}$$

commute. Alors $k^{-1}(\mathfrak{Y}) = k^{-1}(q^{-1}(\mathfrak{Y}'))$ et donc $k^{-1}(\mathfrak{Y}) \otimes \mathcal{O}_K / \pi^N \mathcal{O}_K = q^{-1}(\mathfrak{Y}') \otimes \mathcal{O}_K / \pi^N \mathcal{O}_K = \mathfrak{Y} \otimes \mathcal{O}_K / \pi^N \mathcal{O}_K$, comme \mathfrak{X} -schémas. D'après la proposition 5.6 on en déduit qu'il existe un prolongement $(\beta_k)_{k \in K}$ de l'action de K à \mathfrak{Y}

$$\begin{array}{ccc} \mathfrak{Y} & \xrightarrow{\beta_k} & \mathfrak{Y} \\ \downarrow & & \downarrow \\ \mathfrak{X} & \xrightarrow{k} & \mathfrak{X} \end{array}$$

Nous avons besoin de caractériser ce prolongement de manière unique afin de le rendre "canonique". Pour cela soit $(\mathcal{V}'_\alpha)_\alpha$ un recouvrement affine fini de \mathfrak{Y}' et $\forall \alpha (f_{\alpha\beta})_\beta, f_{\alpha\beta} \in \Gamma(\mathcal{V}'_\alpha, \mathcal{O}_{\mathfrak{Y}'})$, un système fini de générateurs topologiques de la $\Gamma(\mathfrak{X}_{i_0}, \mathcal{O}_{\mathfrak{X}_{i_0}})$ -algèbre topologiquement de type fini $\Gamma(\mathcal{V}'_\alpha, \mathcal{O}_{\mathfrak{Y}'})$. Soit $(\mathcal{V}_\alpha)_\alpha = (\mathcal{V}'_\alpha)_\alpha \times_{\mathfrak{Y}'} \mathfrak{Y}$ et $\forall \alpha, \beta f_{\alpha\beta} \otimes 1 \in \Gamma(\mathcal{V}_\alpha, \mathcal{O}_\mathfrak{Y})$ les sections obtenues par changement de base, sections qui engendrent topologiquement la $\Gamma(\mathfrak{X}, \mathcal{O}_\mathfrak{X})$ -algèbre $\Gamma(\mathcal{V}_\alpha, \mathcal{O}_\mathfrak{Y})$. Alors d'après l'assertion d'injectivité dans la proposition 5.6 $(\beta_k)_{k \in K}$ est l'unique relèvement de l'action de K à \mathfrak{Y} tel que

$$\forall \alpha, \beta \forall k \in K \quad \beta_k^*(f_{\alpha\beta} \otimes 1) \equiv f_{\alpha\beta} \otimes 1 \pmod{\pi^N}$$

Maintenant soit $(\mathcal{W}_\gamma)_\gamma$ un autre recouvrement affine fini de \mathfrak{Y} et $\forall \gamma (g_{\gamma\delta})_\delta, g_{\gamma\delta} \in \Gamma(\mathcal{W}_\gamma, \mathcal{O}_\mathfrak{Y})$, un système de générateurs topologiques de $\Gamma(\mathcal{W}_\gamma, \mathcal{O}_\mathfrak{Y})$ comme $\Gamma(\mathfrak{X}, \mathcal{O}_\mathfrak{X})$ -algèbre. On vérifie aisément qu'il existe un sous-groupe ouvert $K' \subset K$ tel que

$$\forall \gamma, \delta \forall k \in K' \quad \beta_k^* g_{\gamma\delta} \equiv g_{\gamma\delta} \pmod{\pi^N}$$

A partir de cette constatation la cas \mathfrak{X} général se déduit du cas affine par recollement en utilisant cette dernière assertion (et toujours quitte à se restreindre à des sous-groupes ouverts plus petits). Plus précisément si l'entier N est associé à $\mathfrak{Y} \rightarrow \mathfrak{X}$ comme dans la proposition 5.6 soient $\mathfrak{X} = \bigcup_\alpha \mathfrak{U}_\alpha$, resp. $\mathfrak{Y} = \bigcup_{\alpha, \beta} \mathcal{V}_{\alpha\beta}$, deux recouvrements affines finis de \mathfrak{X} , resp. \mathfrak{Y} , tels que $\mathcal{V}_{\alpha\beta} \rightarrow \mathfrak{U}_\alpha$. Soit $\forall \alpha, \beta (f_{\alpha\beta\gamma})_\gamma, f_{\alpha\beta\gamma} \in \Gamma(\mathcal{V}_{\alpha\beta}, \mathcal{O}_\mathfrak{Y})$ un système de générateurs topologiques de la $\Gamma(\mathfrak{U}_\alpha, \mathcal{O}_\mathfrak{X})$ -algèbre $\Gamma(\mathcal{V}_{\alpha\beta}, \mathcal{O}_\mathfrak{Y})$. On montre alors qu'il existe un sous-groupe ouvert $K \subset G$ tel qu'il existe un unique relèvement $(\beta_k)_{k \in K}$ de l'action de K sur \mathfrak{X} à \mathfrak{Y} vérifiant

$$\forall \alpha, \beta, \gamma \forall k \in K \quad \beta_k^* f_{\alpha\beta\gamma} \equiv f_{\alpha\beta\gamma} \pmod{\pi^N}$$

Le fait que cette action relevée est "canonique" au sens de la section 8.1 se déduit par une nouvelle application de l'assertion d'injectivité dans la proposition 5.6. \square

Proposition 10.3. — *Le site $\mathfrak{X}_{\mathcal{E}\text{-rig-ét}}$ est satisfait à l'hypothèse de la section 8.6. Étant donnée une famille finie $(\mathcal{V}_i \rightarrow \mathfrak{Y})_{i \in I}$ de morphismes dans la catégorie $\mathcal{E}_\mathfrak{X}$ des morphismes de type (\mathcal{E}) au dessus de \mathfrak{X} si*

$$\mathfrak{Z} = \left(\times_{i \in I, \mathfrak{Y}} \mathcal{V}_i \right)^{adh}$$

désigne le produit fibré de cette famille au dessus de \mathfrak{Y} il existe une famille finie $(\mathfrak{U}_\alpha \rightarrow \mathfrak{Z})_\alpha$ de morphismes au dessus de \mathfrak{X} où $\forall \alpha \mathfrak{U}_\alpha \rightarrow \mathfrak{X}$ est de type (\mathcal{E}) et que $\forall \mathcal{F} \in \mathfrak{X}_{\mathcal{E}\text{-rig-ét}}$ l'application

$$\mathrm{Hom}_{\mathfrak{X}_{\mathcal{E}\text{-rig-ét}}} \left(\times_{i \in I, \mathfrak{h}_{\mathfrak{Y}}^{rig}} h_{\mathfrak{Y}_i}^{rig}, \mathcal{F} \right) \rightarrow \prod_{\alpha} \mathcal{F}(\mathfrak{U}_\alpha)$$

soit injective.

Démonstration. Le morphisme $\mathfrak{Y} \rightarrow \mathfrak{X}$ se factorisant par un ouvert quasicompact on peut supposer \mathfrak{X} quasicompact, ce que nous ferons.

Supposons le résultat démontré lorsque \mathfrak{X} est affine. Soit $\mathfrak{X} = \bigcup_k \mathcal{W}_k$ un recouvrement affine. Appliquant le résultat dans le cas affine on en déduit l'existence de familles $\forall k (\mathfrak{U}_\alpha \rightarrow \mathfrak{Z} \times_{\mathfrak{X}} \mathcal{W}_k)_{\alpha \in A_k}$ vérifiant les hypothèses voulues lorsqu'on tire la situation en arrière à l'ouvert \mathcal{W}_k . On vérifie qu'alors $(\mathfrak{U}_\alpha \rightarrow \mathfrak{Z})_{k, \alpha \in A_k}$ vérifie bien les conclusions de l'énoncé.

Soit donc maintenant \mathfrak{X} affine. Écrivons $\mathfrak{X} = \varprojlim_{j \in J} \mathfrak{X}_j$ où $\forall j \mathfrak{X}_j$ est admissible affine. D'après le théorème 5.8 il existe $j_0 \in J$ ainsi qu'une famille $(\mathcal{V}'_i \rightarrow \mathfrak{Y}'_{i \in I})$ dans $\mathcal{E}_{\mathfrak{X}_{j_0}}$ induisant la famille $(\mathcal{V}_i \rightarrow \mathfrak{Y})_{i \in I}$ en niveau infini

$$[(\mathcal{V}'_i \rightarrow \mathfrak{Y}'_{i \in I}) \times_{\mathfrak{X}_{j_0}} \mathfrak{X}]^{adh} \simeq (\mathcal{V}_i \rightarrow \mathfrak{Y})_{i \in I}$$

Le produit fibré $\mathfrak{Z}' = (\prod_{i \in I, \mathfrak{Y}'_i} \mathcal{V}'_i)^{adh}$ est un \mathfrak{X}_{j_0} -schéma formel rig-étale. D'après le théorème 5.5 il existe un \mathfrak{X}_{j_0} -morphisme $\mathcal{W} \rightarrow \mathfrak{Z}'$ tel que $\mathcal{W} \rightarrow \mathfrak{X}_{j_0}$ soit de type (\mathcal{E}) et $\mathcal{W}^{rig} \rightarrow \mathfrak{Z}'^{rig}$ soit un morphisme couvrant.

Alors $(\mathcal{W} \times_{\mathfrak{X}_{j_0}} \mathfrak{X})^{adh} \rightarrow \mathfrak{Z}$ satisfait aux hypothèses puisque $\forall j \geq j_0$ le morphisme $(\mathcal{W} \times_{\mathfrak{X}_{j_0}} \mathfrak{X}_j)^{rig} \rightarrow (\mathfrak{Z}' \times_{\mathfrak{X}_{j_0}} \mathfrak{X}_j)^{rig}$ est couvrant et $\mathfrak{X}_{\mathcal{E}-rig-ét} \simeq \varprojlim_{j \geq j_0} (\mathfrak{X}_j)_{rig-ét}$. \square

Soit maintenant le foncteur

$$\begin{aligned} \Gamma_1(\mathfrak{X}^{rig}, -) : \Lambda - (\mathfrak{X}_{\mathcal{E}-rig-ét})_{G-lss}^{\sim} &\longrightarrow \Lambda[G]_{lss} \\ \mathcal{F} &\longmapsto \Gamma_1(\mathfrak{X}^{rig}, \mathcal{F}) \end{aligned}$$

qui est bien à valeurs dans les $\Lambda[G]$ -modules lisses puisque si $(\mathcal{W}_i)_{i \in I}$ est un recouvrement localement fini par des ouverts quasicompacts alors

$$\Gamma_1(\mathfrak{X}^{rig}, \mathcal{F}) \hookrightarrow \bigoplus_{i \in I} \Gamma(\mathcal{W}_i, \mathcal{F})$$

Considérons le foncteur dérivé $R\Gamma_1(\mathfrak{X}^{rig}, -)$ à valeurs dans $\mathbb{D}^+(\Lambda[G]_{lss})$. D'après le corollaire 7.7 et le théorème 8.16 sa cohomologie calcule la cohomologie à support compact munie de son action lisse de G .

11. Cohomologie à support compact équivariante-lisse des tours d'espaces analytiques

11.1. Hypothèses et notations. — Soient G et H deux groupes topologiques possédant un sous-groupe ouvert profini. On suppose fixé un sous-groupe compact ouvert G^0 de G .

Soit \mathcal{S} la catégorie dont les objets sont les sous-groupes ouverts de G^0 ,

$$\forall K, K' \in \text{Ob}(\mathcal{S}) \quad \text{Hom}_{\mathcal{S}}(K, K') = \{\bar{g} \in K \backslash G \mid g^{-1}Kg \subset K'\}$$

et

$$\forall \bar{g}_1 \in \text{Hom}_{\mathcal{S}}(K, K') \quad \forall \bar{g}_2 \in \text{Hom}_{\mathcal{S}}(K', K'') \quad \bar{g}_2 \circ \bar{g}_1 = \overline{\bar{g}_2 \bar{g}_1}$$

(on vérifie aisément que cette opération de composition est bien définie).

Supposons nous donné un foncteur $K \mapsto X_K$ de \mathcal{S} dans la catégorie des espaces analytiques de Berkovich paracompacts munis d'une action continue de H . En particulier $\forall K \subset G^0 \quad \forall g \in G$ tel que $g^{-1}Kg \subset G^0$ il y a un isomorphisme H -équivariant

$$g : X_K \xrightarrow{\sim} X_{g^{-1}Kg}$$

trivial si $g \in K$ et si $K' \subset K \subset G^0$ il y a un morphisme H -équivariant

$$\pi_{K', K} : X_{K'} \longrightarrow X_K$$

Ainsi si $K' \triangleleft K$ $X_{K'}$ est muni d'une action de K/K' au dessus de X_K .

Nous ferons l'hypothèse supplémentaire suivante : si $K' \triangleleft K$ alors $\pi_{K',K} : X_{K'} \rightarrow X_K$ est un K/K' -torseur étale. On en déduit que $\forall K' \subset K$ $\pi_{K',K}$ est étale fini et que l'on a un "pro- K -torseur" $(X_{K'})_{K' \subset K} \rightarrow X_K$ et en particulier un "pro- G^0 -torseur" au dessus de l'objet final de notre tour $(X_K)_{K \subset G^0} \rightarrow X_{G^0}$.

Il y a également des correspondances de Hecke : si $K \subset G^0$ et $g \in G$ il y a un diagramme

$$\begin{array}{ccc} & X_{K \cap gKg^{-1}} & \xrightarrow{g} & X_{g^{-1}Kg \cap K} \\ \pi_{K \cap gKg^{-1}, K} \swarrow & & & \searrow \pi_{g^{-1}Kg \cap K, K} \\ & X_K & & X_K \end{array}$$

Exemple 11.1. — On peut prendre $X_K = \mathcal{M}_K$ un espace de Rapoport-Zink ([21]) où $G = G(\mathbb{Q}_p)$, G^0 est un sous-groupe compact maximal et $H = J_b$, par exemple la tour d'espaces de Lubin-Tate considérée dans [10] avec $G = \mathrm{GL}_n(F)$ et $H = D^\times$ ou bien celle de Drinfeld avec $G = D^\times$ et $H = \mathrm{GL}_n(F)$. Plus généralement si \check{E} désigne le complété de l'extension maximal non-ramifiée du corps reflex associé à l'espace de Rapoport-Zink on peut prendre $X_K = \mathcal{M}_K \hat{\otimes}_{\check{E}} \widehat{\check{E}}$, $G = G(\mathbb{Q}_p)$ et $H = J_b \times \mathrm{Gal}(\check{E}|\check{E})$. Un autre point de vue pour incorporer l'action de Galois consiste à prendre $G = G(\mathbb{Q}_p) \times \mathrm{Gal}(\check{E}|\check{E})$, $H = J_b$, si $K = K_1 \times K_2$ où $K_1 \subset G(\mathbb{Z}_p)$ et $K_2 = \mathrm{Gal}(\check{E}|M)$, $X_{K_1 \times K_2} = \mathcal{M}_{K_1} \otimes_{\check{E}} M$ (avec les conditions imposées sur notre tour cela est suffisant pour la définir puisque les groupes de la forme $K_1 \times K_2$ forment une base de voisinage de l'identité dans $G(\mathbb{Q}_p) \times \mathrm{Gal}(\check{E}|\check{E})$).

11.2. Faisceaux de Hecke sur la tour. —

11.2.1. Définitions. — Les systèmes $K \mapsto (X_K)_{\text{ét-}H\text{-lss}}$, resp. $K \mapsto (X_K)_{\text{qétc-}H\text{-lss}}$, des H -faisceaux étales lisses, resp. sur le site quasi-étale compact, forment deux systèmes de topos fibrés au dessus de la catégorie \mathcal{S} .

Définition 11.2. — Nous noterons $\mathcal{H}_{\text{ét}}$, resp. $\mathcal{H}_{\text{qétc}}$, les topos totaux associés aux topos fibrés précédents ([20] chapitre VI). On les appellera faisceaux de Hecke étales, resp. quasi-étales, sur la tour.

Par exemple $\mathcal{H}_{\text{ét}}$ est la catégorie des $(\mathcal{F}_K)_{K \subset G^0}$, où \mathcal{F}_K est un H -faisceau étale lisse sur X_K , munis de morphismes H -équivalents

$$\forall g \in G \text{ tel que } g^{-1}Kg \subset G^0 \quad g^* \mathcal{F}_{g^{-1}Kg} \rightarrow \mathcal{F}_K$$

égaux à l'identité si $g \in K$, satisfaisant à certaines conditions de cocycle lorsqu'on les compose et de morphismes H -équivalents compatibles aux morphismes précédents

$$\forall K' \subset K \quad \pi_{K',K}^* \mathcal{F}_K \rightarrow \mathcal{F}_{K'}$$

eux-mêmes soumis à des conditions de compatibilité lorsque l'on a trois groupes $K'' \subset K' \subset K$. On remarquera en particulier que les conditions de cocycle imposent que les morphismes $g^* \mathcal{F}_{g^{-1}Kg} \rightarrow \mathcal{F}_K$ soient des isomorphismes.

Dans la suite on notera en abrégé $(\mathcal{F}_K)_K$ un tel objet du topos total, sans faire référence aux morphismes de compatibilité précédents qui seront sous-entendus.

La terminologie faisceaux de Hecke provient de ce que si $(\mathcal{F}_K)_K$ est comme précédemment, $K \subset G^0$ et $g \in G$ il y a une correspondance cohomologique de \mathcal{F}_K dans lui-même supportée par la correspondance de Hecke associée à K et g

$$g^* \pi_{g^{-1}Kg \cap K, K}^* \mathcal{F}_K \rightarrow \pi_{K \cap gKg^{-1}, K}^* \mathcal{F}_K$$

et de plus cette correspondance cohomologique ne dépend que de la double classe $KgK \in K \backslash G / K$ au sens qui suit. Si $k_1, k_2 \in K$ et $g' = k_1 g k_2$ il y a un isomorphisme entre correspondances de X_K

dans lui-même

$$\begin{array}{ccc}
& X_{K \cap g'Kg'^{-1}} & \xrightarrow{g'} & X_{g'^{-1}Kg' \cap K} \\
& \downarrow k_1^{-1} \simeq & & \simeq \downarrow k_2 \\
\pi_{K \cap g'Kg'^{-1}, K} \swarrow & X_{K \cap gKg^{-1}} & \xrightarrow{g} & X_{g^{-1}Kg \cap K} \\
& \downarrow \pi_{K \cap gKg^{-1}, K} & & \downarrow \pi_{g^{-1}Kg \cap K, K} \\
& X_K & & X_K
\end{array}$$

Via cet isomorphisme les deux correspondances cohomologiques associées à g et g' se correspondent.

Définition 11.3. — Pour $\bullet \in \{\text{ét}, \text{qétc}\}$ on notera $\mathcal{H}_\bullet^{\text{cart}}$ les objets cartésiens du topos total \mathcal{H}_\bullet .

En d'autres termes il s'agit de la sous-catégorie de \mathcal{H}_\bullet formée des $(\mathcal{F}_K)_K$ tels que

$$\forall K' \subset K \subset G^0 \quad \pi_{K', K}^* \mathcal{F}_K \xrightarrow{\sim} \mathcal{F}_{K'}$$

soit un isomorphisme. En particulier si $K' \triangleleft K$ on a $\mathcal{F}_K = (\pi_{K', K}^* \mathcal{F}_{K'})^{K/K'}$.

On notera que le foncteur $(\mathcal{F}_K)_K \mapsto \mathcal{F}_{G^0}$ de $\mathcal{H}_\bullet^{\text{cart}}$ dans le topos $(X_{G^0})_{H-\text{lss}}$ des faisceaux sur la base de la tour est fidèle.

Exemple 11.4. — Considérons l'espace de Rapoport-Zink des déformations d'un groupe p -divisible étale muni d'une G -structure où G est un groupe réductif non-ramifié sur \mathbb{Q}_p . On a alors $G = G(\mathbb{Q}_p) = H$, $G^0 = G(\mathbb{Z}_p)$. Alors si $L = \widehat{\mathbb{Q}_p^{nr}}$ on a

$$\mathcal{M}_K = \coprod_{K \setminus G} \mathcal{M}(L)$$

sur lequel H agit à gauche et G à droite par correspondances de Hecke. Les faisceaux de Hecke cartésiens sur la tour s'identifient alors aux ensembles munis d'une action lisse de $G(\mathbb{Q}_p) \times \text{Gal}(\overline{L}|L)$ (il s'agit d'un cas très particulier de la proposition 11.22 puisque dans ce cas là l'espace des périodes est réduit à un point).

11.2.2. Propriétés de base des catégories de faisceaux de Hecke. — Il y a des triplets de foncteurs adjoints pour tout $K \subset G^0$ et $\bullet \in \{\text{ét}, \text{qétc}\}$

$$(X_K)_\bullet - H - \text{lss} \begin{array}{c} \xrightarrow{i_{K*}} \\ \xleftarrow{i_K^*} \\ \xrightarrow{i_{K!}} \end{array} \mathcal{H}_\bullet$$

où

- $i_K^*((\mathcal{F}_{K'})_{K'}) = \mathcal{F}_K$ qui est le foncteur "restriction à un étage"
- $(i_{K*}\mathcal{F})_{K'} = \prod_{\alpha: K \xrightarrow{S} K'} \alpha_* \mathcal{F}_K$ (produit dans la catégorie des H -faisceaux lisses, cf. remarque

9.11)

- $(i_{K!}\mathcal{F})_{K'} = \bigoplus_{\alpha: K' \xrightarrow{S} K} \alpha^* \mathcal{F}_K$

(cf. [20] chapitre VI section 5). On notera en particulier que l'existence de l'adjoint à droite $i_{K!}$ de i_K^* implique que si $(\mathcal{F}_K)_K$ est un objet injectif de $\Lambda - \mathcal{H}_\bullet$ alors $\forall K \mathcal{F}_K$ en est un dans $\Lambda - (X_K)_\bullet - H - \text{lss}$.

Si $K' \rightarrow K$ est un morphisme dans \mathcal{S} il y a un diagramme 1-commutatif de morphisme de topos

$$\begin{array}{ccc} (X_{K'})_{\text{qétc-H}} \widetilde{} & \xrightarrow{(\nu^*, \nu_*)} & (X_{K'})_{\text{ét-H}} \widetilde{} \\ \downarrow & & \downarrow \\ (X_K)_{\text{qétc-H}} \widetilde{} & \xrightarrow{(\nu^*, \nu_*)} & (X_K)_{\text{ét-H}} \widetilde{} \end{array}$$

(utiliser le fait que le morphisme $X_{K'} \rightarrow X_K$ est étale fini) qui induit un morphisme de topos fibrés d'où un morphisme de topos

$$(\nu^*, \nu_*) : \mathcal{H}_{\text{qétc}} \rightarrow \mathcal{H}_{\text{ét}}$$

qui commute à la restriction aux étages : $\nu^*((\mathcal{F}_K)_K) = (\nu^*\mathcal{F}_K)_K$ et $\nu_*((\mathcal{F}_K)_K) = (\nu_*\mathcal{F}_K)_K$. Ce morphisme satisfait donc à toutes les propriétés déjà énoncées dans le cas d'un espace de Berkovich seul (i.e. pas dans le cas d'une tour). En particulier $\nu^* : \mathcal{H}_{\text{ét}} \rightarrow \mathcal{H}_{\text{qétc}}$ est pleinement fidèle et il y a un isomorphisme $Id \xrightarrow{\sim} \nu_*\nu^*$.

Lemme 11.5. — *Les catégories $\Lambda - \mathcal{H}_{\text{qétc}}$ et $\Lambda - \mathcal{H}_{\text{ét}}$ sont abéliennes et possèdent suffisamment d'injectifs. De plus si $(\mathcal{F}_K)_K$ est un objet injectif de l'une de ces catégories alors $\forall K \mathcal{F}_K$ est un objet injectif de la catégorie des faisceaux H -lisses sur X_K correspondante. Si $(\mathcal{F}_K)_K \in \mathcal{H}_{\text{ét}}$ et $\nu^*(\mathcal{F}_K)_K \rightarrow (\mathcal{I}_K^\bullet)_K$ est une résolution injective dans $\mathcal{H}_{\text{qétc}}$ alors $(\mathcal{F}_K)_K \rightarrow \nu_*(\mathcal{I}_K^\bullet)_K$ en est une dans $\mathcal{H}_{\text{ét}}$ telle que les $\nu_*\mathcal{I}_K^\bullet$ soient des faisceau mous.*

11.2.3. *Propriétés de base des catégories de faisceaux de Hecke cartésiens.* — Soit $\bullet \in \{\text{ét}, \text{qétc}\}$. L'inclusion $\mathcal{H}_{\bullet}^{\text{cart}} \hookrightarrow \mathcal{H}_{\bullet}$ possède un adjoint à gauche κ défini par $\forall (\mathcal{F}_K)_K \kappa((\mathcal{F}_K)_K) = (\mathcal{G}_K)_K$ où

$$\mathcal{G}_K = \lim_{\substack{\rightarrow \\ K' \triangleleft K}} (\pi_{K', K}^* \mathcal{F}_{K'})^{K/K'}$$

dont on vérifie facilement que c'est naturellement un faisceau de Hecke cartésien. De plus κ est un foncteur exact.

Proposition 11.6. — *La catégorie $\mathcal{H}_{\bullet}^{\text{cart}}$ est un topos.*

Démonstration. L'existence de limites projectives finies résulte de ce que si $K' \subset K \subset G^0$ $\pi_{K', K}^*$ commute à ces limites et donc si $((\mathcal{F}_{i, K})_K)_{i \in I}$ est un système projectif fini de faisceaux cartésiens sa limite projective dans \mathcal{H}_{\bullet} , $(\lim_{\leftarrow i \in I} \mathcal{F}_{i, K})_K$, est cartésienne. Il en est de même pour

les limites inductives quelconques et les "bons" quotients par des relations d'équivalence. Reste à voir l'existence d'une famille génératrice. Mais si $(C_\alpha)_{\alpha \in A}$ en est une de \mathcal{H}_{\bullet} alors $(\kappa(C_\alpha))_{\alpha \in A}$ en est une de $\mathcal{H}_{\bullet}^{\text{cart}}$. \square

Il résulte des discussions précédentes que si $\mathcal{F} \rightarrow \mathcal{I}^\bullet$ est une résolution injective dans $\Lambda - \mathcal{H}_{\bullet}^{\text{cart}}$ alors c'en est une dans $\Lambda - \mathcal{H}_{\bullet}$. Comme dans la section précédente il y a un morphisme de topos $(\nu^*, \nu_*) : \mathcal{H}_{\text{qétc}}^{\text{cart}} \rightarrow \mathcal{H}_{\text{ét}}^{\text{cart}}$. Et le lemme 11.5 reste valable dans ce contexte en remplaçant \mathcal{H} par $\mathcal{H}^{\text{cart}}$.

11.3. Le complexe de cohomologie à support compact de la tour. — Si $(\mathcal{F}_K)_K \in \mathcal{H}_{\text{ét-lss}}$ et $K' \subset K$ étant donné que $X_{K'} \rightarrow X_K$ est étale fini il y a un morphisme

$$\Gamma_c(X_K, \mathcal{F}_K) \xrightarrow{\pi_{K', K}^*} \Gamma_c(X_{K'}, \pi_{K', K}^* \mathcal{F}_K) \rightarrow \Gamma_c(X_{K'}, \mathcal{F}_{K'})$$

où le deuxième morphisme est induit par les morphismes de transition dans la définition du topos total. De plus on a vu dans la section 9 que ce sont des H -modules lisses. On obtient ainsi un système inductif de H -modules lisses muni d'une action de G .

Définition 11.7. — On note $\Gamma_c(\mathcal{H}, -) : \Lambda - \mathcal{H}_{\text{ét}} - \text{lss} \longrightarrow \Lambda[G \times H]_{\text{lss}}$ le foncteur qui à $(\mathcal{F}_K)_K$ associe

$$\lim_{\substack{\longrightarrow \\ K \subset G^0}} \Gamma_c(X_K, \mathcal{F}_K)$$

On note $R\Gamma_c(\mathcal{H}_{\text{ét}}, -)$ le foncteur dérivé correspondant à valeurs dans $\mathbb{D}^+(\Lambda[G \times H]_{\text{lss}})$.

Théorème 11.8. — *Le foncteur $(\mathcal{F}_K)_K \longmapsto R\Gamma_c(\mathcal{H}, (\mathcal{F}_K)_K)$ est tel que*

$$\forall i \ H^i(R\Gamma_c(\mathcal{H}_{\text{ét}}, (\mathcal{F}_K)_K)) = \lim_{\substack{\longrightarrow \\ K}} H_c^i(X_K, \mathcal{F}_K)$$

Démonstration. C'est une conséquence du lemme 11.5 qui affirme que $(\mathcal{F}_K)_K$ possède une résolution injective qui après oubli de l'action de H est molle étage par étage. \square

Remarque 11.9. — D'après les résultats de la section 11.2.3 le foncteur dérivé précédent évalué sur un faisceau de Hecke cartésien peut se calculer avec une résolution injective de faisceaux cartésiens. C'est par exemple le cas du faisceau constant $\underline{\Lambda}$.

Remarque 11.10. — Si l'ordre du groupe profini K_0 , $K_0 \subset G^0$, est inversible dans Λ alors le foncteur $M \longmapsto M^{K_0}$ de $\Lambda[G \times H]_{\text{lss}} \longrightarrow \Lambda[H]_{\text{lss}}$ est exact et $R\Gamma_c(\mathcal{H}_{\text{ét}}, (\mathcal{F}_K)_K)^{K_0} = R\Gamma_c(X_{K_0}, \mathcal{F}_{K_0})$. Ce foncteur d'invariants sous K_0 se factorise en fait en un foncteur $\Lambda[G \times H]_{\text{lss}} \longrightarrow \mathcal{H}(K_0 \backslash G / K_0) \otimes_{\Lambda} \Lambda[H]_{\text{lss}}$ où $\mathcal{H}(K_0 \backslash G / K_0)$ désigne l'algèbre de Hecke des fonctions bi-invariantes sous K_0 à valeurs dans Λ et $R\Gamma_c(\mathcal{H}_{\text{ét}}, (\mathcal{F}_K)_K)^{K_0}$ est le complexe de modules sur l'algèbre de Hecke donné par l'action des correspondances de Hecke cohomologiques.

11.4. Objets cartésiens sur la tour et domaine fondamental pour l'action des correspondances de Hecke. —

11.4.1. Introduction : recollement de faisceaux équivariants. — Soit X un espace topologique muni d'un recouvrement ouvert $(U_i)_{i \in I}$. Notons $U_{ij} = U_i \cap U_j$ et $U_{ijk} = U_i \cap U_j \cap U_k$. Le topos X^\sim des faisceaux sur X est équivalent aux objets cartésiens du topos total du diagramme suivant

$$\coprod_{i,j,k} U_{ijk}^\sim \rightrightarrows \coprod_{i,j} U_{ij}^\sim \rightrightarrows \coprod_i U_i^\sim$$

Traduit en termes usuels cela signifie que se donner un faisceau sur X est équivalent à se donner une collection $(\mathcal{F}_i)_{i \in I}$ de faisceaux sur les $(U_i)_i$ munis d'isomorphismes $\beta_{ij} : \mathcal{F}_i|_{U_{ij}} \xrightarrow{\sim} \mathcal{F}_j|_{U_{ij}}$ vérifiant $\beta_{ij}|_{U_{ijk}} \circ \beta_{jk}|_{U_{ijk}} = \beta_{ik}|_{U_{ijk}}$.

Soit maintenant G un groupe agissant sur X . Se donner un G -faisceau sur X est équivalent à se donner un objet cartésien du topos total associé au diagramme usuel

$$G \times G \times X^\sim \rightrightarrows G \times X^\sim \rightrightarrows X^\sim$$

c'est à dire des isomorphismes $\forall g \in G \ \alpha_g : g^* \mathcal{F} \xrightarrow{\sim} \mathcal{F}$ vérifiant $\forall g_1, g_2 \ \alpha_{g_2} \circ g_2^* \alpha_{g_1} = \alpha_{g_1 g_2}$.

Supposons maintenant que G agisse sur I et que $\forall i \ g.U_i = U_{g.i}$. Se donner un faisceau G -équivariant sur X est alors équivalent à se donner un objet cartésien du topos total associé au diagramme

$$\begin{array}{ccccc} \coprod_{i,j,k} U_{ijk}^\sim & \rightrightarrows & \coprod_{i,j} U_{ij}^\sim & \rightrightarrows & \coprod_i U_i^\sim \\ & & \uparrow \uparrow & & \uparrow \uparrow \\ & & G \times \coprod_{i,j} U_{ij}^\sim & \rightrightarrows & G \times \coprod_i U_i^\sim \\ & & & & \uparrow \uparrow \uparrow \\ & & & & G \times G \times \coprod_i U_i^\sim \end{array}$$

où on laisse le lecteur deviner les différents flèches de ce diagramme. Traduit en termes usuels cela signifie que se donner un G -faisceau sur X est équivalent à se donner des faisceaux $(\mathcal{F}_i)_{i \in I}$ sur les $(U_i)_i$ munis

- d'isomorphismes $\beta_{ij} : \mathcal{F}_i|_{U_{ij}} \xrightarrow{\sim} \mathcal{F}_j|_{U_{ij}}$ vérifiant $\beta_{ij}|_{U_{ijk}} \circ \beta_{jk}|_{U_{ijk}} = \beta_{ik}|_{U_{ijk}}$

- d'isomorphismes $\forall g, i \quad \alpha_{g,i} : g^* \mathcal{F}_{g,i} \xrightarrow{\sim} \mathcal{F}_i$ vérifiant $\alpha_{g_1,i} \circ g_1^* \alpha_{g_2, g_2 g_1, i} = \alpha_{g_2 g_1, i}$
- enfin on demande que le diagramme suivant commute

$$\begin{array}{ccc} g^*(\mathcal{F}_{g,i}|_{U_{g,i,g,j}}) & \xrightarrow{\alpha_{g,i}} & \mathcal{F}_i|_{U_{ij}} \\ g^* \beta_{g,i,g,j} \downarrow & & \downarrow \beta_{ij} \\ g^*(\mathcal{F}_{g,j}|_{U_{g,i,g,j}}) & \xrightarrow{\alpha_{g,j}} & \mathcal{F}_j|_{U_{ij}} \end{array}$$

Soit maintenant $\forall i \in I \quad G_i = \text{Stab}_G(U_i)$. Posons $\forall A \subset I \quad G_A = \bigcap_{i \in A} G_i$ qui stabilise donc $\bigcap_{i \in A} U_i$. Pour un $i \in I$ notons $G_i - U_i$ le topos des G_i -faisceaux sur U_i .

Pour $g \in G$ on a $G_{g,i} = g G_i g^{-1}$ et il y a une équivalence

$$g^* : G_{g,i} - U_{g,i} \xrightarrow{\sim} G_i - U_i$$

induite par le morphisme d'espaces équivariants $(g, \text{int}_g) : (U_i, G_i) \longrightarrow (U_{g,i}, G_{g,i})$. Si $g \in G_i$ cette équivalence est le foncteur

$$\begin{array}{ccc} G_i - U_i & \xrightarrow{\sim} & G_i - U_i \\ \mathcal{F} & \mapsto & \mathcal{F}^g \end{array}$$

où \mathcal{F}^g est le G_i -faisceau "tordu par l'automorphisme intérieur" int_g de G_i .

Pour un tel $g \in G_i$ il y a un isomorphisme de foncteurs

$$\gamma_{i,g} : (-)^g \xrightarrow{\sim} \text{Id}$$

donné pour un $\mathcal{F} \in G_i - U_i$ par l'action de $g : g^* \mathcal{F} \longrightarrow \mathcal{F}$.

Soit maintenant $(\mathcal{F}_i)_{i \in I} \in \prod_{i \in I} G_i - U_i$ une collection de faisceaux équivariants. Se donner un G -faisceau \mathcal{F} sur X tel que $\forall i \in I \quad \mathcal{F}|_{U_i} \simeq \mathcal{F}_i$ comme G_i -faisceaux est équivalent à la donnée

- d'isomorphismes de G_{ij} -faisceaux $\beta_{ij} : \mathcal{F}_i|_{U_{ij}} \xrightarrow{\sim} \mathcal{F}_j|_{U_{ij}}$ vérifiant $\beta_{ij}|_{U_{ijk}} \circ \beta_{jk}|_{U_{ijk}} = \beta_{ik}|_{U_{ijk}}$
- d'isomorphismes de G_i -faisceaux $\forall g, i \quad \alpha_{g,i} : g^* \mathcal{F}_{g,i} \xrightarrow{\sim} \mathcal{F}_i$ vérifiant $\alpha_{g_1,i} \circ g_1^* \alpha_{g_2, g_2 g_1, i} = \alpha_{g_2 g_1, i}$ et tels que si $g \in G_i$ on ait $\alpha_{g,i} = \gamma_{i,g}$ l'isomorphisme donné par la structure de G_i -faisceau sur \mathcal{F}_i
- enfin on demande que le diagramme suivant commute

$$\begin{array}{ccc} g^*(\mathcal{F}_{g,i}|_{U_{g,i,g,j}}) & \xrightarrow{\alpha_{g,i}} & \mathcal{F}_i|_{U_{ij}} \\ g^* \beta_{g,i,g,j} \downarrow & & \downarrow \beta_{ij} \\ g^*(\mathcal{F}_{g,j}|_{U_{g,i,g,j}}) & \xrightarrow{\alpha_{g,j}} & \mathcal{F}_j|_{U_{ij}} \end{array}$$

11.4.2. Hypothèses et notations. — Nous ferons désormais les hypothèses suivantes. Il existe un domaine analytique compact W dans la base de notre tour X_{G^0} tel que

- Lorsque $(g, h) \in G \times H$ parcourt $G \times H$ l'image par les correspondances de Hecke

$$\begin{array}{ccc} X_{G^0 \cap g G^0 g^{-1}} & \xrightarrow{(g,h)} & X_{g^{-1} G^0 g \cap G^0} \\ \pi_{G^0 \cap g G^0 g^{-1}, G^0} \swarrow & & \searrow \pi_{g^{-1} G^0 g \cap G^0, G^0} \\ X_{G^0} & & X_{G^0} \end{array}$$

de W , les $\pi_{g^{-1} G^0 g \cap G^0, G^0} \left((g, h) \cdot \pi_{G^0 \cap g G^0 g^{-1}, G^0}^{-1}(W) \right)$, recouvrent X_{G^0} .

- Soit H^0 le stabilisateur dans H de W (qui est nécessairement un sous-groupe ouvert). On suppose l'existence d'un sous-groupe central Z dans $G \times H$ tel que Z agisse trivialement sur la tour. Notons alors

$$\mathcal{I} = (G^0 \backslash G \times H / H^0) / Z$$

et $\forall z \in \mathcal{I} \quad z.W \subset X_{G^0}$ l'image de W donnée par la correspondance de Hecke z . On suppose alors que

$$\forall z \in \mathcal{I} \quad \{z' \in \mathcal{I} \mid z'.W \cap z.W \neq \emptyset\} \text{ est fini}$$

Exemple 11.11. — Prenons le cas des espaces de Lubin-Tate étudié dans [10]. Avec les notations de l'article [10] l'espace de Rapoport-Zink sans niveau \mathcal{M} s'écrit $\mathcal{M} = \coprod_{\mathbb{Z}} \mathfrak{X}^{an}$ où \mathfrak{X} désigne l'espace de Lubin-Tate. Alors le domaine fondamental de Gross-Hopkins dans la composante indexée par $0 \in \mathbb{Z}$ satisfait aux hypothèses demandée à W . L'ensemble \mathcal{I} consiste en les sommets de l'immeuble introduit dans [10].

Exemple 11.12. — Dans le cas de l'espace de Rapoport-Zink associé à l'espace de Drinfeld Ω , $\mathcal{M} = \coprod_{\mathbb{Z}} \Omega$ on peut prendre pour W l'image réciproque d'un simplexe maximal dans l'immeuble via la rétraction de Ω sur l'immeuble.

11.4.3. *Les topos équivariants fibres en un sommet de "l'immeuble".* —

Définition 11.13. — Soit $z = [g, h] \in \mathcal{I}$. On note $G_z = g^{-1}G^0g$, $H_z = hH^0h^{-1}$. Pour $K \subset G_z \cap G^0$ un sous-groupe ouvert on note

$$W_{z,K} = (g, h) \cdot \pi_{gKg^{-1}, G^0}^{-1}(W) \subset X_K$$

$$\begin{array}{ccc} & X_{gKg^{-1}} & \xrightarrow{(g,h)} X_K \\ & \swarrow \pi_{gKg^{-1}, G^0} & \\ X_{G^0} & & \end{array}$$

De même si $I \subset \mathcal{I}$ est un sous-ensemble fini on note $G_I = \bigcap_{z \in I} G_z$, $H_I = \bigcap_{z \in I} H_z$ et pour $K \subset G_I \cap G^0$ $W_{I,K} = \bigcap_{z \in I} W_{z,K} \subset X_K$.

Remarquons que si $K \subset G_I \cap G^0$, $g \in G_I$ et $h \in H_I$ sont tels que $g^{-1}Kg \subset G^0$ alors $g^{-1}Kg \subset G_I \cap G^0$ et (g, h) induit un isomorphisme

$$(g, h) : W_{I,K} \xrightarrow{\sim} W_{I, g^{-1}Kg}$$

On obtient ainsi une tour $(W_{I,K})_{K \subset G_I \cap G^0}$ satisfaisant aux même conditions que la tour $K \mapsto X_K$ en remplaçant G par G_I , G^0 par $G_I \cap G^0$ et H par H_I . Cette tour est plus simple car pour celle-ci G_I est compact.

Définition 11.14. — Soit $I \subset \mathcal{I}$ un ensemble fini. On note $\mathcal{H}_{\text{qétc}, I}^{\text{cart}}$ la catégorie des objets cartésiens du topos total du topos fibré $G_I \cap G^0 \supset K \mapsto (W_{I,K})_{\text{qétc}-H_I-\text{lss}}$ au dessus de la catégorie des sous-groupes ouverts de $G_I \cap G^0$ munis des morphismes $\text{Hom}(K, K') = \{g \in K \backslash G_I \mid g^{-1}Kg \subset K'\}$. On note de même $\mathcal{H}_{\text{ét}, I}^{\text{cart}}$ en remplaçant quasi-étale par étale.

Lemme 11.15. — Soit $\bullet \in \{\text{ét}, \text{qétc}\}$. Soit I comme précédemment et $K_0 \subset G_I \cap G^0$ tel que $K_0 \triangleleft G_I$. Alors l'application qui à $(\mathcal{F}_K)_{K \subset G_I \cap G^0} \in \mathcal{H}_{\bullet, I}^{\text{cart}}$ associe \mathcal{F}_{K_0} muni de son action de $G_I/K_0 \times H_I$ compatible à celle sur W_{I, K_0} est une équivalence de catégories entre $\mathcal{H}_{\bullet, I}^{\text{cart}}$ et $(W_{K_0, I})_{\bullet, G_I/K_0 \times H_I-\text{lss}}$.

Démonstration. C'est une conséquence du rappel du début de la section 8.8 sur les faisceaux équivariants sur un torseur. En effet, si $K \subset K_0$ il suffit de poser $\mathcal{F}_K = \pi_{K, K_0}^* \mathcal{F}_{K_0}$. Pour $K \subset G_I \cap G^0$ général il suffit de choisir $K' \triangleleft G_I$ tel que $K' \subset K_0$ et $K' \subset K$. Alors

$$\mathcal{F}_K = (\pi_{K', K}^* (\pi_{K', K_0}^* \mathcal{F}_{K_0}))^{K/K'}$$

On vérifie alors que l'action de G_I/K_0 sur \mathcal{F}_{K_0} définit bien un objet cartésien de notre topos fibré. \square

On a même le lemme suivant.

Lemme 11.16. — Soient $\bullet \in \{\text{ét}, \text{qétc}\}$ et I comme précédemment. Soit $K \subset G_I \cap G^0$ tel que $K \triangleleft G_I$. Notons $W_I := W_{I, K} / (G_I/K)$. Alors $W_{I, K} \rightarrow W_I$ est un (G_I/K) -torseur étale et il y a une équivalence

$$\mathcal{H}_{\bullet, H_I-\text{lss}}^{\text{cart}} \xrightarrow{\sim} (W_I)_{\bullet, H_I-\text{lss}}$$

Démonstration. Elle ne pose pas de problème. \square

Exemple 11.17. — Dans le contexte de l'article [10] on trouve donc que pour un sommet z de l'immeuble les objets de $\mathcal{H}_{\bullet,z}^{\text{cart}}$ s'identifient aux \mathcal{O}_D^\times -faisceaux lisses sur la cellule sans niveau associée au sommet z .

Il y a une action de $G \times H$ sur \mathcal{I} (l'action de G se faisant à droite) telle que $\forall I \ G_{(g,h).I} = g^{-1}G_I g$ et $H_{(g,h).I} = hH_I h^{-1}$. Cette action induit un isomorphisme pour I et $K \subset G_I \cap G^0$ suffisamment petits

$$(g, h) : W_{I,K} \xrightarrow{\sim} W_{(g,h).I, g^{-1}Kg}$$

Cela n'induit pas un isomorphisme entre les tours $(W_{I,K})_{K \subset G_I \cap G^0}$ et $(W_{(g,h).I,K})_{K \subset G_{(g,h).I} \cap G^0}$ car il faut se restreindre à des K suffisamment petits. Néanmoins d'après le lemme 11.15 cela induit une équivalence entre les systèmes de faisceaux cartésiens sur les tours

$$((g, h)_*, (g, h)^*) : \mathcal{H}_{\bullet,I}^{\text{cart}} \xrightarrow{\sim} \mathcal{H}_{\bullet,(g,h).I}^{\text{cart}}$$

De plus si $J \subset I$ il y a une application de restriction

$$\begin{aligned} \mathcal{H}_{\bullet,J}^{\text{cart}} &\longrightarrow \mathcal{H}_{\bullet,I}^{\text{cart}} \\ (\mathcal{F}_K)_{K \subset G_J \cap G^0} &\longmapsto (\mathcal{F}_K|_{W_{I,K}})_{K \subset G_I \cap G^0} \end{aligned}$$

11.4.4. *Reconstruction des systèmes de faisceaux cartésiens sur la tour à partir de ceux sur les tours en chaque sommet de l'immeuble.* —

Théorème 11.18. — Il y a une équivalence de catégories entre les systèmes cartésiens de faisceaux quasi-étales sur la tour, $\mathcal{H}_{\text{qétc}}^{\text{cart}}$, est les $(\mathcal{F}_i)_{i \in \mathcal{I}}$, où $\mathcal{F}_i \in \mathcal{H}_{\text{qétc},i}^{\text{cart}}$

– munis d'isomorphismes $\forall i, j \ \beta_{ij} : \mathcal{F}_i|_{\mathcal{H}_{ij}^{\text{cart}}} \xrightarrow{\sim} \mathcal{F}_j|_{\mathcal{H}_{ij}^{\text{cart}}}$ satisfaisant

$$\beta_{ij}|_{\mathcal{H}_{ijk}^{\text{cart}}} \circ \beta_{jk}|_{\mathcal{H}_{ijk}^{\text{cart}}} = \beta_{ik}|_{\mathcal{H}_{ijk}^{\text{cart}}}$$

– munis d'isomorphismes $\forall (g, h) \in G \times H \ \forall i \ \alpha_{(g,h),i} : (g, h)^* \mathcal{F}_{(g,h).i} \xrightarrow{\sim} \mathcal{F}_i$ satisfaisant

$$\forall (g, h), (g', h') \ \forall i \ \alpha_{(g',h'),(g,h).i} \circ (g, h)^* \alpha_{(g,h),i} = \alpha_{(g'g,h'h),i}$$

et tels que si $(g, h) \in G_i \times H_i$ alors $\alpha_{(g,h),i}$ soit l'action de $G_i \times H_i$ sur le système de faisceau \mathcal{F}_i

– et enfin tels que le diagramme suivant commute

$$\begin{array}{ccc} ((g, h)^* \mathcal{F}_{(g,h).i})|_{\mathcal{H}_{ij}^{\text{cart}}} & \xrightarrow{(\alpha_{(g,h),i})|_{\mathcal{H}_{ij}^{\text{cart}}}} & \mathcal{F}_i|_{\mathcal{H}_{ij}^{\text{cart}}} \\ \downarrow (g,h)^* \beta_{(g,h).i,(g,h).j} & & \downarrow \beta_{ij} \\ ((g, h)^* \mathcal{F}_{(g,h).j})|_{\mathcal{H}_{ij}^{\text{cart}}} & \xrightarrow{(\alpha_{(g,h),j})|_{\mathcal{H}_{ij}^{\text{cart}}}} & \mathcal{F}_j|_{\mathcal{H}_{ij}^{\text{cart}}} \end{array}$$

Lorsque les images par les correspondances de Hecke de $\overset{\circ}{W}$ recouvrent X_{G^0} on peut remplacer quasi-étale par étale.

Démonstration. Il y a un foncteur qui à $(\mathcal{F}_K)_{K \subset G^0} \in \mathcal{H}_{\text{qétc}}^{\text{cart}}$ associe la collection des $(\mathcal{F}_K|_{W_{i,K}})_{K \subset G_i \cap G^0} \in \mathcal{H}_{\text{qétc},i}^{\text{cart}}$ lorsque i varie dans \mathcal{I} et dont on vérifie que c'est bien un objet cartésien comme dans l'énoncé du théorème.

Montrons que ce foncteur induit une équivalence. Soit donc $(\mathcal{F}_{i,K})_{i \in \mathcal{I}, K \subset G_i \cap G^0}$ un système de faisceaux comme dans l'énoncé. Écrivons

$$\mathcal{I} = \bigcup_{k \geq 1} A_k$$

où $\forall k$ A_k est un ensemble fini, $A_k \subset A_{k+1}$ et $(G^0 \times H^0).A_k = A_k$. Alors

$$X_{G^0} = \bigcup_{\substack{k \geq 1 \\ K \subset G_{A_k} \cap G^0}} \pi_{K, G^0} \left(\bigcup_{i \in A_k} W_{i, K} \right)$$

où dans l'union précédente pour un k donné $K \subset G_{A_k} \cap G^0$ est quelconque, on peut prendre en particulier $K_k := G_{A_k} \cap G^0 \triangleleft G^0$. Il y a un revêtement galoisien de groupe G^0/K_k

$$\begin{array}{ccc} \bigcup_{i \in A_k} W_{i, K_k} & \xrightarrow{\substack{\text{domaine analytique} \\ \text{compact}}} & X_{K_k} \\ \downarrow & & \downarrow \\ \pi_{K_k, G^0} \left(\bigcup_{i \in A_k} W_{i, K} \right) & \xrightarrow{\quad} & X_{G^0} \end{array}$$

Les H^0 -faisceaux quasi-étales lisses $(\mathcal{F}_{i, K_k})_{i \in A_k}$ se recollent grâce aux données de recollement de l'énoncé en un $G^0/K_k \times H^0$ -faisceau lisse quasi-étale \mathcal{G}_k sur $\bigcup_{i \in A_k} W_{i, K_k}$. Ce faisceau descend en un H^0 -faisceau lisse $\mathcal{H}_k = (\pi_{K_k, G^0}^* \mathcal{G}_k)^{G^0/K_k}$ sur $\pi_{K_k, G^0} \left(\bigcup_{i \in A_k} W_{i, K} \right)$. Lorsque $k' \geq k$ il y a des identifications $\mathcal{H}_{k'}|_{\pi_{K_k, G^0} \left(\bigcup_{i \in A_k} W_{i, K_k} \right)} = \mathcal{H}_k$. Cela définit par recollement un H^0 -faisceau lisse \mathcal{F}_{K^0} sur X_{G^0} . On pose alors $\forall K \subset G^0$ $\mathcal{F}_K = \pi_{K, G^0}^* \mathcal{F}_{G^0}$.

On doit maintenant montrer que ce système de faisceaux est muni d'une action de $G \times H$, c'est à dire définir des isomorphismes naturels $\forall K \subset G^0 \forall (g, h)$ tels que $g^{-1}Kg \subset G^0$ $(g, h)^* \mathcal{F}_{g^{-1}Kg} \xrightarrow{\sim} \mathcal{F}_K$. Cela est fastidieux mais ne pose pas de problèmes particuliers. On en laisse donc la vérification au lecteur. \square

Remarque 11.19. — Quitte à remplacer W par un nombre fini de ses itérés sous des correspondances de Hecke on peut toujours supposer que les itérés sous les correspondances de Hecke de $\overset{\circ}{W}$ recouvrent X_{G^0} .

11.5. Faisceaux cartésiens sur la tour et espaces de périodes. — Supposons maintenant l'existence d'un morphisme étale d'espaces analytiques

$$\Pi : X_{G^0} \longrightarrow P$$

tel que P soit muni d'une action lisse de H et Π commute à cette action. Supposons de plus que Π est G -invariant au sens où $\forall g \in G$ le diagramme suivant commute

$$\begin{array}{ccc} X_{G^0 \cap gG^0 g^{-1}} & \xrightarrow{g} & X_{g^{-1}G^0 g \cap G^0} \\ \pi_{G^0 \cap gG^0 g^{-1}, G^0} \swarrow & & \searrow \pi_{g^{-1}G^0 g \cap G^0, G^0} \\ X_{G^0} & & X_{G^0} \\ & \searrow \Pi & \swarrow \Pi \\ & P & \end{array}$$

On peut alors définir deux foncteurs pour $\bullet \in \{\text{ét}, \text{qét}\}$

$$\begin{aligned} \alpha : P_{\bullet-H-\text{lss}}^{\sim} &\longrightarrow \mathcal{H}_{\bullet}^{\text{cart}} \\ \mathcal{G} &\longmapsto \left((\Pi \circ \pi_{K, G^0})^* \mathcal{G} \right)_{K \subset G^0} \end{aligned}$$

$$\begin{aligned} \beta : \mathcal{H}_{\bullet}^{\text{cart}} &\longrightarrow P_{\bullet-H-\text{lss}}^{\sim} \\ (\mathcal{F}_K)_{K \subset G^0} &\longmapsto \left[\varinjlim_{K \subset G^0} (\Pi \circ \pi_{K, G^0})^* \mathcal{F}_K \right]^G \end{aligned}$$

où l'action de G sur $\varinjlim_{K \subset G^0} (\Pi \circ \pi_{K, G^0})_* \mathcal{F}_K$ se fait de la façon suivante. Pour $g \in G$ et K suffisamment petit tel que $K \subset G^0 \cap g^{-1}G^0g$ il y a un isomorphisme $\mathcal{F}_K \simeq g_* \mathcal{F}_{gKg^{-1}}$ qui induit

$$\begin{aligned} (\Pi \circ \pi_{K, G^0})_* \mathcal{F}_K &\simeq (\Pi \circ \pi_{K, G^0})_*(g_* \mathcal{F}_{gKg^{-1}}) \\ &= (\Pi \circ \pi_{K, G^0} \circ g)_* \mathcal{F}_{gKg^{-1}} \\ &= (\Pi \circ \pi_{gKg^{-1}, G^0})_* \mathcal{F}_{gKg^{-1}} \longrightarrow \varinjlim_{K' \subset G^0} (\Pi \circ \pi_{K', G^0})_* \mathcal{F}_{K'} \end{aligned}$$

On vérifie que lorsque K varie ces morphismes sont compatibles et que donc g induit un automorphisme du faisceau limite inductive.

Une autre description du foncteur β en termes de correspondances de Hecke sphériques plutôt que d'invariants sous G est la suivante. Si $K \subset G^0$ étant donné que $\pi_{K, G^0}^* \mathcal{F}_{G^0} \xrightarrow{\sim} \mathcal{F}_K$ il y a un monomorphisme $\mathcal{F}_{G^0} \hookrightarrow (\pi_{K, G^0})_* \mathcal{F}_K$ tel que si $K \triangleleft G^0$ on ait $[(\pi_{K, G^0})_* \mathcal{F}_K]^{G^0} = \mathcal{F}_{G^0}$. Donc

$$\beta((\mathcal{F}_K)_K) = \left[\varinjlim_{K \subset G^0} (\Pi \circ \pi_{K, G^0})_* \mathcal{F}_K \right]^G \subset \left[\varinjlim_{K \subset G^0} (\Pi \circ \pi_{K, G^0})_* \mathcal{F}_K \right]^{G^0} = \varinjlim_{K \triangleleft G^0} [(\Pi \circ \pi_{K, G^0})_* \mathcal{F}_K]^{G^0} = \Pi_* \mathcal{F}_{G^0}$$

Maintenant si $g \in G$ il y a deux flèches

$$\begin{array}{ccc} \Pi_* \mathcal{F}_{G^0} & \xlongequal{\quad} & (\Pi \circ \pi_{G^0 \cap g^{-1}G^0g, G^0})_* \mathcal{F}_{G^0 \cap g^{-1}G^0g} \xrightarrow{\sim} (\Pi \circ \pi_{G^0 \cap g^{-1}G^0g, G^0})_* g_* \mathcal{F}_{gG^0g^{-1}} \\ & \searrow \delta_g & \parallel \\ & & (\Pi \circ \pi_{gG^0g^{-1} \cap G^0, G^0})_* \mathcal{F}_{gG^0g^{-1} \cap G^0} \end{array}$$

ainsi que la flèche tautologique

$$\eta_g : \Pi_* \mathcal{F}_{G^0} \hookrightarrow (\Pi \circ \pi_{gG^0g^{-1} \cap G^0, G^0})_* \mathcal{F}_{gG^0g^{-1} \cap G^0}$$

Alors

$$\beta((\mathcal{F}_K)_K) = \bigcap_{\bar{g} \in G/G^0} \ker \left(\Pi_* \mathcal{F}_{G^0} \begin{array}{c} \xrightarrow{\eta_g} \\ \xrightarrow{\delta_g} \end{array} (\Pi \circ \pi_{gG^0g^{-1} \cap G^0, G^0})_* \mathcal{F}_{gG^0g^{-1} \cap G^0} \right)$$

Lemme 11.20. — Les deux foncteurs précédents $P_{\bullet-H-lss} \xrightleftharpoons[\beta]{\alpha} \mathcal{H}_{\bullet}^{cart}$ entre faisceaux de Hecke cartésiens sur la tour et faisceaux sur l'espace de périodes sont adjoints l'un de l'autre : α est l'adjoint à gauche de β .

Démonstration. Cela résulte facilement de la seconde description du foncteur β . \square

Remarque 11.21. — Si Π est surjectif alors α est fidèle puisque $\Pi : X_{G^0} \rightarrow P$ est un recouvrement étale.

Proposition 11.22. — Supposons l'existence d'un domaine analytique compact $W \subset X_{G^0}$ satisfaisant aux hypothèses de la section 11.4 et tel que de plus $\Pi|_W$ soit un isomorphisme entre W et $\Pi(W)$. Alors β est pleinement fidèle et donc α et β induisent des équivalences de catégories entre faisceaux sur l'espace de périodes et faisceaux cartésiens sur la tour.

Démonstration. Grâce à la description donnée dans la section 11.4 des faisceaux cartésiens comme recollés de faisceaux en chaque sommet de "l'immeuble" \mathcal{I} on vérifie que

$$\beta((\mathcal{F}_K)_K)|_{\Pi(W)} = \Pi_*((\mathcal{F}_{G^0})|_W)$$

\square

Remarque 11.23. — Dans la proposition précédente pour traiter le cas du site étale il faut remarquer que si $\Pi|_W$ est un isomorphisme alors puisque Π est étale il existe un domaine analytique compact W' contenant W dans son intérieur et tel que $\Pi|_{W'}$ soit un isomorphisme.

11.6. Rajout d'une donnée de descente. — Soit $F|\mathbb{Q}_p$ une extension de degré fini et $\check{F} = \widehat{F^{nr}}$. On note $\sigma \in \text{Aut}(\check{F})$ le Frobenius de $F^{nr}|F$. Plaçons nous dans le cadre précédent et supposons que notre tour $K \mapsto X_K$ est une tour de \check{F} -espaces analytiques.

Supposons de plus que la tour est munie d'une donnée de descente à F c'est à dire un morphisme entre foncteur de \mathcal{S} vers la catégorie des \check{F} -espaces analytiques munis d'une action de H

$$\alpha : (X_K)_{K \subset G^0} \longrightarrow (X_K^{(\sigma)})_{K \subset G^0}$$

Cette donnée de descente ne sera pas nécessairement supposée effective. Notons $pr : (X_K^{(\sigma)})_K \longrightarrow (X_K)_K$ la projection de $(X_K)_K \hat{\otimes}_{\check{F}, \sigma} \check{F}$ vers $(X_K)_K$.

On peut alors considérer les faisceaux de Hecke sur la tour munis d'une donnée de descente c'est à dire pour $\bullet \in \{\text{ét}, \text{qét}\}$ le topos total du diagramme de topos

$$\mathcal{H}_\bullet((X_K)_K) \begin{array}{c} \xrightarrow{Id} \\ \xrightarrow{pr \circ \alpha} \end{array} \mathcal{H}_\bullet((X_K)_K)$$

dont les objets sont les $(\mathcal{F}_K)_K$ munis de morphismes H -équivariants compatibles aux morphismes de la tour $\alpha^* \mathcal{F}_K^{(\sigma)} \longrightarrow \mathcal{F}_K$.

Notons alors ${}_\sigma \mathcal{H}_\bullet$ le topos des faisceaux de Hecke munis d'une donnée de descente et ${}_\sigma \mathcal{H}_\bullet^{cart}$ le même en remplaçant faisceaux par faisceaux cartésiens.

Si $(\mathcal{F}_K)_K \in {}_\sigma \mathcal{H}_{\text{ét}}$ notons $(\overline{\mathcal{F}}_K)_K$ le faisceau étendu à la tour $(X_K \otimes_{\check{F}} \widehat{\check{F}})_K$ où l'on voit cette dernière tour comme associée non-plus aux groupes G et H mais à G et $H \times I_F$ où $I_F = \text{Gal}(\overline{\check{F}}|\check{F})$.

On a bien $(\overline{\mathcal{F}}_K)_K \in \mathcal{H}_{\text{ét}}((X_K \otimes_{\check{F}} \widehat{\check{F}})_K)$ (l'action de l'inertie I_F est lisse). Couplé à la donnée de descente cela définit un foncteur

$$\begin{aligned} \Gamma_c(\mathcal{H}_{\text{ét}} \hat{\otimes}_{\check{F}} \widehat{\check{F}}, -) : {}_\sigma \mathcal{H}_{\text{ét}} &\longrightarrow \Lambda[G \times H \times W_F]_{\text{lss}} \\ (\mathcal{F}_K)_K &\longmapsto \lim_{\substack{\longrightarrow \\ K \subset G^0}} \Gamma_c(X_K \hat{\otimes}_{\check{F}} \widehat{\check{F}}, \overline{\mathcal{F}}_K) \end{aligned}$$

et on note $R\Gamma_c(\mathcal{H}_{\text{ét}} \hat{\otimes}_{\check{F}} \widehat{\check{F}}, -) : {}_\sigma \mathcal{H}_{\text{ét}} \longrightarrow \mathbb{D}^+(\Lambda[G \times H \times W_F]_{\text{lss}})$ le foncteur dérivé associé. Il jouit de toutes les propriétés précédentes énoncées dans la section 11.3 (utiliser toujours le fait qu'un objet injectif d'un topos total associé à un topos fibré est injectif étage par étage).

Plaçons nous maintenant dans le cadre de la section 11.5. Supposons de plus que l'espace de périodes P soit muni d'une donnée de descente et que le morphisme des périodes Π soit compatible à cette donnée. On obtient alors une équivalence entre faisceaux de Hecke cartésiens sur la tour et H -faisceaux lisses sur P munis d'une donnée de descente.

Dans les considérations précédentes on peut également considérer la variante suivante : remplacer ce qu'on a appelé donnée de descente par la notion plus forte qui consiste à demander que le morphisme $\alpha^* \mathcal{F}_K^{(\sigma)} \longrightarrow \mathcal{F}_K$ soit un isomorphisme. Tout ce que l'on vient de dire s'adapte à cette situation.

12. Faisceaux de Hecke cartésiens et faisceaux rigides équivariants en niveau infini

12.1. Faisceaux lisses sur une tour. — Soient G et H deux groupes profinis et $(\mathfrak{X}_K)_{K \subset G}$ une tour équivariante de H -schémas formels admissibles quasicompacts. Plus précisément si \mathcal{S} est la catégorie dont les objets sont les sous-groupes ouverts de G et

$$\forall K, K' \in \mathcal{S} \quad \text{Hom}_{\mathcal{S}}(K, K') = \{g \in K \setminus g \mid g^{-1}K'g \subset K'\}$$

on suppose que $K \mapsto \mathfrak{X}_K$ définit un foncteur de \mathcal{S} dans la catégorie des schémas formels admissibles quasicompacts munis d'une action continue de H . On suppose de plus que pour $K' \subset K$ le morphisme $\mathfrak{X}_{K'} \longrightarrow \mathfrak{X}_K$ est affine et si $K' \triangleleft K$ alors $\mathfrak{X}_{K'}^{rig} \longrightarrow \mathfrak{X}_K^{rig}$ est un K/K' -torseur étale.

Soit $\mathfrak{X}_\infty = \varprojlim_K \mathfrak{X}_K$ qui est donc muni d'une action de $G \times H$.

Lemme 12.1. — *L'action de $G \times H$ sur \mathfrak{X}_∞ est continue.*

Rappelons (théorème 6.7) qu'il y a une équivalence de topos

$$(\mathfrak{X}_\infty)_{\mathcal{E}\text{-rig-ét}} \xrightarrow{\sim} \varprojlim_K (\mathfrak{X}_K)_{\text{rig-ét}}$$

Proposition 12.2. — *Il y a des équivalences de topos*

$$(\mathfrak{X}_\infty)_{\mathcal{E}\text{-rig-ét-}G \times H\text{-lss}} \simeq (\mathfrak{X}_G)_{\text{rig-ét-}H\text{-lss}}$$

qui sont équivalents au topos des faisceaux de Hecke quasi-étales cartésiens H -lisses sur la tour $K \mapsto \mathfrak{X}_K^{\text{an}}$.

Démonstration. Il s'agit d'une application du théorème 8.20. On laisse en effet le lecteur vérifier que via l'équivalence $(\mathfrak{X}_\infty)_{\mathcal{E}\text{-rig-ét}} \xrightarrow{\sim} \varprojlim_{K \triangleleft G} (\mathfrak{X}_K)_{\text{rig-ét}}$ les faisceaux $G \times H$ -lisses correspondent aux systèmes projectifs de $G \times H$ -faisceaux lisses. \square

12.2. Principaux résultats. — Reprenons toutes les notations de la section 11. On supposera que $\forall I \subset \mathcal{I}$ la tour d'espaces analytiques $(W_{I,K})_{K \subset G_I \cap G^0}$ est de la forme $(W_{I,K}^{\text{an}})_{K \subset G_I \cap G^0}$ où

$$(W_{I,K})_{K \subset G_I \cap G^0}$$

est une tour de schémas formels admissibles quasicompacts munis d'une action lisse de H sur $\text{Spf}(\mathcal{O}_{\bar{F}})$ dont les morphismes de transition sont affines.

On supposera de plus que si $I \subset J$ l'inclusion de tours de domaines analytiques $(W_{J,K})_{K \subset G_J \cap G^0} \hookrightarrow (W_{I,K})_{K \subset G_I \cap G^0}$ est donnée par une immersion ouverte

$$(W_{J,K})_{K \subset G_J \cap G^0} \hookrightarrow (W_{I,K})_{K \subset G_I \cap G^0}$$

Cela permet de définir un schéma formel π -adique sans π -torsion sur $\text{Spf}(\mathcal{O}_{\bar{F}})$

$$\mathfrak{X}_\infty = \bigcup_{z \in \mathcal{I}} \varprojlim_{K \subset G_z \cap G^0} W_{z,K}$$

obtenu par recollement des limites projectives des tours au dessus de chaque sommet de l'immeuble comme dans l'article [10]. Ce schéma formel est muni d'une action cellulaire continue de $G \times H$.

Théorème 12.3. — *Il y a des équivalences de topos*

$$(\mathfrak{X}_\infty)_{\mathcal{E}\text{-rig-ét-}G \times H\text{-lss}} \simeq \mathcal{H}_{\text{qétc-}H\text{-lss}}^{\text{cart}} \simeq P_{\text{qétc-}H\text{-lss}}^{\sim}$$

entre faisceaux \mathcal{E} -rig-étales $G \times H$ -équivariants lisses sur \mathfrak{X}_∞ , systèmes de faisceaux de Hecke cartésiens quasi-étales H -lisses sur la tour et faisceaux quasi-étales H -lisses sur l'espace des périodes.

Démonstration. Il suffit d'empiler la proposition 12.2 avec le théorème 11.18 et la proposition 11.22. \square

Soit \mathfrak{X} un schéma formel π -adique sans π -torsion. Si $x : \text{Spf}(V) \rightarrow \mathfrak{X}$ est un point rigide de \mathfrak{X} et $\mathcal{F} \in \mathfrak{X}_{\mathcal{E}\text{-rig-ét}}^{\sim}$ on peut définir la fibre de \mathcal{F} en x $x^*\mathcal{F}$ qui est un ensemble muni d'une action lisse de $\text{Gal}(\overline{V}[\frac{1}{p}]|V[\frac{1}{p}])$.

On a défini dans la section les points analytique d'un schéma formel π -adique sans π -torsion et la notion de spécialisation dans $|\mathfrak{X}^{\text{rig}}|$.

Définition 12.4. — Soit \mathfrak{X} un schéma formel π -adique sans π -torsion. Un faisceau $\mathcal{F} \in \mathfrak{X}_{\mathcal{E}\text{-rig-ét}}^{\sim}$ sera dit surconvergent si $\forall x : \text{Spf}(V) \rightarrow \mathfrak{X}, \forall y : \text{Spf}(V') \rightarrow \mathfrak{X}$ deux points rigides tels que $x \succ y$ le morphisme de spécialisation

$$y^*\mathcal{F} \rightarrow x^*\mathcal{F}$$

est un isomorphisme.

On peut alors démontrer le théorème suivant.

Théorème 12.5. — *Dans les équivalences de topos précédentes le sous-topos des faisceaux étales sur l'espace de périodes correspondent au faisceaux surconvergent de $(\mathfrak{X}_\infty)_{\mathcal{E}\text{-rig-ét-}G \times H\text{-lss}}$.*

Théorème 12.6. — *Soit $(\mathcal{F}_K)_K$ un système de faisceaux de Hecke étales cartésien sur la tour et $R\Gamma_c(\mathcal{H}_{\text{ét}} \hat{\otimes} \widehat{F}, (\mathcal{F}_K)_K) \in \mathbb{D}^+(\Lambda[G \times H \times I_F]_{\text{lss}})$ son complexe de cohomologie lisse. Soit $\mathcal{G} \in \Lambda - (\mathfrak{X}_\infty)_{\mathcal{E}\text{-rig-ét-}G \times H\text{-lss}}$ le faisceau équivariant lisse associé sur \mathfrak{X}_∞ . Il y a alors un isomorphisme dans la catégorie dérivée équivariante lisse*

$$R\Gamma_c(\mathcal{H}_{\text{ét}} \hat{\otimes} \widehat{F}, (\mathcal{F}_K)_K) \simeq R\Gamma_!((\mathfrak{X}_\infty \hat{\otimes} \mathcal{O}_{\widehat{F}})^{\text{rig}}, \mathcal{G})$$

Démonstration. Utiliser le théorème 12.3 couplé aux résolutions de Čech permettant de calculer les différents complexes de cohomologie à support compact pour des résolutions flasques, comme le lemme 11.5. \square

13. Application aux tours de Lubin-Tate et de Drinfeld

13.1. La correspondance de Jacquet-Langlands locale géométrique. —

Théorème 13.1. — *Soit $(\mathbb{P}^{n-1})^{\text{tor du}}$ l'espace des périodes de Gross-Hopkins descendu à F via la donnée de descente de Rapoport-Zink. Il s'agit de l'espace analytique de Berkovich associé à une variété de Severi-Brauer définie par l'algèbre à division D d'invariant $\frac{1}{n}$ sur F . Soit $\Omega \subset \mathbb{P}^{n-1}_F$ l'espace de Drinfeld sur F . Il y a une équivalence de topos entre D^\times -faisceaux étales sur $(\mathbb{P}^{n-1})^{\text{tor du}}$ dont l'action de D^\times est lisse et $GL_n(F)$ -faisceaux étales sur Ω pour lesquels l'action de $GL_n(F)$ est lisse*

$$JL : ((\mathbb{P}^{n-1})^{\text{tor du}})_{\text{ét-}D^\times\text{-lss}} \xrightarrow{\sim} \Omega_{\text{ét-}GL_n(F)\text{-lss}}$$

Il en est de même en remplaçant étale par quasi-étale (i.e. faisceaux sur le site étale de l'espace rigide plutôt que sur l'espace analytique de Berkovich).

Démonstration. Dans [11] on a construit un isomorphisme $GL_n(F) \times D^\times$ -équivariant entre schémas formels π -adiques sur $\text{Spf}(\mathcal{O}_{\widehat{F}^{nr}})$

$$\mathfrak{X}'_\infty \xrightarrow{\sim} \mathcal{Y}'_\infty$$

où \mathfrak{X}'_∞ est un éclaté équivariant du schéma formel \mathfrak{X}_∞ construit dans [10] et associé à la tour de Lubin-Tate et \mathcal{Y}'_∞ est un éclaté d'un schéma formel \mathcal{Y}_∞ associé à la tour de Drinfeld. Par invariance du topos \mathcal{E} -rig-étale par éclatements formels admissibles on a

$$(\mathfrak{X}'_\infty)_{\mathcal{E}\text{-rig-ét-}GL_n(F) \times D^\times\text{-lss}} \simeq (\mathfrak{X}_\infty)_{\mathcal{E}\text{-rig-ét-}GL_n(F) \times D^\times\text{-lss}}$$

et

$$(\mathcal{Y}'_\infty)_{\mathcal{E}\text{-rig-ét-}GL_n(F) \times D^\times\text{-lss}} \simeq (\mathcal{Y}_\infty)_{\mathcal{E}\text{-rig-ét-}GL_n(F) \times D^\times\text{-lss}}$$

D'après le théorème 12.3

$$(\mathfrak{X}_\infty)_{\mathcal{E}\text{-rig-ét-}GL_n(F) \times D^\times\text{-lss}} \simeq (\mathbb{P}^{n-1})_{\text{qétc-}D^\times\text{-lss}}$$

et

$$(\mathcal{Y}_\infty)_{\mathcal{E}\text{-rig-ét-}GL_n(F) \times D^\times\text{-lss}} \simeq (\Omega \hat{\otimes} \widehat{F}^{nr})_{\text{qétc-}GL_n(F)\text{-lss}}$$

D'où le résultat sur \widehat{F}^{nr} et le site quasi-étale. Le cas du site étale se déduit en remplaçant le topos \mathcal{E} -rig-étale par le topos surconvergent. La descente de \widehat{F}^{nr} à F ne pose pas de problème une fois que l'on a vérifié que l'isomorphisme $\mathfrak{X}'_\infty \xrightarrow{\sim} \mathcal{Y}'_\infty$ est compatible à la donnée de descente de Rapoport-Zink. \square

13.2. Comparaison des complexes de cohomologie des deux tours. —

Théorème 13.2. — Soit $(\mathcal{M}_K^{\mathcal{LT}})_{K \subset GL_n(\mathcal{O}_F)}$ la tour de Lubin-Tate au sens de Rapoport-Zink (une union disjointe indexée par \mathbb{Z} de la tour de Lubin-Tate usuelle), formée d’espaces analytiques sur \check{F} , munie d’une action “horizontale” de D^\times d’une action “verticale” de $GL_n(F)$ par correspondances de Hecke et d’une donnée de descente à F . Soit

$$\check{\pi}_K^{\mathcal{LT}} : \mathcal{M}_K^{\mathcal{LT}} \longrightarrow \mathbb{P}_{\check{F}}^{n-1}$$

l’application des périodes de Gross-Hopkins. À un faisceau \mathcal{F} de $((\mathbb{P}^{n-1})^{\text{tor du}})_{\check{\text{ét}}-D^\times-lss}^\sim$ est associé un système de faisceaux “de Hecke” $((\check{\pi}_K^{\mathcal{LT}})^*\mathcal{F})_{K \subset GL_n(\mathcal{O}_F)}$ sur la tour de Lubin-Tate muni de correspondances de Hecke, d’une action de D^\times et d’une donnée de descente à F compatible à celle sur la tour (ces trois actions commutent). Soit le foncteur

$$\begin{aligned} \Gamma_c(\mathcal{LT}, -) : \Lambda - ((\mathbb{P}^{n-1})^{\text{tor du}})_{\check{\text{ét}}-D^\times-lss}^\sim &\longrightarrow \Lambda[GL_n(F) \times D^\times \times W_F] - \text{Mod-lisses} \\ \mathcal{F} &\longmapsto \lim_{\substack{\longrightarrow \\ K \subset GL_n(\mathcal{O}_F)}} \Gamma_c(\mathcal{M}_K^{\mathcal{LT}} \hat{\otimes}_{\check{F}} \check{\pi}_K^{\mathcal{LT}*}\mathcal{F}) \end{aligned}$$

Soit $(\mathcal{M}_K^{\mathcal{D}r})_{K \subset \mathcal{O}_D^\times}$ la tour de Drinfeld au sens de Rapoport-Zink (une union disjointe indexée par \mathbb{Z} de la tour usuelle de revêtements de l’espace Ω de Drinfeld), formée d’espaces analytiques sur \check{F} , munie d’une action “horizontale” de $GL_n(F)$, “verticale” de D^\times et d’une donnée de descente à \check{F} . Soit

$$\check{\pi}_K^{\mathcal{D}r} : \mathcal{M}_K^{\mathcal{D}r} \longrightarrow \Omega_{\check{F}}$$

l’application des périodes sur la tour de Drinfeld. À un faisceau \mathcal{G} de $\Omega_{\check{\text{ét}}-GL_n(F)-lss}^\sim$ est associé un système de faisceaux de Hecke muni d’une donnée de descente à F sur la tour de Drinfeld, $(\check{\pi}_K^{\mathcal{D}r*}\mathcal{G})_{K \subset \mathcal{O}_D^\times}$. Soit le foncteur

$$\begin{aligned} \Gamma_c(\mathcal{D}r, -) : \Lambda - \Omega_{\check{\text{ét}}-GL_n(F)-lss}^\sim &\longrightarrow \Lambda[GL_n(F) \times D^\times \times W_F] - \text{Mod-lisses} \\ \mathcal{G} &\longmapsto \lim_{\substack{\longrightarrow \\ K \subset GL_n(\mathcal{O}_F)}} \Gamma_c(\mathcal{M}_K^{\mathcal{D}r} \hat{\otimes}_{\check{F}} \check{\pi}_K^{\mathcal{D}r*}\mathcal{G}) \end{aligned}$$

Il y a alors un isomorphisme de foncteurs à valeurs dans $\mathbb{D}^+(\Lambda[GL_n(F) \times D^\times \times W_F]_{lss})$

$$R\Gamma_c(\mathcal{D}r, -) \circ JL \xrightarrow{\sim} R\Gamma_c(\mathcal{LT}, -)$$

En particulier si $\underline{\Delta}$ désigne le faisceau constant, $JL(\underline{\Delta}) = \underline{\Delta}$ et donc il y a un isomorphisme entre la cohomologie à support compact à coefficients constants des tours de Lubin-Tate et de Drinfeld.

Démonstration. Il s’agit d’une application du théorème 12.6 et du théorème principal de [11] comme dans la démonstration précédente. \square

Références

- [1] *Théorie des topos et cohomologie étale des schémas. Tome 2.* Springer-Verlag, Berlin, 1972. Séminaire de Géométrie Algébrique du Bois-Marie 1963–1964 (SGA 4), Dirigé par M. Artin, A. Grothendieck et J. L. Verdier. Avec la collaboration de N. Bourbaki, P. Deligne et B. Saint-Donat, Lecture Notes in Mathematics, Vol. 270.
- [2] V. Berkovich. Secret notes on equivariant compactly supported cohomology of analytic spaces. pages 1–5.
- [3] V. Berkovich. *Spectral theory and analytic geometry over non-Archimedean fields*, volume 33 of *Mathematical Surveys and Monographs*. American Mathematical Society, Providence, 1990.
- [4] V. Berkovich. Étale cohomology for non-archimedean analytic spaces. *Inst. Hautes Études Sci. Publ. Math.*, 78 :5–161, 1993.
- [5] V. Berkovich. Vanishing cycles for formal schemes. *Invent. Math.*, 115(3) :539–571, 1994.

- [6] S. Bosch and W. Lütkebohmert. Formal and rigid geometry. I. Rigid spaces. *Math. Ann.*, 295(2) :291–317, 1993.
- [7] S. Bosch and W. Lütkebohmert. Formal and rigid geometry. II. Flattening techniques. *Math. Ann.*, 296(3) :403–429, 1993.
- [8] S. Bosch, W. Lütkebohmert, and M. Raynaud. Formal and rigid geometry. III. The relative maximum principle. *Math. Ann.*, 302(1) :1–29, 1995.
- [9] R. Elkik. Solutions d'équations à coefficients dans un anneau hensélien. *Ann. Sci. École Norm. Sup.*, 6((4)) :553–603, 1974.
- [10] L. Fargues. L'isomorphisme entre les tours de Lubin-Tate et de Drinfeld : décomposition cellulaire de la tour de Lubin-Tate. *preprint*.
- [11] L. Fargues. L'isomorphisme entre les tours de Lubin-Tate et de Drinfeld : démonstration du résultat principal. *preprint*.
- [12] K. Fujiwara. Theory of tubular neighborhood in étale topology. *Duke Math. J.*, 80(1) :15–57, 1995.
- [13] A. Grothendieck and J.-L. Verdier. Conditions de finitude, topos et sites fibrés. application aux questions de passage à la limite. In *Théorie des topos et cohomologie étale des schémas. Tome 2, exposé VI*, pages iv+418, Berlin, 1972. Springer-Verlag. Séminaire de Géométrie Algébrique du Bois-Marie 1963–1964 (SGA 4), Dirigé par M. Artin, A. Grothendieck et J. L. Verdier. Avec la collaboration de N. Bourbaki, P. Deligne et B. Saint-Donat, Lecture Notes in Mathematics, Vol. 270.
- [14] M. Hochster. Prime ideal structure in commutative rings. *Trans. Amer. Math. Soc.*, 142 :43–60, 1969.
- [15] M. J. Hopkins and B. H. Gross. Equivariant vector bundles on the Lubin-Tate moduli space. In *Topology and representation theory (Evanston, IL, 1992)*, volume 158 of *Contemp. Math.*, pages 23–88. Amer. Math. Soc., Providence, RI, 1994.
- [16] R. Huber. A generalization of formal schemes and rigid analytic varieties. *Math. Z.*, 217(no. 4) :513–551, 1994.
- [17] R. Huber. *Étale cohomology of rigid analytic varieties and adic spaces*. Aspects of Mathematics. Friedr. Vieweg and Sohn, Braunschweig, 1996.
- [18] R. Huber and M. Knebusch. On valuation spectra.
- [19] L. Illusie. *Complexe cotangent et déformations. I*, volume 239 of *Lecture Notes in Mathematics*. Springer-Verlag, Berlin-New York, 1971.
- [20] L. Illusie. *Complexe cotangent et déformations. II*, volume 283 of *Lecture Notes in Mathematics*. Springer-Verlag, Berlin-New York, 1972.
- [21] M. Rapoport, Th. Zink. *Period spaces for p -divisible groups*. Number 141 in Annals of Mathematics Studies. Princeton University Press, Princeton, NJ, 1996.
- [22] M. Raynaud and L. Gruson. Critères de platitude et de projectivité. Techniques de platisation d'un module. *Invent. Math.*, 13 :1–89, 1971.